

PNC TN941 74-46

SWAT-1試験装置による大リーク・ ナトリウム-水反応試験

第Ⅲ報；初期スパイク圧、流動様相およびウェスティジについて

1974年7月

動力炉・核燃料開発事業団
大洗工学センター

複製又はこの資料の入手については、下記にお問い合わせ下さい。

〒311-13 茨城県東茨城郡大洗町成田町4002

動力炉・核燃料開発事業団 大洗工学センター

システム開発推進部 技術管理室

Inquiries about copyright and reproduction should be addressed to:
Technology Management Section, O-arai Engineering Center, Power Reactor
and Nuclear Fuel Development Corporation 4002, Narita O-arai-machi Higashi-
Ibaraki-gun, Ibaraki, 311-14, Japan

動力炉・核燃料開発事業団 (Power Reactor and Nuclear Fuel Development
Corporation)

PNC TN941 74-46

(1974年7月)

SWAT-1 試験装置による大リーク・ナトリウム-水反応試験

第Ⅲ報；初期スパイク圧、流動様相、およびウェスティジについて

原崎亮、田中信夫、大高仁護、佐々木和一、山田敏雄、堀雅夫

要旨

動燃大リーク・ナトリウム-水反応試験装置 SWAT-1 では高速増殖原型炉"もんじゅ"蒸気発生器の伝熱管破断事故時のナトリウム-水反応に対する安全性確認のため、実験シリーズ(Ⅰ)および(Ⅱ)として、注水条件および放出系作動条件を変えて試験を行い、これらの試験条件を変えた時のナトリウム-水反応諸特性については前報迄報告を行ってきた。

本報では、昭和47年10月以後、実験シリーズ(Ⅲ)として、模擬伝熱管等の内部構造物を入れた時の流動様相と温度分布、初期スパイク圧とその時間領域の現象解明、および中リーク時の隣接伝熱管のウェスティジによる損傷を目的として行った計15回の試験結果を検討し、取繕めたものである。

目 次

1. まえがき	1
2. 試験概要	2
2.1 試験概要・試験条件および試験目的	2
2.2 試験装置・計測系概要	2
3. 初期スパイク圧およびその時間領域の試験結果	4
3.1 初期スパイク圧の試験結果	4
3.2 初期スパイク圧に対する検討	4
3.3 初期スパイク圧時間領域におけるその他の試験結果	6
4. 反応後の容器内流動様相と温度分布	8
4.1 内部構造物を入れた場合および注水管位置を変えた場合の容器内 流動様相と温度分布	8
4.2 注水率を変えた場合のナトリウム・レベルの動きおよび容器内ナト リウム温度と容器外壁温度	12
5. SWAT-1試験装置によるウェスティジの試験結果	13
5.1 中リーク時のウェスティジ状況とその領域の温度特性	13
5.2 実機伝熱管のウェスティジ	15
6. むすび	18
7. 参考文献	20
8. Appendix	95

図表目次

図 2.2.1	SWAT-1 試験装置図	21	図 4.13	内部構造物タイプⅢを入れ注水管を上げた場合の温度分布 そのⅢ (Run.No. 38の場合) 47
図 2.2.2	内部構造物 Type I 構造図	23	図 4.14	内部構造物タイプⅢを入れ注水管を上げた場合の測定例その I 48
図 2.2.3	内部構造物 Type II 構造図	24	図 4.15	内部構造物タイプⅢを入れ注水管を上げた場合の測定例その II 49
図 2.2.4	内部構造物 Type III 構造図	25	図 4.16	内部構造物タイプⅢを入れ注水管を上げた場合の測定例その III 50
表 2.1.1	試験条件および主な試験目的	26	図 4.17	内部構造物タイプⅢ挿入時の反応点から距離 " 51
表 2.1.2	実験Ⅳ) の試験結果	27	図 4.18	内部構造物タイプⅢ挿入時の反応容器内の反応点から距離 と反応生成ガス検知時間の関係 52
図 3.1.1	平均注水率と初期スパイク圧実測値の関係	28	図 4.19	注水率を変えた場合のナトリウム・レベルの動き 53
図 3.1.2	平均注水率と反応点付近の初期スパイク圧平均波高値との関係	29	図 4.20	内部構造物タイプⅡおよびⅢ挿入時のナトリウム・レベルの動き 54
図 3.1.3	初期スパイク圧、容器構造の代表的測定例	30	表 4.1	内部構造物を入れた実験 3 X リーズの試験条件 55
図 3.1.4	圧力・金剛定点位置断面図	31	表 4.2	注水管位置を変えた場合の温度特性 56
図 3.2.1	初期スパイク圧波高値とスパイク圧巾の関係	32	図 5.1.1	オリフィス径 2.5 φ (0.132Kg/s) の場合のウェスティジャップ 57
図 3.2.2	サーべイ結果の SWAT-1 の初期気泡圧力、半径の存在範囲	33	図 5.1.2	オリフィス径 3.5 φ (0.337Kg/s) の場合のウェスティジャップ 58
図 3.3.1	反応点の反応生成ガスの成長速度	34	図 5.1.3	オリフィス径 5.0 φ (0.773Kg/s) の場合のウェスティジャップ 59
図 4.1	内部構造物タイプⅠ挿入時の流動様相と温度分布	35	図 5.1.4	オリフィス径 7.07 φ (1.1Kg/s) の場合のウェスティジャップ 60
図 4.2	容器内注水管先端部付近と容器外壁の温度	36	図 5.1.5	注水管先端からの距離と最大ウェスティジャップ 61
図 4.3	内部構造物タイプⅡ挿入時の温度分布と代表測定例	37	図 5.1.6	平均注水率と損耗率 62
図 4.4	内部構造物タイプⅡ挿入時の注水率の大きい場合の温度測定例	38	図 5.1.7	反応点付近の温度特性例 63
図 4.5	内部構造物タイプⅡ挿入時の流動様相	39	図 5.1.8	注水管先端からの距離と相対ウェスティジャップ 64
図 4.6	内部構造物タイプⅢ挿入時の温度分布と代表測定例	40	図 5.2.1	「試験 I」の管状ターダー・アセンブリ 65
図 4.7	内部構造物タイプⅢ挿入時のカバーガス空間の温度測定例	42	図 5.2.2	Run.No. 0.2 の損耗状況 66
	その I (Run.No. 34) の注水率の大きい場合) 41		図 5.2.3	Run.No. 0.3 の損耗状況 67
図 4.8	内部構造物タイプⅢ挿入時のカバーガス空間の温度測定例	43	図 5.2.4	Run.No. 0.4 の損耗状況 68
図 4.9	反応点付近の温度分布と測定例 (Run.No. 34 の内部構造物を入れた場合の不安定な例) 42		図 5.2.5	他の測定データと比較した SWAT-1 のウェスティジャップ展開説明図 70
図 4.10	反応点付近の温度分布と測定例 (Run.No. 44 の安定した場合) 44		図 5.2.6	ターダー配置図およびウェスティジャップ展開説明図 71
図 4.11	内部構造物タイプⅢを入れ注水管先端位置を上げた場合の温度分布		図 5.2.7	オリフィス径 1.0 φ の時の伝熱管損傷状況 72
	その I (Run.No. 36 の場合) 45		図 5.2.8	オリフィス径 1.77 φ の時の伝熱管損傷状況 72
図 4.12	内部構造物タイプⅢを入れ注水管を上げた場合の温度分布		図 5.2.9	オリフィス径 2.5 φ の時の伝熱管損傷状況 73
	その II (Run.No. 37 の場合) 46		図 5.2.10	オリフィス径 1.0 φ の時の各伝熱管のウェスティジャップ 75
			図 5.2.11	オリフィス径 1.77 φ の時の各伝熱管のウェスティジャップ 77
			図 5.2.12	オリフィス径 2.5 φ の時の各伝熱管のウェスティジャップ 79
			図 5.2.13	各伝熱管の損耗率 81

図 5.2.14 オリフィス径 1.0 ^φ の時の伝熱管の温度分布 82	
図 5.2.15 オリフィス径 1.77 ^φ の時の伝熱管の温度分布 83	
図 5.2.16 管表面温度とウェスティジ率 84	
表 5.1.1 中リーグ時のウェスティジ状況把握試験、試験条件表 85	
表 5.2.1 実機伝熱管ウェスティジ試験、試験条件表 86	
写 5.1.1 ウェスティジ状況把握試験ターデットの外観 と試験後のターデット損傷状況 87	
写 5.2.1 $2\frac{1}{4}$ Cr-1Mo 材伝熱管を入れた場合の損傷状況 (オリフィス径 1.77 ^φ 、リーグ率 52 g/sec の場合) 88	
写 5.2.2 $2\frac{1}{4}$ Cr-1Mo 材伝熱管を入れた場合の損傷状況 (オリフィス径 1.0 ^φ 、リーグ率 20 g/sec の場合) 90	
写 5.2.3 $2\frac{1}{4}$ Cr-1Mo 材伝熱管束を入れた場合の損傷状況 (オリフィス径 2.5 ^φ 、リーグ率 128 g/sec の場合) 93	
Appendix I 初期スパイク圧最大波高値およびスパイク圧一覧表 95	
Appendix II 図 A.1 平均注水率と反応容器アチャ板動作時間の関係 96	
図 A.2 平均注水率と収納容器へのナトリウム移動量の関係 97	
図 A.3 放出系配管内ナトリウム運動と注水率の関係 98	
Appendix III 容器壁歪 99	
表 A.1 容器壁歪実測結果一覧表 100	
図 A.4 容器壁歪と導管先端圧力の関係 101	
図 A.5 Run. No. 43 の圧力および査検討例 102	
図 A.6 平均注水率と歪実測値の関係 103	
図 A.7 平均注水率と歪より求めた容器壁圧力の関係 104	

1. まえがき

動燃大リーグ・ナトリウム-水反応試験装置 SWAT-1 は高速增殖原型炉 "もんじゅ" 蒸気発生器の伝熱管破断事故時のナトリウム-水反応に対する安全性確認のため昭和 45 年 12 月、第 1 回目の試験を開始し、昭和 47 年 7 月末迄に、実験シリーズ (I) および (II) として、水注入条件、放出系作動条件を変えて 15 回の試験を行い、これらについては報告 (I&II) を行ってきた。

その後、昭和 47 年 10 月より実験シリーズ (III) として蒸気発生器の伝熱管を模擬した内部構造物を反応容器に入れ、反応時の内部ナトリウム、発生水素ガスの流動挙動等を調べることを目的に試験を開始した。

実験シリーズ (III) は上記目的の他に反応容器内温度分布、初期スパイク圧の再現性試験、初期スパイク圧時間領域の諸現象解明、および隣接伝熱管のウェスティジによる損傷等も試べる試験を行い、昭和 48 年 12 月末現在 15 回の予定した試験を終了したのでこれらの結果を取纏め検討したものをお報告する。

本報告書の内容は以下の通りである。

○初期スパイク圧およびその時間領域の試験結果

○反応後の容器内流動挙動と温度特性

○中リーグ時のウェスティジの試験結果

2. 試験概要

2.1 試験概要・試験条件および試験目的

動燃大火器・ナトリウム・水反応試験装置 SWAT-1 (以下 "SWAT-1" と書り) に於て
反応容器の安全上、反応容器の交換工事を行い、昭和 47 年 10 月より新しい
反応容器で、実験シリーズ (III) として、昭和 48 年 12 月末迄、計 15 回の試験を行った。
実験シリーズ (III) は試験番号 3 X シリーズと 4 X シリーズに分けて行い、3 X シリーズでは
蒸気発生器内伝熱管等を機械的に内部破損物を反応容器内に入れ、これらの影響について調べ、
4 X シリーズでは初期スパイク圧解明のための再現性試験および中リーグ時のウェスティジに
よる隣接伝熱管の損傷を調べるため伝熱管バンドルを挿入して、これらについて調べた。
今迄の計 30 回の試験条件および主な試験目的を表 2.1.1 に示した。

各々の試験の具体的試験目的は各章に記述し、試験結果を表 2.1.2 に一覧表として収めた。

2.2 試験装置・計測系概要

SWAT-1 試験装置は本実験シリーズ (III) に於て、反応容器の圧力計取付位置、測定点個数
等を除いて前報のものと殆んど変りはない。

装置主要寸法を図 2.2.1 に示す。

本装置は "もんじゅ" 蒸気発生器の $\frac{1}{8}$ スケールで、反応容器、反応生成物収納容器および水加
熱器から構成され、試験はトリガ弁を開くことによって、水加熱器内の水を水注入管内の二段
のラブチャーブ板を破り、容器内に充填させた約 180 Kg のナトリウムの中に注水され、反応する。
反応によって生じた水素ガスはナトリウムを押し上げ、反応容器と反応生成物の収納容器の
間のラブチャーブ板を破き、ナトリウムと反応生成ガスが収納容器へ移行する。収納容器では水
素ガスだけサイクロン・セパレーターで分離され、大気放出ポートを通して大気に放出され
る。

また 3 X シリーズで反応容器内に挿入した内部構造物は 3 種類で Type I, II, III と名づけて
いるが、その構造、寸法および、外観を図 2.2.2 ~ 図 2.2.4 に示した。

実験計測系の構成は前と殆んど同じで、圧力測定には抵抗線歪ゲージ式エンジン指圧計を用
い、動的歪測定器 (応答開波数 5K Hz) を介してデータレコーダに記録する。

反応容器内温度は 1.0 mm φ シース型 CTA 热電対を反応容器上部より挿入し測定する。
熱電対出力信号は直接高速データ收録装置に送られ、デジタル変換されたうえ、磁気テープ
に収録される。

3. 初期スパイク圧、およびその時間領域の試験結果

大リータ・ナトリウムー水反応時の現象は反応後数 msec の間に現れる非常に危険な圧力上昇の生ずる初期スパイク圧とその時間領域、およびその後発生する水蒸ガスの体積増加による静圧上昇、および、それ以後の時間領域に分られる。

本章では、前者の初期スパイク圧時間領域に於ける現象の内、初期スパイク圧、初期スパイク圧による反応容器壁および反応点の反応生成ガス成長速度について記す。

3.1 初期スパイク圧の試験結果

図 3.1.1 に平均注水率と反応点付近の $220 \text{ m}^3/\text{m}$ の導圧管を介して測定した 初期スパイク圧波高値の実測値との関係を図示した。なお、初期スパイク圧波高値は準静圧上昇の圧力波高値の最高値が放出系ラブチャーディスク設置位置に等しいとして求めた。

図 3.1.1 のプロット点は図 3.1.4 に示した反応点付近の測定点 P-11, 12, 13, 21, 22, および 23 の位置の初期スパイク圧波高値の実測値と測定値の間でバラツキを持つており、定性的に判りにくいでこれらの中の実測値の平均値をもつて水側注水圧、および水注入管先端ラブチャーブー板設定圧をパラメータに図 3.1.2 に図示した。

この実験シリーズ(Ⅲ)では、水側注水圧を主に 125 kg/cm^2 で試験を行い、一番高い初期スパイク圧波高値は 305 kg/cm^2 であったが、図 3.1.3 に示す如く、スパイク圧波高値 $10 \sim 20 \text{ kg/cm}^2$ 、スパイク圧巾 $0.75 \sim 1.0 \text{ sec}$ のもののが多く測定された。

なお、測定した位置を図 3.1.4 に初期スパイク圧最大波高値およびスパイク圧巾の測定結果を Appendix I に載せた。

本実験シリーズ中、スパイク圧再現性について、前回の実験(I)の P-OX シリーズの試験条件をほぼ合せて試験を行ったが前回程、高い初期スパイク圧波高値は現れなかつた。前に行った実験(I)の P-OX シリーズの波高値が何らかの理由によつて高く出たとすれば、注水圧、注水率を上げれば初期スパイク圧は図 3.1.2 の実線の様に高くなり、また、注水圧 125 kg/cm^2 の同じ試験条件で行った内部構造物を入れた場合と入れない場合の実験結果を比較すると、内部構造物を容器内に入れた場合は低めに出ると言う結果が現れた。

3.2 初期スパイク圧に対する検討

初期スパイク圧は急峻で圧力が高いため、蒸気発生器の安全上重要である。

SWAT-1 試験装置による実験は現在 30 回を終了し、データも集積された段階ではあるが、大リータ時の現象は複雑で、反応の初期状態を制御しにくく、再現性の良い実験を行うことは難しいので、試験条件を細かく変えて実験的に追うよりはむしろ、計算モデルによつて、これら

集積された実験データに巾を持たせたものから計算定数を定めてやる方が望ましいと思われる。
そこで、昭和 48 年度、松浦学会 RC-8033 ナトリウム加熱燃氣発生器調査研究分科会ワーキンググループで SWAT-1 の初期スパイク圧について "SWAC-7" コードでサーベイ計算を行ったので結果*を一部引用し検討を行つた。

"SWAC-7" コードによる初期スパイク圧のサーベイ ナトリウムー水反応時の初期スパイク圧については、反応初期から薄い円板状の反応生成ガスを仮定した一次元ナトリウムー水反応計算コード "SWAC-1" が開発され、実験と計算が比較されたが、初期スパイク圧の巾についての一致が悪く、昭和 47 年、動燃事業団から川重に委託研究として、反応点付近の反応生成ガスの成長を球状に、反応点から離れた所を、一次元の波動方程式で表わした一次元球一住モデル "SWAC-7" を開発し、第 4 回目の SWAT-1 の実験で得られた初期スパイク圧波形について、サーベイ計算を行い、初期値である初期気泡圧力および初期気泡半径を求めた。この結果 SWAC-7 は定性的には、スパイク圧を説明できるコードである事が判明したが、実験データおよびサーベイの数が少ないので、定量的な結論まで致つてない。

今回は逆に、初期気泡圧力 (P_0)、および初期気泡半径 (R_0) を与えて初期スパイク圧波高値およびスパイク圧巾をサーベイし、SWAT-1 で得られた実験データと比較し、初期気泡圧力および初期気泡半径を求めた。

初期気泡圧力 (P_0)、および初期気泡半径 (R_0) を変えて行つた主な計算結果は下記の通りであつた。

- ①：初期スパイク圧波高値の最大値は、初期気泡圧力および初期気泡半径の増加に対し、単調に増加する。
 - ②：初期スパイク圧の巾は初期気泡圧力および初期気泡半径の増加に対し、単調に減少する。
- 上記の結果を基に、初期気泡圧力および初期気泡半径をパラメータに取り、初期スパイク圧波高値の最大値を縦軸に、初期スパイク圧の巾を横軸に図示すると、図 3.2.1 の実線等で示された如く、パラメータ P_0 および R_0 に関係なく、初期スパイク圧波高値の最大値が大きくなると初期スパイク圧の巾は狭く、逆に、初期スパイク圧波高値の最大値が低くなると初期スパイク圧の巾は広くなる一本の曲線で表わされる事が分つた。

同図に SWAT-1 で得られた初期スパイク圧波高値の最大値と初期スパイク圧の巾の実測データを載せる**と、サーベイの計算結果は初期スパイク圧波高値の最大値の小さい所まで行っておらず実験結果の比較範囲と若干はすれているけれども、計算された値より低めの値となつてている。

* 本計算は上記分科会 W-G 会議で川重技術所が行つたものである。
** 上記計算結果と実測データとの比較は、計算結果の方は容器壁圧力で実測データの方は導圧管圧力で測定された値で、同じ位置の値で比較しなければならない。そこで、実測データの方を容器壁圧力で換算した場合、スパイク圧巾が 1 msec 位の場合約 15 位スパイク圧波高値の最大値は低くなる。

大リーカ・ナトリウム－水反応時のシェル、二酸系等の安全解析を行う場合、得られたデータより、初期気泡半径等の計算初期値の値を推定しておく必要がある。SWAT-1で得られた今回の実験シリーズの初期スパイク圧波高値は 5Kg/cm^2 から 25Kg/cm^2 であるから、この値よりも R_0 の存在範囲を求めるに図3.2.2の斜線領域内の値となり、またスパイク圧巾 $0.8\sim1.4\text{m sec}$ からも同様に存在範囲を求める。共通する P_0 と H_0 の組合せを求めるに、一義的には決められなければとも初期気泡半径は $0.5\sim2.0\text{cm}$ 、初期気泡圧力は $50\sim200\text{atm}$ 位と推測される。今回の試験で初期スパイク圧波高値 10Kg/cm^2 、スパイク圧巾 1.05m sec のものが多く測定されたのでこれらの場合の値を同図に載せた。

3.3 初期スパイク圧時間領域のその他の試験結果

本節では、初期スパイク圧時間領域の現象の内、初期スパイク圧を除いた、反応容器壁面、および反応点の反応生成ガスの成長速度について記す。

反応容器壁面

大リーカ時に生ずる初期スパイク圧に対して、反応容器壁がどのように応答して歪むかと言う問題は蒸気発生器の安全上重要な問題である。SWAT-1試験に際しては、容器壁に高温歪ゲージを取り付け、試験前に常温で約 20Kg/cm^2 の内圧を掛け静的圧力に対して校正を行い、試験時は容器壁は約 350°C 位の温度になるが、バランスを取り直し測定を行った。

測定された歪の代表例を図3.1.3の点線で示した。測定データからは、反応が起ると先づ反応点附近外壁が歪み、次に 0.1m sec 位遅れて導圧管歪力を検知する。これは導圧管長さが 220mm であるから圧力波の伝播速度を 2000m/sec とすれば伝播遅れと考えられる。

次に、これより、 $5.50\text{m}/\text{m}$ 上の測定点1の横の外壁の歪が約 0.25m sec 位遅れ込み、その位置の圧力は圧力波の伝播に要する時間より更に遅れた 0.6m sec で応答した。この測定点1の圧力の遅れは導圧管内に若干ガス等が含まれていたためと思われる。

なお、上述の測定ケースは或る試験条件のものであったが、他のケースも殆んど同様であり、実験シリーズ(Ⅲ)では、注水管先端付近にボイド計を取り付けて種々、試験条件を変えて実験を行ったが、条件の差異による定量的な識別は難しく、唯データ的にはかなり集積されたので図3.3.1に載せた。データは前報と同じく、気泡形状を直径と高さが等しい円筒形と仮定し、

それと等体積の球の半径をもつて整理した。同図から、破断口径が $2.5\sim5.0\text{cm}$ で、水注入管先端ラブチャーボード設定期 100Kg/cm^2 の場合、スパイク圧が最大となるラブチャーボード破裂後 1m sec で等価半径は $2\sim4\text{cm}$ に成長している。

4. 反応後の容器内流動様相と温度分布

SWAT-1試験においては、第3回目の試験から反応容器内部の温度測定を行ってきたが、第11回目の試験より測定点数を増やし容器内温度挙動を調べ、種々の事項が解明され、報告を行つてきた。特に、本実験シリーズ(Ⅲ)からは約35本の熱電対を挿入し、反応後の容器内温度分布、反応面付近の温度特性、また、反応容器内ナトリウム中の温度を容器軸方向に温度勾配を付け、その測定データの温度変化とボイド計の検知信号から流動様相を調べた。

本章では、初期スパイク圧時間領域以降のこれらの現象のうち、容器内温度分布と流動様相について述べる。なお、反応点付近の温度特性についてはウェーステージ現象と密接なつながりがあるので第5章で述べる。

容器内に沿んど内部構造物を詰めずに、今回の実験3Xシリーズと同じ試験条件で行った前回の実験2Xシリーズに於て、注水率を種々変えて試験を行い、注水率が大きい場合（注水率約0.5kg/s以上，“もんじゅ”蒸気発生器にスケール・アップした場合、Iso velocity モデルで伝熱管二本破断相当以上）は発生水素ガス量が大きくなり、ナトリウム・レベルの上昇速度の測定結果からもナトリウムは瞬時にビストン状に押上げられ、0.5 sec位の間に収納容器に飛ばされる。注水率をこれより小さくすると、反応容器放出系ラブチャーバー板が破裂するまでの時間が約3倍位長く掛かり、破裂前に、発生水素ガス気泡がナトリウム中をチャンネル状に吹き抜け、ナトリウムとガスが置換される。

本実験3Xシリーズでは、特にこの両極端のケースについて、内部構造物種類、および注入管先端位置を変えて試験を行った。今回行った3Xシリーズの主な試験条件を表4.1に示す。

4.1 内部構造物を入れた場合および注水管位置を変えた場合の容器内流動様相と温度分布

4.1.1 内部構造物タイプI挿入時の試験結果

内部構造物タイプIは反応容器断面積に対して、約50%の流路断面積を持つ単なるドーナツ状の邪魔版16枚を図2.2.2の様に取り付けたもので、前の試験シリーズ2Xでは、同形の円板を6枚だけ20cm間隔で取り付けて試験を行い、何も入れない場合に較べて大きな差異が認められず今回は邪魔版を削りして試験を行つた。

今回行った試験3.1と前回のほど注水率の同じ試験2.1とを較べて見ると、収納容器へのナトリウム移動量が約20%少なかった事および大気放出系ラブチャーバー板が破裂しなかつた事を除いては、同じであった。

図4.1に内部構造物タイプIを反応容器に入れた場合の流動様相と温度分布の試験結果を示す。右側の実線で画いた温度マップはナトリウム中に挿入した約20本の熱電対の測定記録から最大温度上昇値を読み取り、温度上昇が等しい所を結んだもので、本試験の注水率が

毎秒0.2kgの場合は注水管先端付近だけが約50°C位の局所的に顯著な温度上昇を記録し、容器内の他の測定点は100°C以下の温度上昇しか示さなかつた。同図左側には流動様相を示してある。図中の数値は注水管先端ラブチャーバー板破裂後、数値の下に矢印で示した位置にセットしたボイド計センサーが反応生成ガスの気泡を検知した時刻を示したもので、図4.19のナトリウム・レベルの動きからも発生ガスのがナトリウム中をチャンネル状に吹き抜けており、その上昇速度は1.5～2.0m/sであり、その結果を図4.5(C)に示してある。

4.1.2 内部構造物タイプII挿入時の試験結果

内部構造物タイプIIはタイプIと同形のドーナツ状の円板の内側に小形の円板を図2.2.3に示す様に互い違いに入れ、容器を縦断面で見ると、千鳥格子状に配列し、蒸気発生器のヘリカルコイル状に巻き付けた伝熱管を側面的に模擬したもので、この内部構造物を入れた場合の温度マップとその代表測定例および図4.4に示した。

図4.3は、注水率、即ちオリフィス溝を、前述のビストン的にナトリウムが吹き上げられる5.0%および発生ガスがナトリウム中をチャンネル状に吹き抜ける3.5%と変えた時の温度マップを左右に示したもので、同図右側に注水率の小さい小さい場合は、図中の等高線の上の数値は最大温度上昇値を示したものである。注水率の小さい場合は、反応容器底部3分1位に反応熱による400°C位のナトリウムの温度上昇が観測され、注水率5%位の温度上昇が観察され、注水後7秒間位800°C位の温度上昇が観察され、完全に注水が終ると270°C位の温度上昇である600°Cでナトリウム温度は安定する。（図4.4、下段測定例）

図4.5は内部構造物タイプIIを容器に入れた場合の流動様相を示したもので、同図(a)の容器内に示した数値は、前図4.1と同様に、各測定点の気泡検知時刻を示したもので、注水管先端から約30cm上方迄、発生ガス気泡が到達するのに注水率の大きい場合は0.1秒、注水率の小さい場合は0.4秒掛っている。また、注水率の大きい試験番3.3（注水率933%）のナトリウム・レベルの上昇速度の測定結果と同図(a)中のボイド測定点V-1、V-2における気泡検知時刻とから、反応点の気泡径を直徑と高さが等しい円筒形で近似し、気泡径を推定すると、この時間域で同図(a)中の温度測定点T-1は気泡中にあり、その温度記録が反応生成ガスの温度を示すとすれば700°Cから900°Cの間と継続して観察されていた値よりもかなり低い値となつてゐる。

4.1.3 内部構造物タイプIIIを入れ、反応点位置を変えた場合の試験結果
実際の蒸気発生器で起るリークはヘリカルコイル部の伝熱管でセンター・バイブを喰んで、必ず非對称に起き、リーク箇所も現在迄初期スパイク圧に注目し、一番厳しい下部を想定していったが、本試験シリーズでは、実機で起り得るケースについて、温度、流動等総合的な様相を調べる目的に行った。

反応容器内に入れた内部構造物タイプⅢは、前述の目的で、タイプⅡと同形の内部構造物にナトリウムの逃げを良くするために注水管中心より $1.15\text{m}/\text{m}$ ずらした位置に異機蒸気発生器と同比率の約 10% の流路断面積を持つセンター・パイプを取り付け、蒸気発生器の流路をマクロに横断したもので、その構造図を図 2.2.4 に示す。

試験は第 19 回目から 23 回目迄の計 5 回（試番 34, 35, 36, 37, 38）について、注水管位置および注水率を変えて行い、各々の試験条件を表 4.1 に載せてある。

注水管先端が下部の場合

注水管先端位置が下部の場合の温度分布と測定例、およびカバーがスリット状の温度測定例等を図 4.6, 4.7, 4.8 に示す。試番 34 の注水率の大きい場合（注水率 $1.018\text{kg}/\text{s}$ ）には、図 4.6 に示した様に、センター・パイプ中を最高温度 1200°C 位の流体が吹き抜け、（同図温度測定例 1.1）バッフル状の邪魔板の方には高温流体には痕跡が見られなかつた。（同図温度測定例 2.0）また、この場合のカバーガス空間の温度様相について調べて見ると、図 4.7 に測定例を示した如く、前述のセンター・パイプを吹き抜けた高温流体をカバーガス空間上部（温度測定点 3.2, ナトリウム・チャージレベルよりも約 91cm 上方）に於て、反応後 2.6 秒位で検知し、更に、その後 0.8 秒位遅れて邪魔板側のカバー・ガス空間下部（温度測定点 2.9, ナトリウム・チャージレベルよりも 8cm 上方、測定点 3.2 より 83cm 下方）に於てこの高温流体を検知しており、邪魔板側のナトリウム中の測定記録（温度測定点 2.5）を見ても、反応 7 秒後に約 690°C の温度しか検知しておらず、流体は図 4.7 の点線矢印で示した如く、注水率の大きい場合には、流体はセンサー・パイプを通り抜けカバーガス上部を通過して流動している事が判明した。

一方、注水率の小さい場合（試番 35, 注水率 $0.536\text{kg}/\text{s}$ ）について見ると、前図 4.6（温度分布を点線、最高温度上昇値を括弧内数値で示す。）の測定例から、センサー・パイプ側の温度上昇は約 200°C （温度測定例 1.2）、邪魔板側は 50°C 位（温度測定例 1.4）と注水率の大きさ同じ試験条件の試番 3.4 に較べて極端に遅かであつた。この場合のカバー・ガス空間の温度様相（図 4.8 に示す。）を見ると、ナトリウム・チャージレベルよりも 4cm 上方のセンター・パイプ側および邪魔板側の熱電対（測定点 2.2 より 2.3）は反応後 0.4 秒位で共にナトリウムに浸った温度を記録しているが、更に 41cm 上方では邪魔板側の熱電対の検知が遅れており、前述の流動経過が考えられるが、試番 3.4 に較べて遅いこれら熱電対の応答時間から推測して、かなり緩慢な流動と考えられる。

また、試番 3.4 の様に、注水率が大きく、非対称なセンサー・パイプ付近で注水した場合には、図 4.9 に示した如く、反応点付近の温度は時々変化し、反応面と推測される高温領域が不安定である結果が測定された。同図の反応点付近の実験で示した領域は各熱電対の測定値の時間経過ごとの等温線を結んだものである。内部構造物を何も入れず、注水管付近

の温度を多數測定した試番 4.4 の場合、図 4.10 に示した如く、巾 8cm 、長さ 15cm 位の領域内の温度は、ほど安定した反応面と思われる雰囲気を示し、それより外側の領域では 500°C 位の低温しか記録しなかつた。

注水管先端位置を上げた場合

注水管先端位置を上げた試番 36, 37, 38 の試験の測定点、測定結果を図 4.11～4.13 に、代表測定例を図 4.14～4.17 に示す。各測定記録を見ると、温度特性は、自ずから或るバランスについて述べると、

①：注水管直下の水のジェットの当る所—注水管先端剥離域—；注水弁を開いた直後から注水弁を閉じた後まで注水管内水温より低い温度が観測される例

②：注水管先端から下った位置—高溫領域—； $1000\sim1200^\circ\text{C}$ の高溫が注水弁を開いている間観測される例（測定例、図 4.1.4・測定点 8）

③：反応容器下部—デッド領域—；ジェットによる反応容器底の損傷を防ぐために付けた防護板下部の部分で反応生成物又は反応熱による緩慢な温度上昇（反応後 4 秒位で 500°C 位迄温度が上昇する。）が示され（測定例、図 4.1.4・測定点 1）

以上、3 つのタイプがどの試験にも共通に測定される温度特性で、次に、容器内各個所で測定された顕著な温度特性例および図 4.1.8 に示したガイドライン時間による反応生成ガス到達時刻と注水管先端からの距離の関係から、注水管位置を変えた場合の温度流動様相等について取扱ると第 4.2 表の如くなる。

表 4.2 から、注水管位置を変えた場合の温度、流動様相について次の事が伝える。
 ①：注水管先端位置がセンター・パイプ下端入口付近の場合は、バッフル状の邪魔板側の流動抵抗が大きいため、注水率の差異によって流動様相が極端に異り、注水率の大きい場合には、センサー・パイプ内を反応生成ガスが 6.0 m/s 位で流速 $4\sim6.0\text{ m/s}$ の速度で通過し始め、カバーガスを迂回して二段の放大型チャーブを破き、その後、センターパイプ内を高温流体が吹き抜けない。特に、高温流体は注水弁を開いている間 $1000\sim1200^\circ\text{C}$ の温度を示している所を見ると未反応蒸気がパイプ内で残留ナトリウムと反応しながら上昇している事も考えられる。一方、注水率の小さい場合も前述の流動と推測されるが、流動は緩慢で、センサー・パイプ内の温度上昇も 200°C 位である。

②：注水管先端を内部構造物下部から 3 割の位置迄上げると、センサー・パイプへのバスの流動抵抗が増え、注水率の大小による流動の差は少くなり、流動は緩慢になる。更に注水管を内部構造物の中間迄上げると、両バスのバランスがとれ、流動が緩慢になる。

4.2 注水率をえた場合のナトリウム・レベルの動きおよび容器内ナトリウム

温度と容器外壁温度

ナトリウム・レベルの動き

図4.19に内部構造物を殆んど入れない場合の試験の反応後の経過時間とナトリウム・レベルの上昇位置の関係をプロットした。ナトリウム・レベルの上昇位置の傾向は各レベルにセッテッド接点式のレベル計および熱電対の温度上昇から調べたもので、同図中の矢根の所は各試験の反応容器解放系ラブチヤー破裂時間を示したものである。

同図から、注水率が少なくなると、ビストン的にナトリウムが押し上げられる流動様相から、反応生成ガスがチャネル状にナトリウム中を抜ける流動様相に変化する事が判名した。また、内部構造物がチャネル状に入られた場合のナトリウム・レベルの動きを調べると図4.20の様になり、ナトリウムの逃げの無いタイプIIおよびタイプIIIを入れて注水管位置を上げた両ケースの注水率の大きい場合は、ナトリウム・レベルが脈打って上昇して様相が示されている。

注水管付近のナトリウム中の温度と容器外壁温度の関係

実機、蒸気発生器でナトリウム-水反応が起きた場合、反応熱によるシェルの熱的影響、或はショウラウドの効果を推測するため、試験時の容器内注水管先端付近および容器外壁の温度経過を2,3のケースについて調べ、その測定例を図4.2に示した。調べたケースは試番31, 34, 38, のケースで図中の測定点は図4.1, 4.6, 4.13に示してある。試番34または38の注水率の大きい場合は注水管付近のナトリウム温度は反応後600°C位の温度上昇を示し、その後300°C位の温度上昇で安定するが、容器外壁温度（記号H.T.で示す。）は内部温度上昇に対する急峻な追従は見られず最高20秒で100°C位の緩慢な温度上昇しか示さなかった。

5. SWAT-1 試験装置によるウェスティジの試験結果

実際の蒸気発生器内の伝熱管で生ずる最初のリーケはピンホール的な小さいものが多いた考えられる。しかし、小リーケが発生するとウェスティジにより隣接伝熱管を二次破損し、リーケを起す危険がある。動燃小リーケ・ナトリウム-水反応試験装置 SWAT-2 ではリーケ径の小さい範囲の試験研究を行っており、0.1~1.0 φの範囲のウェスティジ現象について定量的に検討、解析が行なわれている。

SWAT-1試験装置は「もんじゅ」蒸気発生器の1/8スケールのため、注水量は0.3~1.2kg/sec、リーケ口径で言うと2.5~7.0 φで実機にスケールアップすると中リーケ規模に相当し、このリーケ規模の試験データは数少ない、またSWAT-2の試験結果からも、1分以内に1.0~2.5m/m²の二次破損の起きたデータも報告され、この規模のウェスティジデータは蒸気発生器の安全上重要な問題である。SWAT-1試験装置は他の試験目的があるため、先ず、他の試験目的と併行して基礎的データを収集し、このデータの検討結果を基に、その後、隣接伝熱管のウェスティジによる損傷に試験目的をしほって行った。

5.1 中リーケ時のウェスティジ状況とその領域の温度特性

ウェスティジを受ける水噴出管先端付近の状況を把握するために行った試験について述べる。試験は前述の他の試験目的があるため、photo. 5.1.1(a)に示す様な、3.2 φの細い溶接棒を組込んだダーベットを使いジエットを受ける溶接棒を用いた。材質はリーケ口径の大きい場合、反応熱による容器内温度上昇の制限から注水時間が長く取れないので、主にウェスティジの大きい軟鋼材を使って行った。データは試験前後のターダットの直径を測定し、損傷面等しい所を結んだマップで整理した。今回、新たに行つた同じターダットの2.4Cr-1Mo, SUS材については、ウェスティジ量が少なく直徑損が測れないでの、軟鋼材で直徑損および重量損を同時に測ったデータを中介にして整理している。またウェスティジを受けた面近くに熱電対を貼り付け、その領域の温度特性についても調べた。

ウェスティジ状況

図5.1.1から図5.1.4までに各々注水率を変えた時の直徑損量を等高線で結んだウェスティジマップを、表5.1.1にこの時の試験条件を載せた。各マップの特徴は、リーケ率の小さいオリフィス径2.5 φの(リーケ率約130 g/s)の場合は、ウェスティジが水注入管先端から4cm位迄の所の狭い領域に集中的に起き、3.5 φ(リーケ率約340 g/s)の場合はウェスティジの最も激しく受ける場所およびウェスティジ量の絶対値は前のオリフィス径2.5 φのと同じであるが、ウェスティジを受ける領域は水噴出方向に長く広がり、巾は前と同じ位であった。リーケ率が約8~1.1 kg/s(オリフィス口径5.0~7.07 φ)と大きくなると、ウェスティジを

受けける面がターダゲット全体（今回の実験では縦、横 1.5 cm）に広がり、全面がウェスティジを受けている。これらの特長を縱軸にウェスティジ系、横軸に水注入管先端からの距離を取って整理すると図 5.1.5 となり、リーグ率の増加と共にウェスティジ率も増加し、リーグ率が小さいと、近い所で集中的にウェスティジを受け、リーグ率が大きくなると広範囲に損傷を受け、ウェスティジ率のビーグルはこの試験範囲のリーグ率（0.1.3～1.1 kg/s）では注水管先端から 50 m/m の所に現われている。同図ウェスティジ率を注水率で除した相対ウェスティジ率、即ち単位注水量当りのウェスティジ率でプロットし直すと図 5.1.8 となり、リーグ率の小さい方が相対ウェスティジ率が大きくなり、かつシャープに現われている事が分る。

他の試験目的があるため、ジェットによる乱れを起さないようにして中リーグ時のウェスティジ状況を調べたための試験では、鉄鋼の他、 $2\frac{1}{4}$ Cr-1Mo、SUS 材についても試験を行いその結果を図 5.1.6 に横軸に注水率を縦軸に最大損傷率をとって表わした。これより、本試験状態での $2\frac{1}{4}$ Cr-1Mo 材の場合は、リーグ率 0.3～1.0 kg/s の範囲では $2 \times 10^{-3} \text{m}^2/\text{s}$ 位のウェスティジ率であった。

反応点付近の温度特性

SWAT-1 試験装置では前述の中リーグ時のウェスティジ現象解明のため、反応点付近のウェスティジを受けた部分が水蒸気或は反応面であったかどうか、またその時晒されていた温度特性はどの位であったか調べるために、水注入管先端付近に熱電対を貼り付けこの領域の温度特性について調べた。この結果を図 5.1.7 に示す。測定点位置および試験条件を同図左側に、各測定点の測定例を右側に示してある。この温度特性は前掲のマップと試験条件は異なるが、比較的温度特性が空間的、時間的に安定している例である。なお、時間軸の原点は水注入管のトリガーピンが開いた時刻を取っている。

注水管先端に近い所の測定点 T-1 の温度は注水弁を開いた直後から、水加熱器内の水温より低い 100°C の温度が観測されており、これは高圧に加圧された水加熱器内から噴出した水が、注水管を通り、より低圧の反応容器内に注入されるため減圧され温度が下るものである。なお、トリガーピンのベルブル開時間は 5.7 秒であったが、バルブを閉じても注水管内の水が噴出されるためその後約 4 秒間低温が記録されている。

T-1 点より更に 40 mm 下った点 T-2 では、T-1 点で観測された低温度の水温、ナトリウムの温度、ナトリウム-水反応による高温が時間的に経過して観測され、水噴出が止まると、注水によって生じた高温が記録され、その後、熱拡散によって徐々に温度が下り約 600°C 位で安定する。この温度特性は、水注入管先端から離れるにしたがい、低温と高温の繰り返しが時間により速く行なわれる傾向にある。なお、低温、高温が交互に観測される領域は、注水管が大きくなるにしたがい、しだいに広くなり、かつ空間的にも一定しなくなる傾向にある。

注水管先端から約 130 m/m 離れた T-3 点では低温の水温が観測されなくなり、高温度

（最高温度 1060°C 位）が比較的短時間観測される。

水噴出ジェット方向から離れた T-4 点では、温度上昇が注水管下方の T-2, T-3 点で観測された様な高温は観測されず、ゆるやかな温度上昇特性を示している。

前述の温度特性は注水条件下によって空洞的、時間的にも異なるが、SWAT-1 の試験で観測されている温度は注水管先端部の減圧沸騰された部分の水温は 100～120°C 位、反応高温度領域は 800～1000°C（上昇温度としては 500～700°C）位が観測されており、注水率の小さい範囲（オリフィス径で 2.5 φ および 3.5 φ、注水率で 400 g/s 位迄）では安定した特性を示し、それ以上の注水率の範囲では特性も不安定になり、ウェスティジ・ターダゲット一面に高温が観測される事もある。

5.2 実機伝熱管の場合のウェスティジによる損傷

前節では、水噴出管先端付近のウェスティジ状況の把握とその領域の温度特性を調べる事を目的に、水噴出ジェットによる乱れを少なくてするために、径が 3.2 φ と細いターダゲットを数多く組込んだアセントリを用い、リーグ率 0.3～1.0 kg/s の範囲で基礎的試験を行い、この範囲でのウェスティジについて定性的な結果を得た。

SWAT-1 試験装置では、この他に中リーグ時のウェスティジを調べる事を主目的に、実機蒸気発生器と同寸法、同材質の伝熱管を一本およびバンドルとして複数本を入れて試験を行つたので以下述べる。行った試験、および試験条件を表 5.2.1 に示す。試験は大別して、ターダゲットが一本の場合の「試験 I」およびターダゲットが 7 本の場合の「試験 II」に分けられる。

「試験 I」（外径 2.5 φ の $2\frac{1}{4}$ Cr-1Mo 鋼の一本ターダゲットの場合）の試験結果

前述の基礎試験の細いターダゲットを組込んだ試験は水噴出のジェットが乱されない時のウェスティジの空間マップを取る事を目的としたもので、実際にはジェットが伝熱管表面に当り散乱され、実際の現象とは異なるものとなる。

本試験シリーズはジェットが伝熱管表面に衝突した場合のウェスティジ率を求める事を目的にしたもので、試験は図 5.2.1 に示した外径 2.5 φ、長さ 130 m/m の $2\frac{1}{4}$ Cr-1Mo 鋼のターダゲットを用い、ノズル・ターダゲット間隔 25～27 m/m、リーグ率 0.12～0.64 kg/s（ノズル径では 2.5 φ～3.5 φ）の範囲で行った。

試験結果のマップ* を図 5.2.2～図 5.2.4 に示す。このマップの内最もウェスティジを受けた点について整理すると、今回のリーグ率 0.27～1.39 kg/sec の範囲でウェスティジ率 1～1.0 mm/sec で、静止ナトリウム中で行なわれた純外因の実験結果と共にプロットすると図 5.2.5 となり、良く一致する事が認められた。同図中に流動するナトリウム中で行った APDA および燃然 SWAT-2 の試験結果も示したが、SWAT-2 の試験の場合、Na 温度が 900°F と高温で

* この試験結果の城内測定、およびマップ作成は測量団の委託研究により、金剛材料研究所で行ったものである。

行った結果であり、この試験と同一温度に補正を行った結果を示した。
「試験II」(外径 27φ の $2\frac{1}{2}$ Cr-1Mo 鋼伝熱管を 7 本バンドルとして入れた場合)の試験結果
基礎試験および伝熱管が一本の場合の「試験I」のウェスティジ・マップからもリーグ率が
異なる程度大きいと

- ①；実機の伝熱管表面に水噴出ジェットが衝突した場合、隣接伝熱管にはねかえりがある事。
 - ②；ウェスティジを受ける面の巾が 2.0 ～ 5.0 m 位になり、第二管束に向って噴出した場合、噴出ジェットが第一管束間をスムーズに通らず、必ず隣接伝熱管の影響がある事。
- 以上、二点を考慮して、成るべく試験回数が少なくて総合的にウェスティジが調べられる様に図 5.2.6 に示す様な伝熱管配列で試験を行い、リーグ口径については、動燃 SWAT-2 試験装置において、リーグ口径 0.3 ～ 1.0 φ の範囲でウェスティジ試験を行つてるのでリーグから中リーグまでの範囲のウェスティジを調べる事、かつ SWAT-2 の試験で 0.3 ～ 0.7 φ のリーグ口径から蒸気を噴出させ相手側の伝熱管を貫通する迄ウェスティジさせると直角 1 ～ 2 管の損傷を受けるので二次破断時のウェスティジを考えて上記リーグ口径を定めた。また、試験はこのリーグ口径ではウェスティジ率が最も大きいと推測される第二管束のターダゲット No.4 に向って水を噴出させた。

行った試験条件、リーグ率とウェスティジの関係等は前掲表 5.2.1 および図 5.2.5 に載せた。
試験後のデータ整理は、先づ試験後の供試体を洗滌し、減肉部は表面測定器で減肉量を測定してマップを書き、また試験前後の重量損も測定した。その結果のマップを図 5.2.7 ～ 図 5.2.13 に載せた。図 5.2.7 ～ 図 5.2.9 はリーグ口径 1.0, 1.77, 2.5 φ の場合の伝熱管軸方向に垂直に断面を取った場合のウェスティジ・マップで各伝熱管の損傷具合、およびジェットがどの方向に散乱したか推定するために作成したもので各伝熱管の断面は最もウェスティジを受けた点で整理しプロットしている。図 5.2.10 ～ 図 5.2.12 はリーグ口径 1.0, 1.77, 2.5 φ とえた場合の各伝熱管のマップを示したもので、マップは図 5.2.6 の軸 R₀ を中心に軸 R₁₈₀ で切り開いて平面にし、上から被損傷の等高線を見たもので、軸方向 R_z、円周方向 A について書いてある。同時に、洗滌後のウェスティジを受けた面の外観写真を photo 5.2.1 ～ 5.2.3 に載せた。

又、試験時には外径 1 mm のシース型 CA 熱電対をターダゲット管表面に沿わせて各部の温度を測定した。図 5.2.14, 図 5.2.15 にリーグ口径 1.0 φ および 1.77 φ 時の各部の温度測定値を示した。この結果によるウェスティジの激しい所では高温(約 800°C 以上)が統一ことが判った。図 5.2.16 は管束各部における温度とウェスティジ率との関係を示したものである。これから温度が高くなるヒュエスティジ率が大きくなることが判る。

以上のリーグ率を変えて得られたマップ等のデータから下記の事が判明した。

- ①；行った試験の内、リーグ口径の一一番少い 1.0 φ の場合(リーグ率 20 g/sec) 噴出方向正

6. むすび

SWAT-1 試験装置における大リーケ・ナトリウム-水反応試験も昭和 48 年 12 月末をもつて実験シリーズ(Ⅲ)が終了し、数多くのデータが得られた。実験データを主とし、一部検討を加えて報告書に取纏めた。

各章に記述してあるが、主要なものは以下の通りである。

初期スパイク圧およびその時間領域の試験結果について

- ① 初期スパイク圧および注水率を上げるとスパイク圧波高値は高くなると云う結果が得られた。(図 3.1.2)
- ② 初期スパイク圧について、計算コード(SWAC-7)で計算コードの入力定数、初期気泡圧力(P_0)および初期気泡半径(R_0)についてバーマードサーベイを行った結果と SWAT-1 試験で得られた結果を比較検討した。(図 3.2.1)
- ③ 初期スパイク圧に対応する反応容器壁全の最大値は、スパイク圧最大波高値に対して、静的歪で校正した場合の約 50 % に相当する歪が測定された。
- ④ 反応点に於る反応生成ガスの成長速度は、気泡形状を直径と高さが等しい円筒形と仮定し、それと等体積の球の半径を等価半径をもつて置換するとオフィスロ径 2.5 ~ 5.0 %、注水管先端ラブチャ板設定圧 100 kg/cm² の場合、スパイク圧が最大となるラブチャ板破裂後 1 m sec で等価半径は 2 ~ 4 cm である。

反応後の容器内の流動と温度分布について

- ⑤ 反応後の容器内の流動様相と温度分布は、現在の SWAT-1 反応容器では、注水率 0.5 kg/sec 位を境にして大きくなり、注水率が小さい場合は、反応容器ラブチャー板が破裂する前にナトリウムと反応生成ガスが置換し、その反応生成ガスの吹き抜け速度は 1.5 ~ 2.0 m/sec 位で、かつ容器内の温度も局所的にしか上昇しない。また、注水率を変えた場合のナトリウム・レベルの動きについても、調べた。
- ⑥ 反応によって生成されるガスの温度はナトリウム・レベルの動き等から検討すると 700 ~ 900 °K 位の値と推測される。
- ⑦ 蒸気発生器をマクロに模擬した内部構造を入れ、かつ注水管先端位置を変えて試験を行い、注水管先端位置が低く、注水率が大きい場合はセンター・パイプ内を 1200 °C 位の高温流体が吹き抜け、注水管先端位置を上げると、流動は暖かになる。
- ⑧ 容器内内部ナトリウム温度と容器外壁の温度の関係について調べ、注水率が大きい場合で、

内部ナトリウム温度が 300 °C 位上升しても、外壁温度は 5 °C 位の緩慢な温度上升を 20 秒位しか示さずその後更に緩慢な温度上升になる。

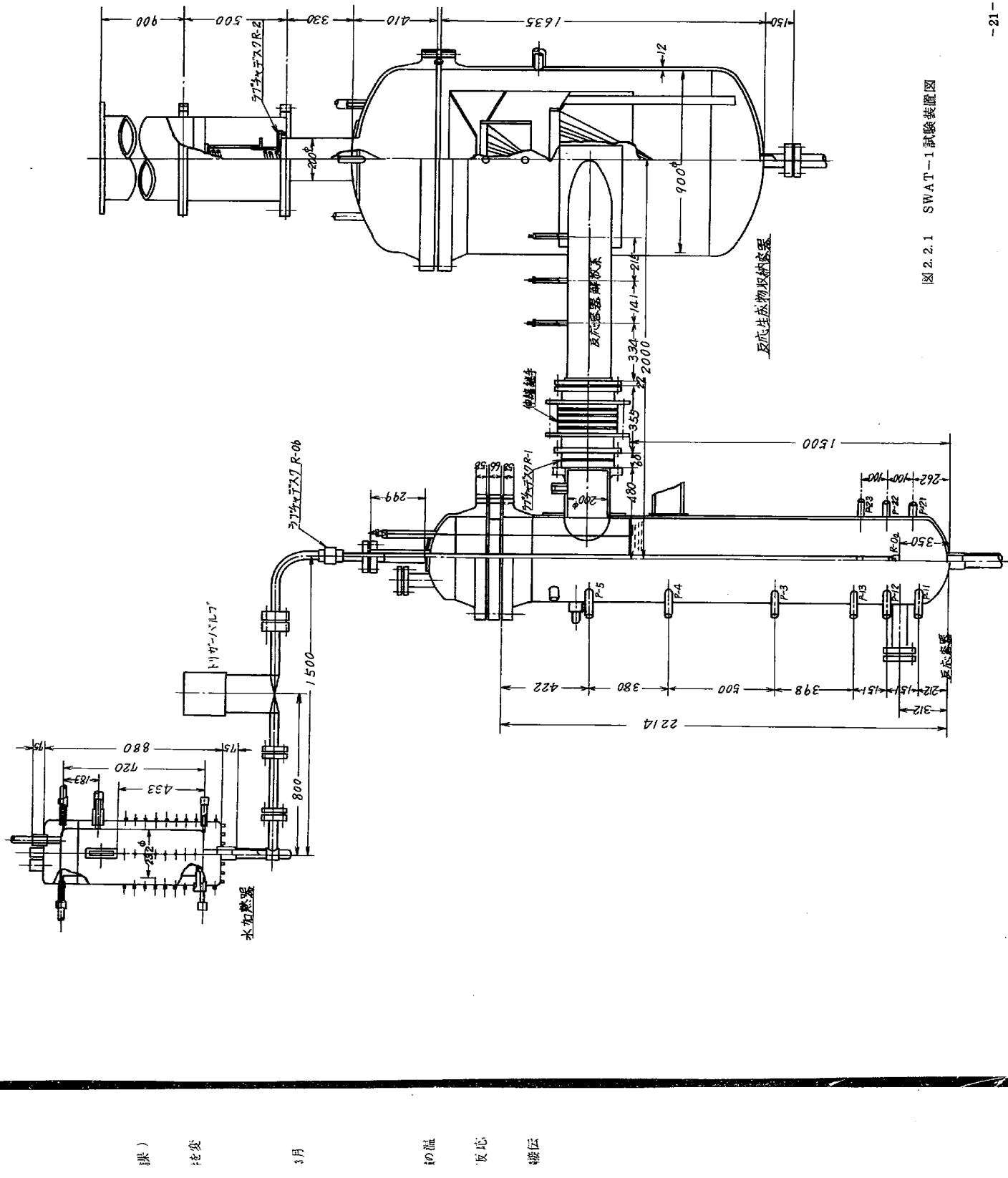
ウェスティングについて

ウェスティングの試験に関しては噴出ジェットが伝熱管等で乱されない様に細いターゲットを用い、噴出状況を把握するための基礎試験、実機伝熱管向一材質を用いた試験及びこれらを本用いて隣接伝熱管の損傷状況を調べる試験等、一連の試験を用い次の結果を得た。

- ⑨ 基礎試験については、リーグロ径(リーグ半径)とウェスティング・バーンの関係およびその領域の温度特性について明らかにした。
- ⑩ 実機同一寸法、同一材料の伝熱管および伝熱管束を入れた試験はリーグ率 2.0 ~ 12.89 kg/sec の範囲で行い、その時のウェスティング量および隣接伝熱管の損傷状況等について調べた。
- ⑪ その他、放出系に関する事項は検討を行っていないので、注水率と反応容器ラブチャー板動作時間、収納容器へのナトリウム移動量等についてはグラフだけ Appendix に載せた。

7. 参 考 文 献

- (1) SWAT-1試験装置による大リーグ・ナトリウム-水反応試験（第Ⅰ報；実験Ⅰの結果）
—廃燃所内報告 S N 941 72-02, 1972年2月
- (2) SWAT-1試験装置による大リーグ・ナトリウム-水反応試験（第Ⅱ報；水注入条件を変化させた場合のナトリウム-水反応諸特性とその検討
—廃燃所内報告 S N 941 72-17, 1972年10月
- (3) 高速炉蒸気発生器の安全性検査に関する調査研究
—日本機械学会, Na-加熱蒸気発生器調査研究分科会, SJ 254 72-01, 1974年3月
- (4) 大リーグ・ナトリウム-水反応試験（第Ⅲ報；反応容器内のNaの運動と温度線相）
- (5) 大リーグ・ナトリウム-水反応試験（第Ⅳ報；反応生成ガスの初期成長過程）
—原子力学会, 48年度年会予稿集
- (6) 大リーグ・ナトリウム-水反応試験（第Ⅴ報；大リーグ時のウェスティージとその領域の温度特性）—原子力学会, 48年度秋期分科会予稿集
- (7) 大リーグ・ナトリウム-水反応試験（第Ⅵ報；初期スパイク圧, 容器健全, および反応生成ガスの成長速度—原子力学会, 49年度年会予稿集
- (8) 大リーグ・ナトリウム-水反応試験（第Ⅶ報；中リーグ時のウェスティージによる隣接伝熱管束の損傷—原子力学会, 49年度秋期分科会予稿集



2.2.1 SWAT-1 試驗裝置圖

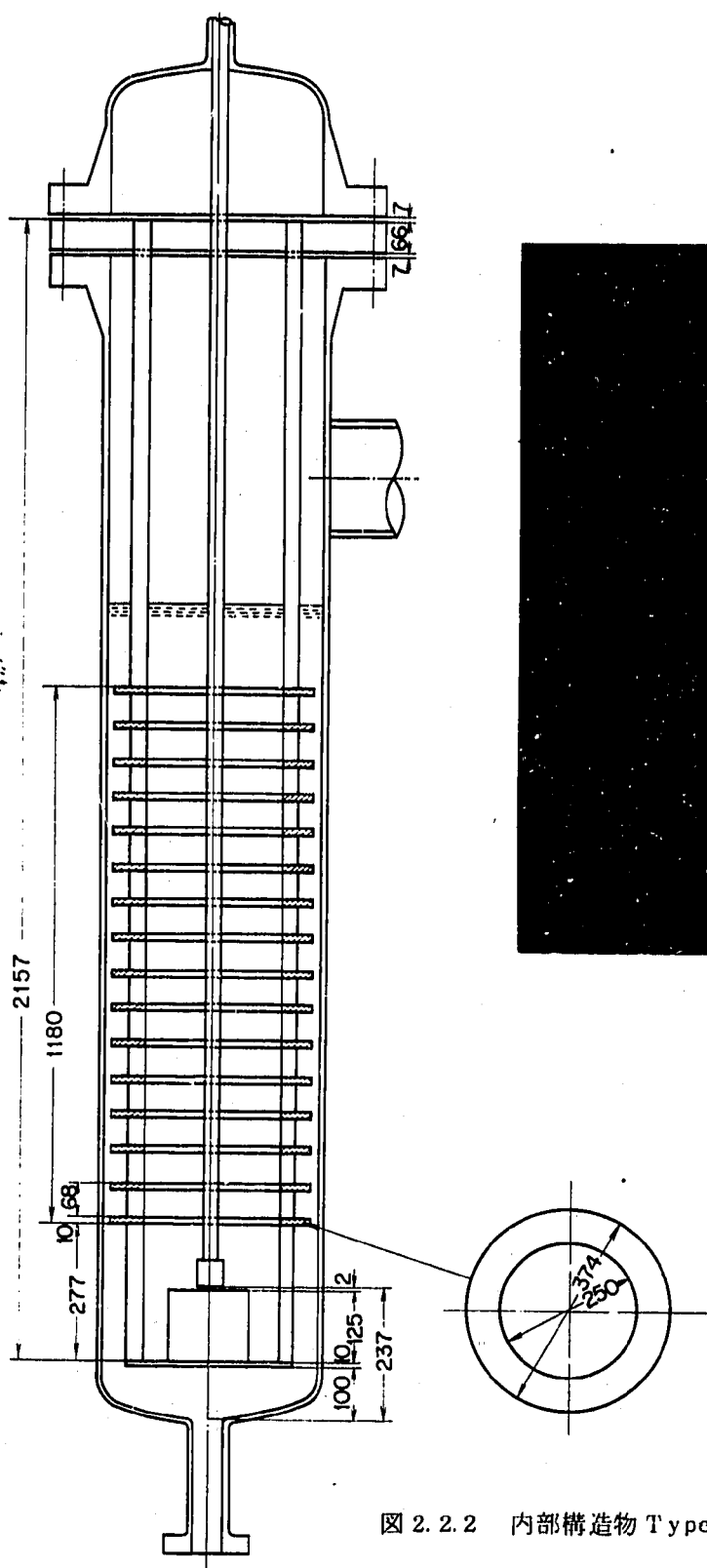


図 2.2.2 内部構造物 Type I 構造図

PNC TN941 74—46

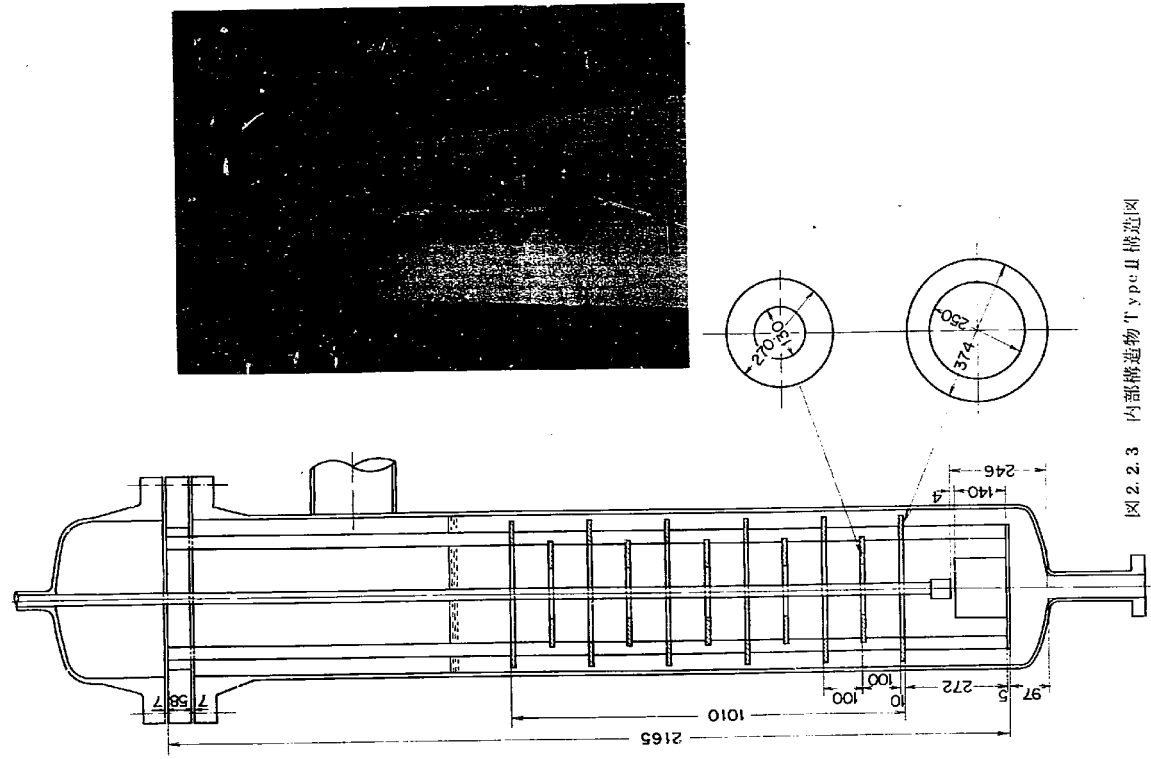


图 2.2.3 内部铸造物 Type II 铸造图

-24-

PNC TN941 74—46

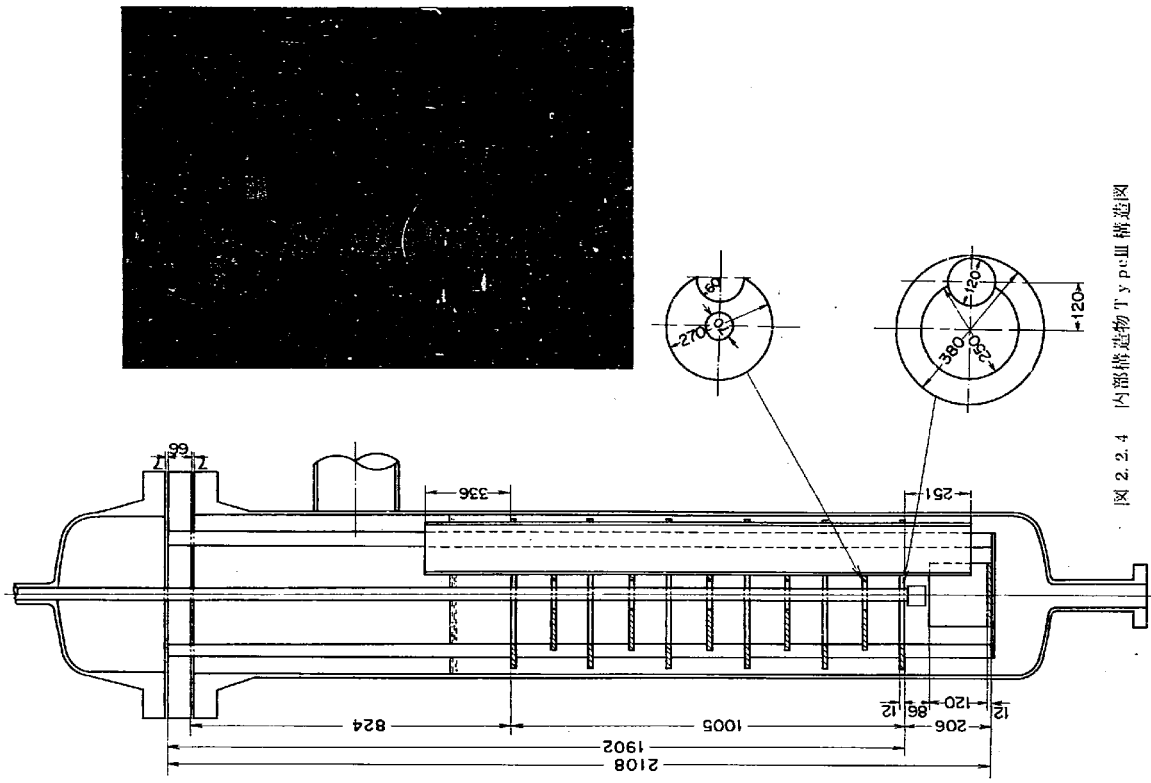


图 2.2.4 内部铸造物 Type III 铸造图

-25-

表2.1.1 試験条件および主な試験目的

火候 シリーズ番号	火候 回数	火候 番号	火候 温度 (℃)	水頭 圧力 (kg/cm²)	水頭 高さ (mm)	シブチ + 梱板定正 R-0aR-0bR-1R-2	主な試験目的	
							N₂吸 入量 (kg/min)	水銀 蒸気圧 (kg/cm²)
I	0X	6	25, 3.5 5.0φ	7.5k 7.0φ	330C 320C	50k 50k	3k 5k	15k 15k
	1X	5	35, 5.0 5.0φ	7.5k 7.0φ	330C 320C	50k 50k	25k 25k	5k 5k
II	2X	4	25, 3.5 5.0φ	125k 120k	320C 320C	100k 100k	100k 100k	5k 5k
	3X	8	25, 3.5 5.0φ	125k 120k	320C 320C	100k 100k	100k 100k	5k 5k
III	4X	4	35, 4.3 5.0φ	75k 75k	400C 400C	50k 50k	3k 3k	15k 15k

表2.1.2 実験(III)の試験結果

試験番号	試験日	火候番号	火候温度 (℃)	水頭 高さ (mm)	N₂吸 入量 (kg/min)	水銀 蒸気圧 (kg/cm²)	水銀 蒸気圧 (kg/cm²)	水銀 蒸気圧 (kg/cm²)	試験結果		
									火候 番号	火候 温度 (℃)	
31	10.27.72	25	121.0	324	240	5.70	194	350	1120	5.88	燃費(kg) (kg)
32	11.24.72	35	126.5	327	310	5.53	339	325	1016	0.588	燃費(kg) (kg)
33	12.14.72	35	122.0	324.5	6.56	5.53	934	310	1100	0.450	0.84
34	12.24.72	35	129.0	—	427	5.88	1016	322.4	934	1.25	1.02
35	2.6.73	35	127.5	328	6.84	5.53	934	310	900	1.50	0.84
36	2.30.73	35	129.0	—	427	5.88	322.4	322.4	1000	0.588	1.02
37	5.17.73	35	123.0	325	4.48	5.30	536	320	630	670	0.84
38	6.12.73	50	129.5	329	4.74	5.30	536	320	630	670	0.84
39	6.20.73	50	129.0	329	4.74	5.30	536	320	630	670	0.84
40	7.6.73	50	129.5	329.5	5.61	5.30	536	320	630	670	0.84
41	7.31.73	43	79.0	293	4.96	5.30	536	315	910	0.63	1.41
42	8.28.73	35	79.0	293	4.96	5.30	536	315	910	0.43	1.54
43	7.31.73	43	79.0	293	4.96	5.30	536	315	910	0.63	1.41
44	8.28.73	35	79.0	293	4.96	5.30	536	315	910	0.43	1.41
45	9.20.73	35	130.5	330	5.40	5.30	536	313	900	0.57	1.92
46	10.16.73	10	130.5	333	4.11	5.30	536	313	900	0.57	1.92
47	12.23.73	25	125.0	327	5.86	5.30	536	313	900	0.57	1.92

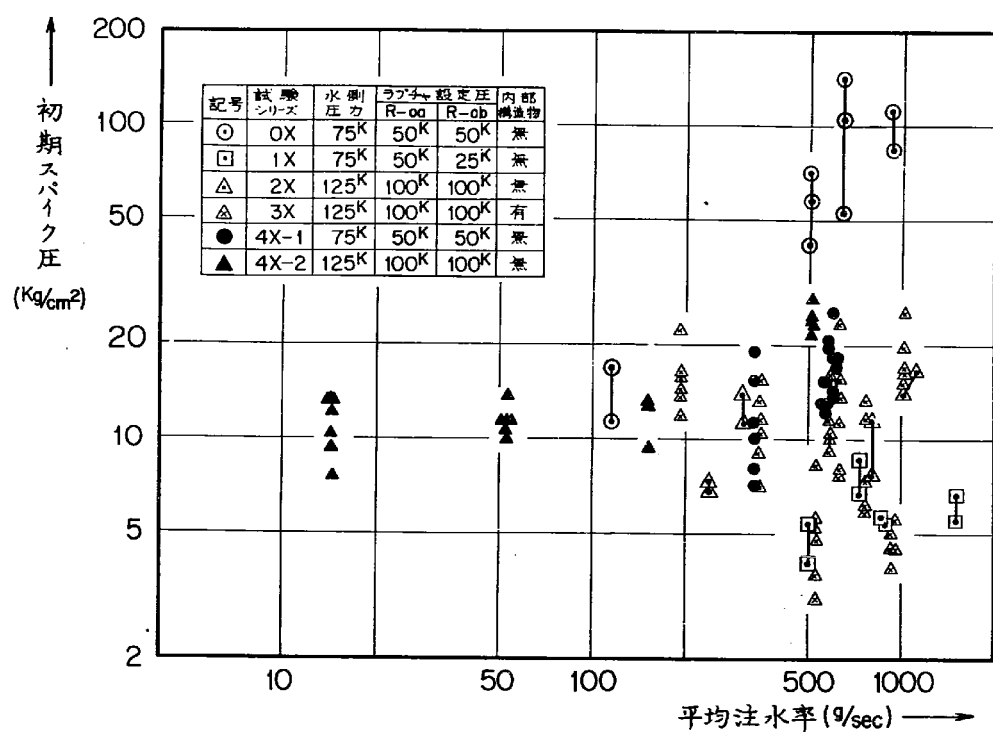


図 3.1.1 平均注水率と初期スパイク圧実測値の関係

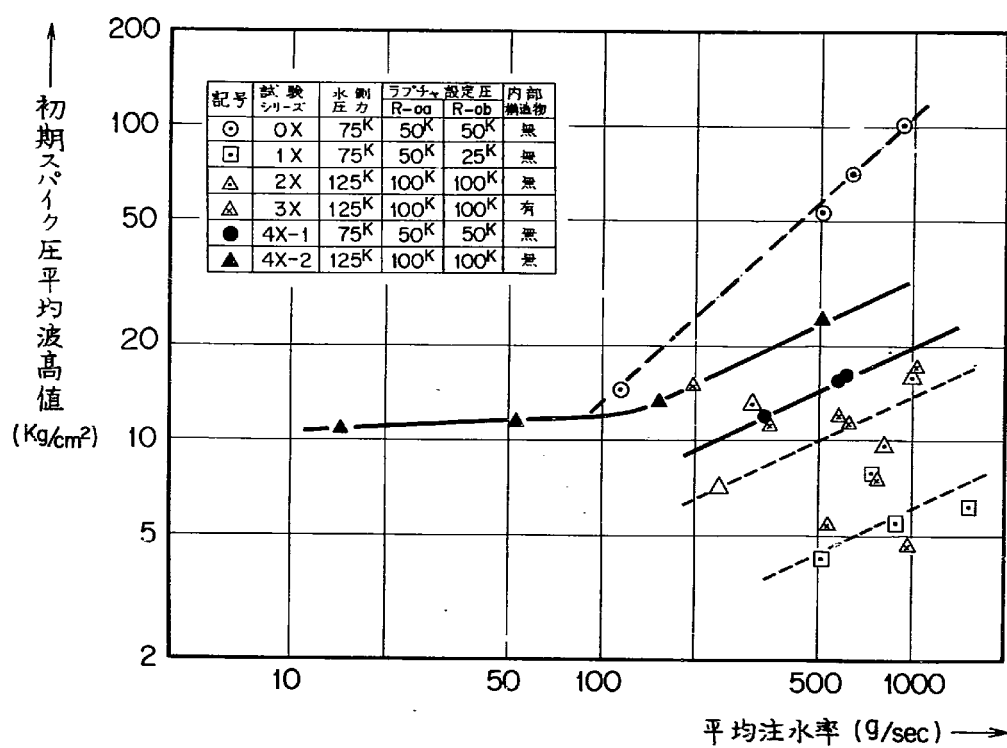


図 3.1.2 平均注水率と反応点付近の初期スパイク圧平均波高値との関係

PNC TN941 74-46

PNC TN941 74-46

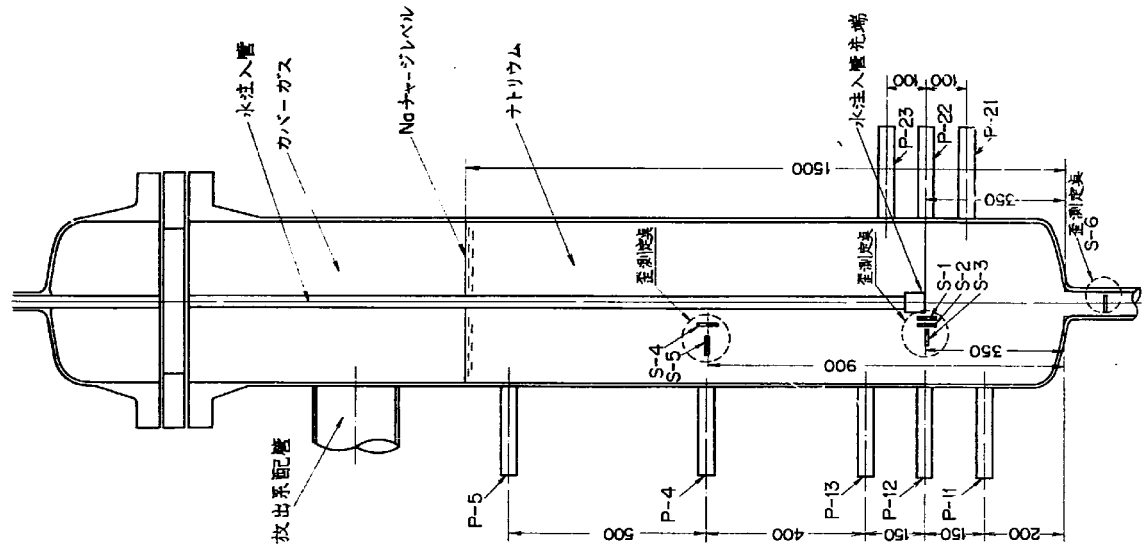


図 3.1.4 圧力、容積測定点概略図

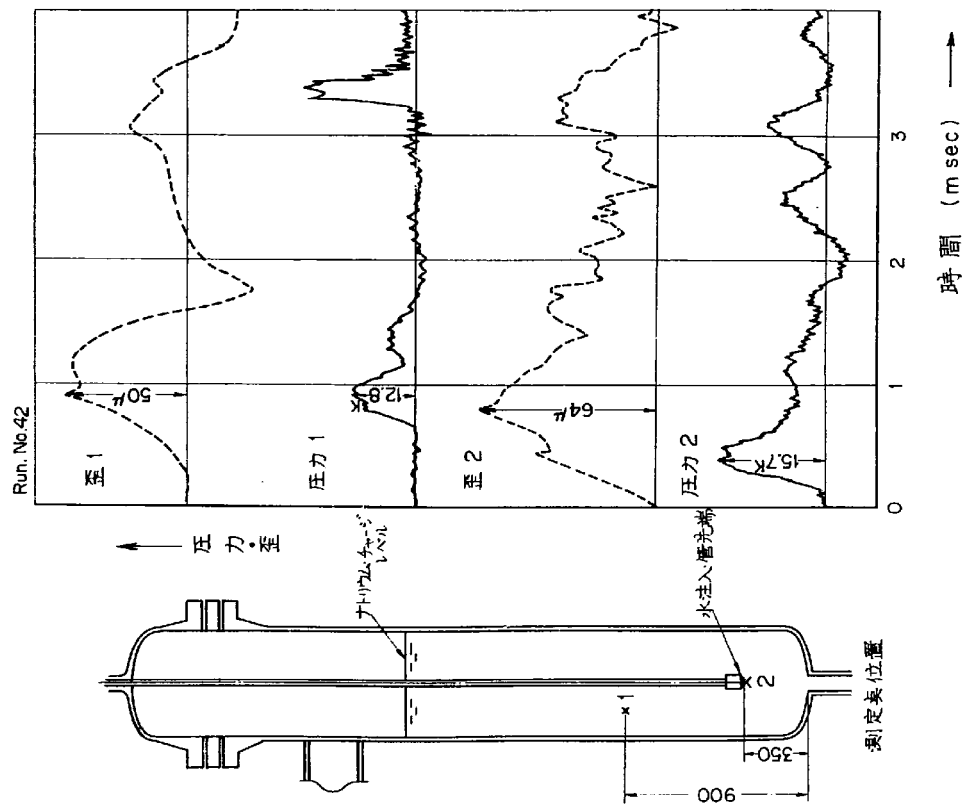


図 3.1.3 初期スパイク压、容器壁体の代表的測定例

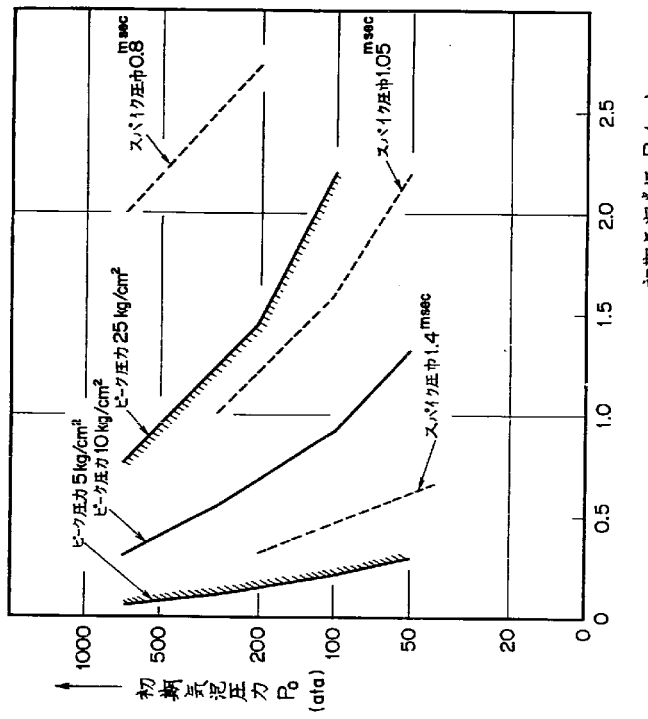
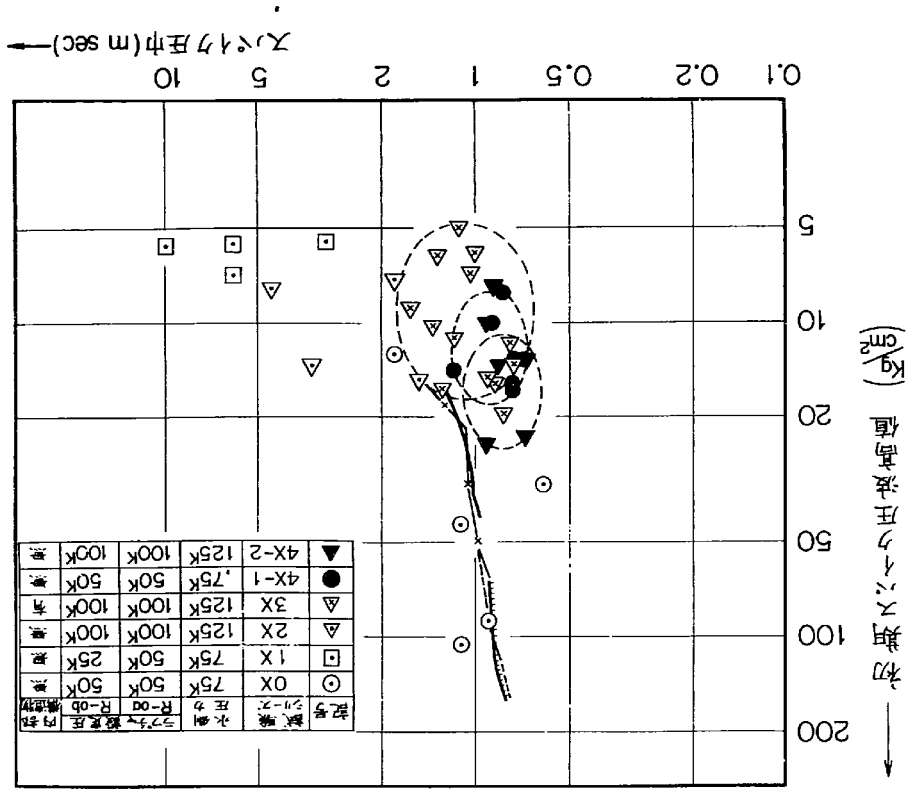
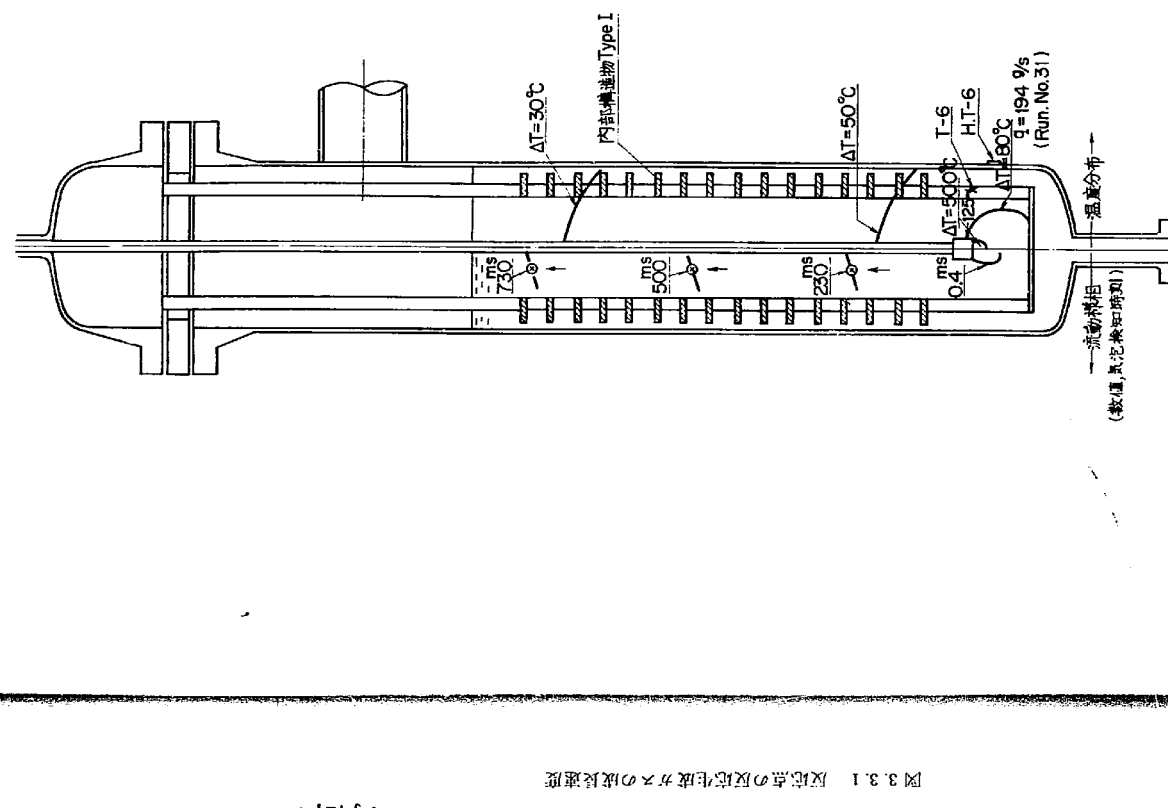
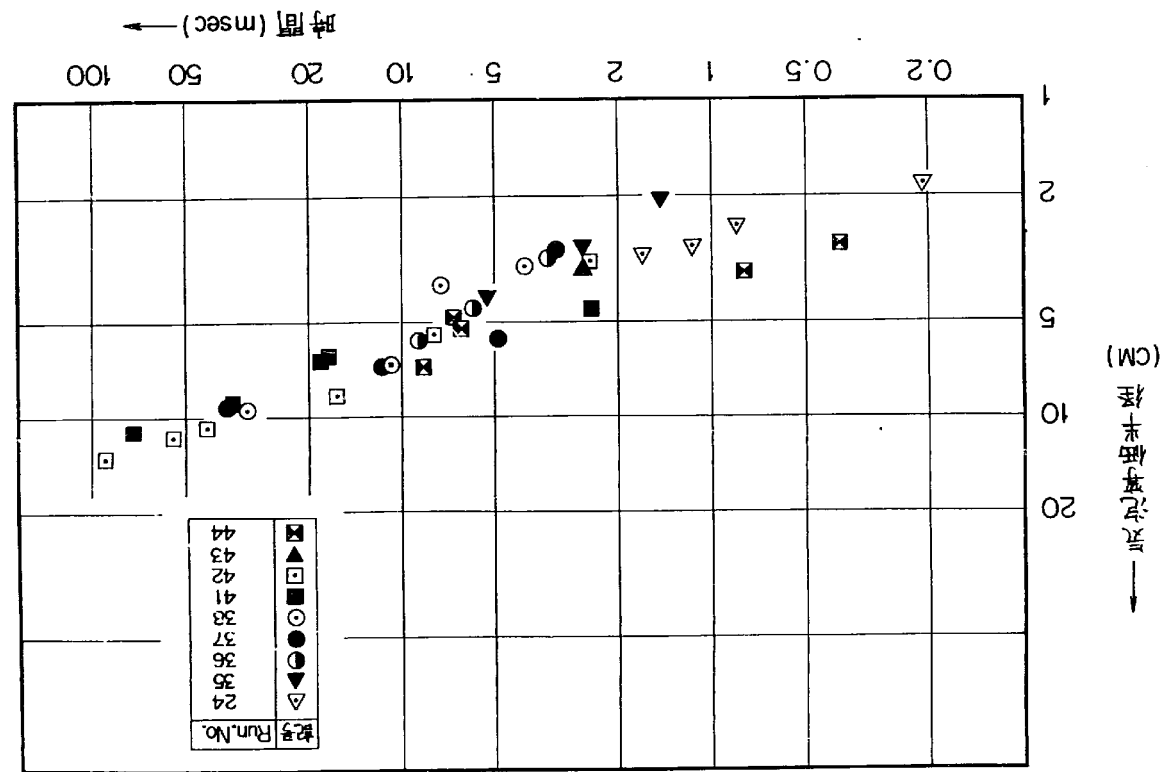


図 3.2.2 サーベイ結果の SWAT-1 の初期気泡圧力と初期気泡半径の存在範囲





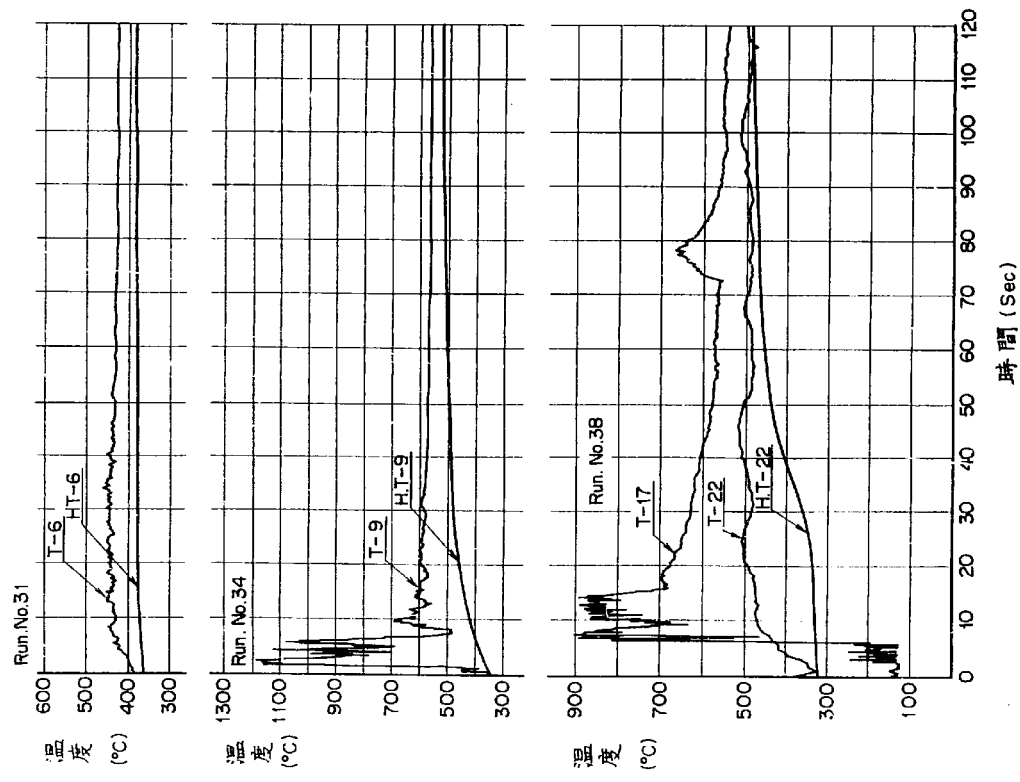
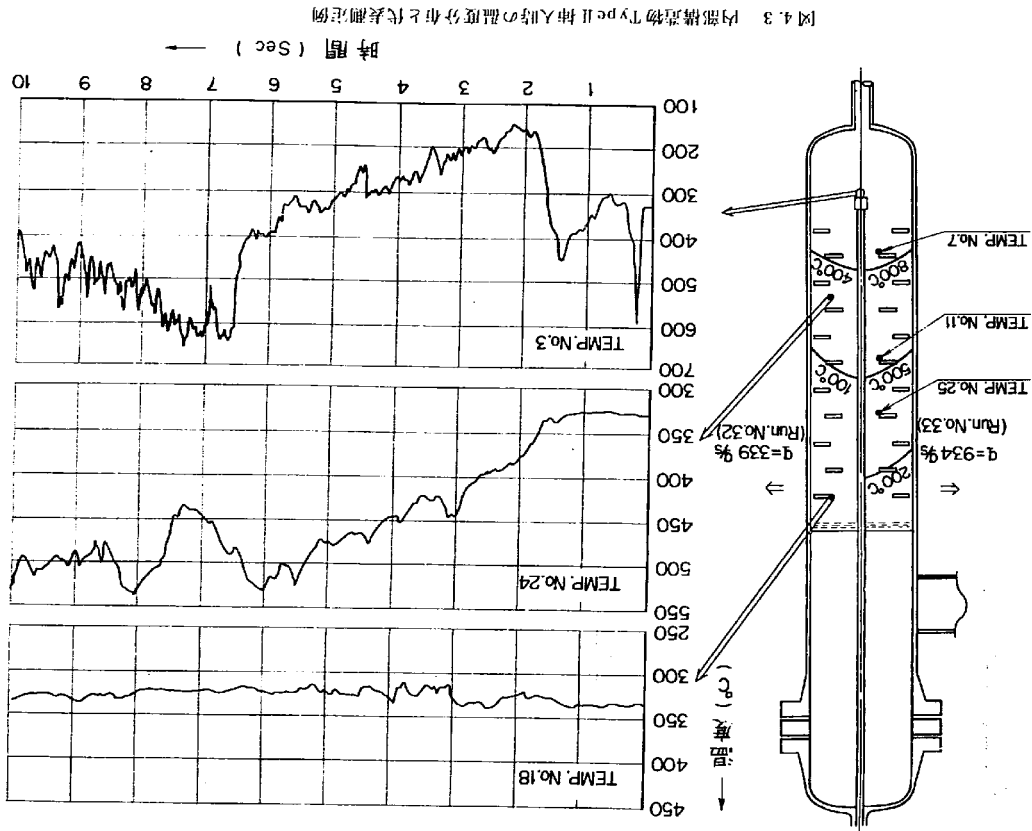


図4.2 管器内往水管先端部付近と管器外壁の温度



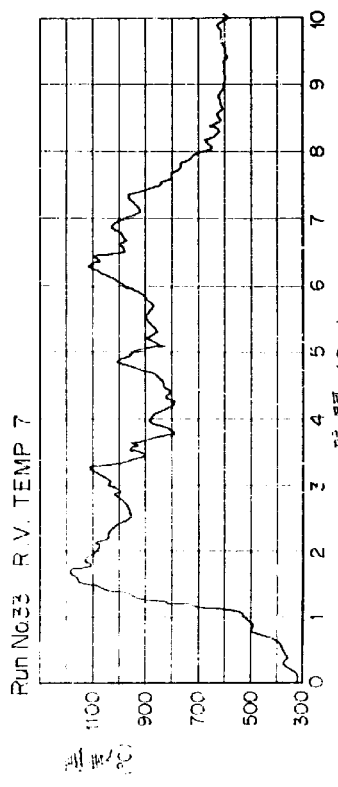
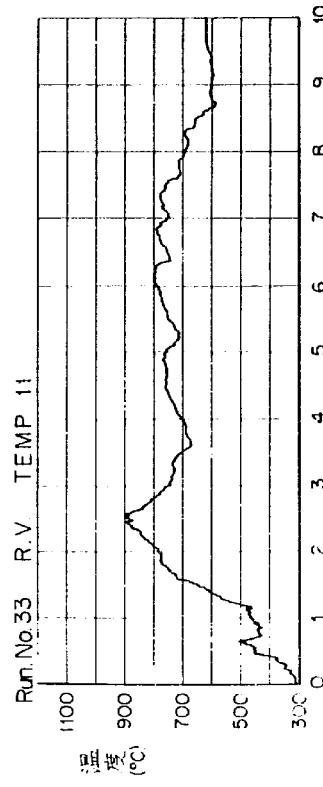
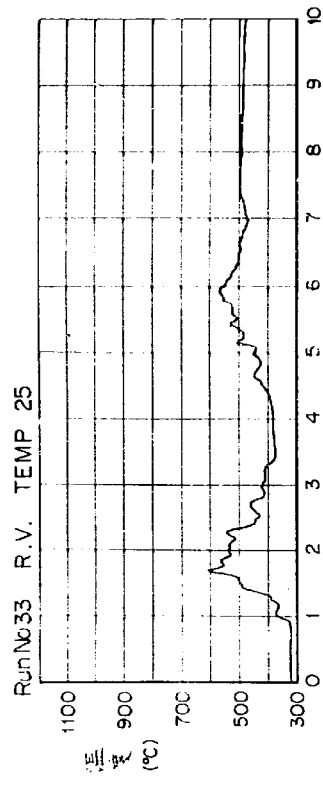


図4.4 油燃焼実験タイマーによる燃焼の大きい場合の温度測定例

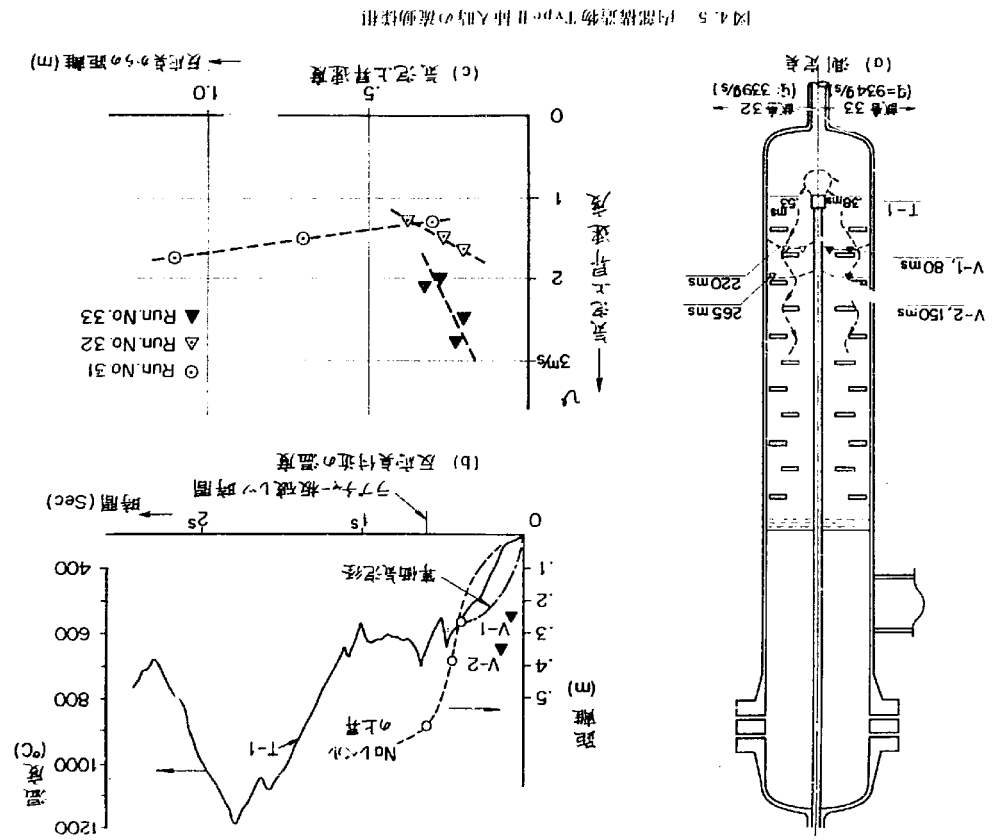
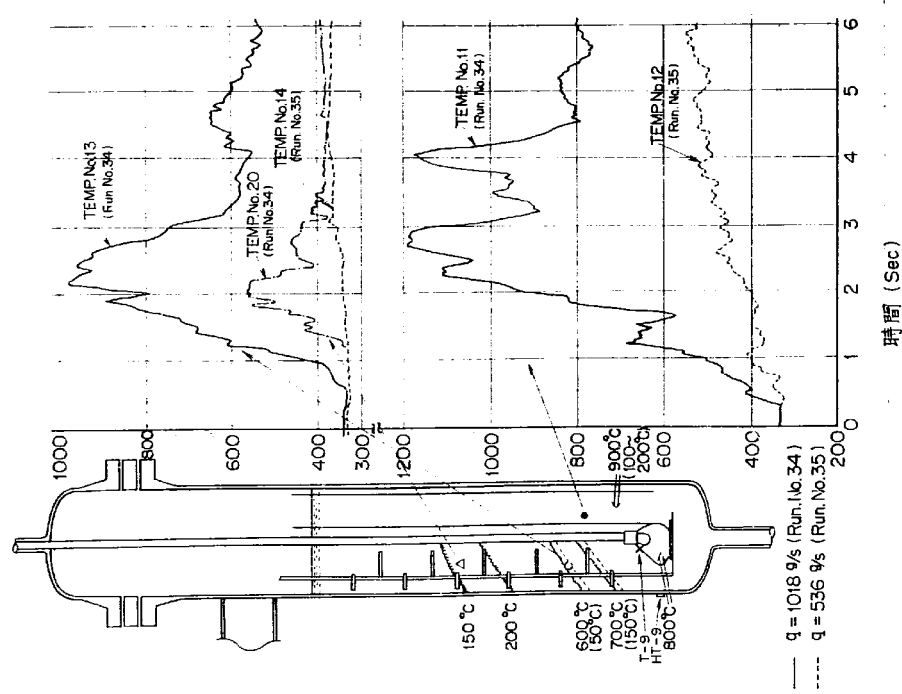
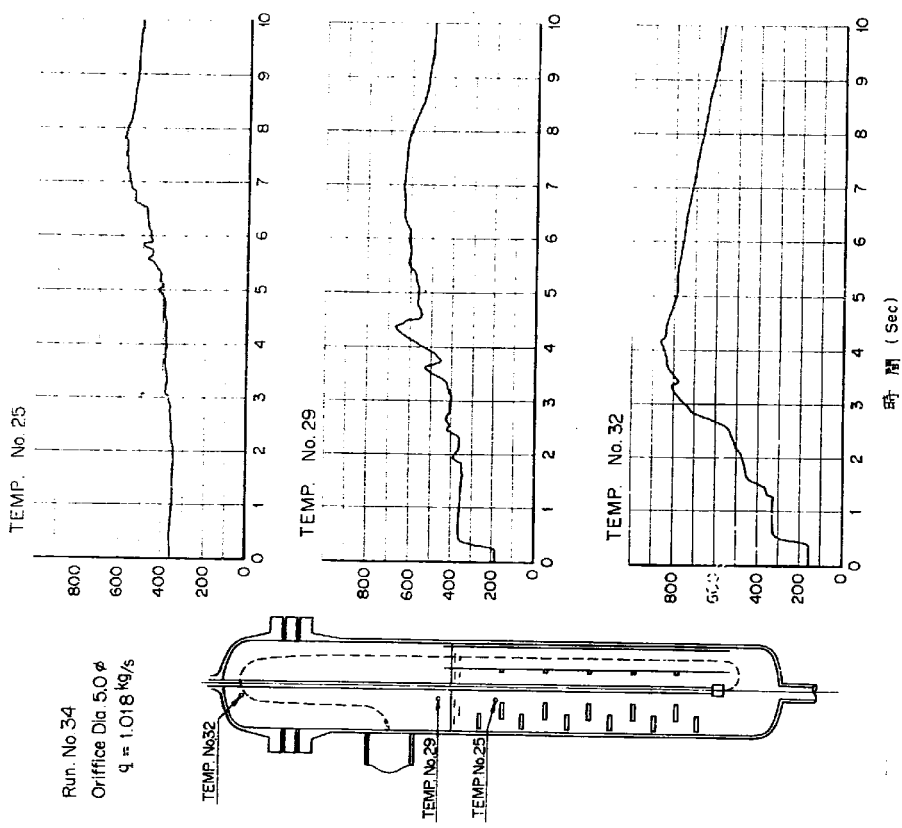


図4.5 油燃焼実験Type II 供給方式の流動特性

図 4.6 内部構造物タイプ1型のカバーガス空間の温度測定例
その1 (Run.No. 34 の注水率の大きい場合)図 4.7 内部構造物タイプ1型のカバーガス空間の温度測定例
その1 (Run.No. 34 の注水率の大きい場合)

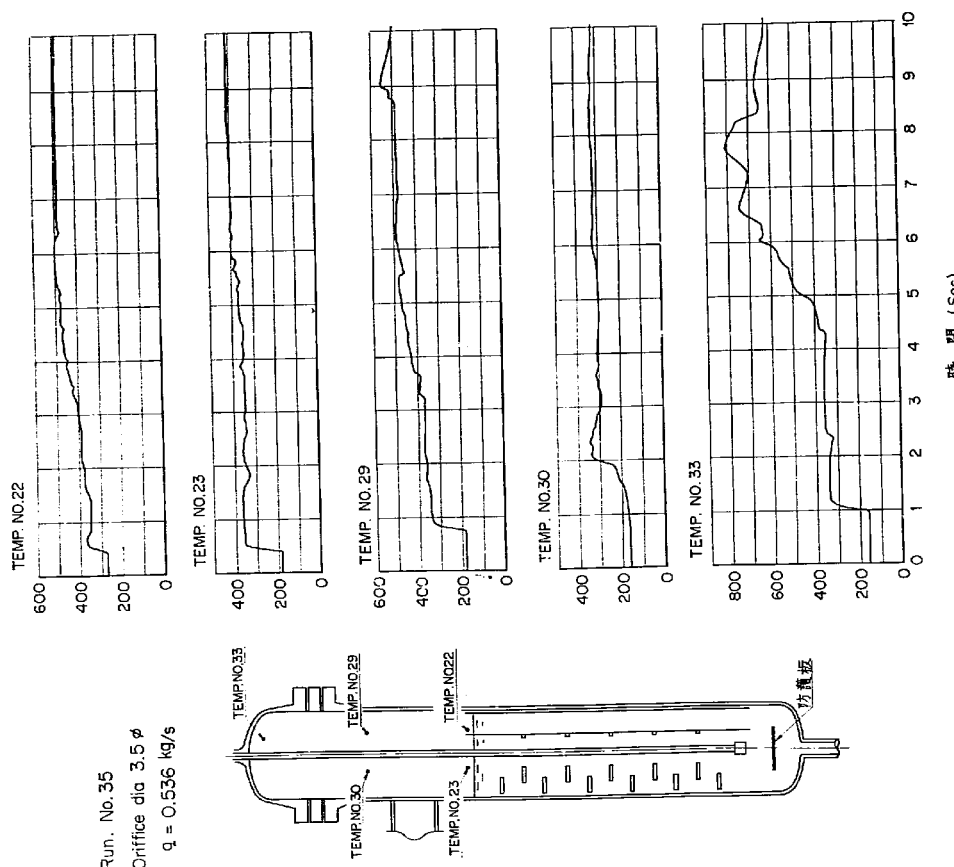


図 4.8 内部構造物 タイフ管挿入時のカバーガス空間の温度測定例
その II (Run. No. 35 の計: 水冷の小さい場合)

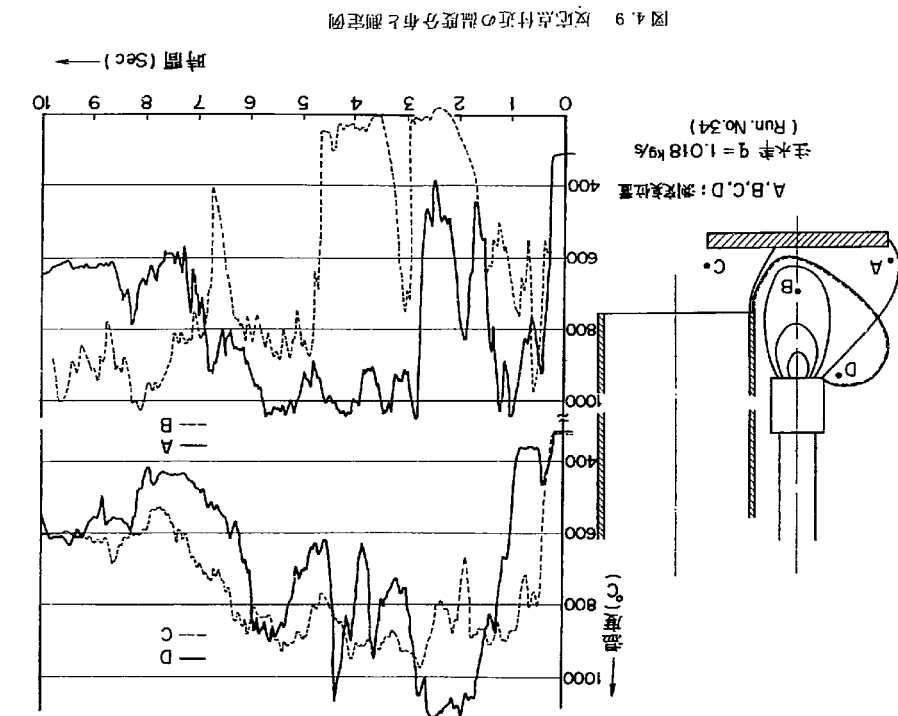


図 4.9 管内流動における温度分布と流れ形

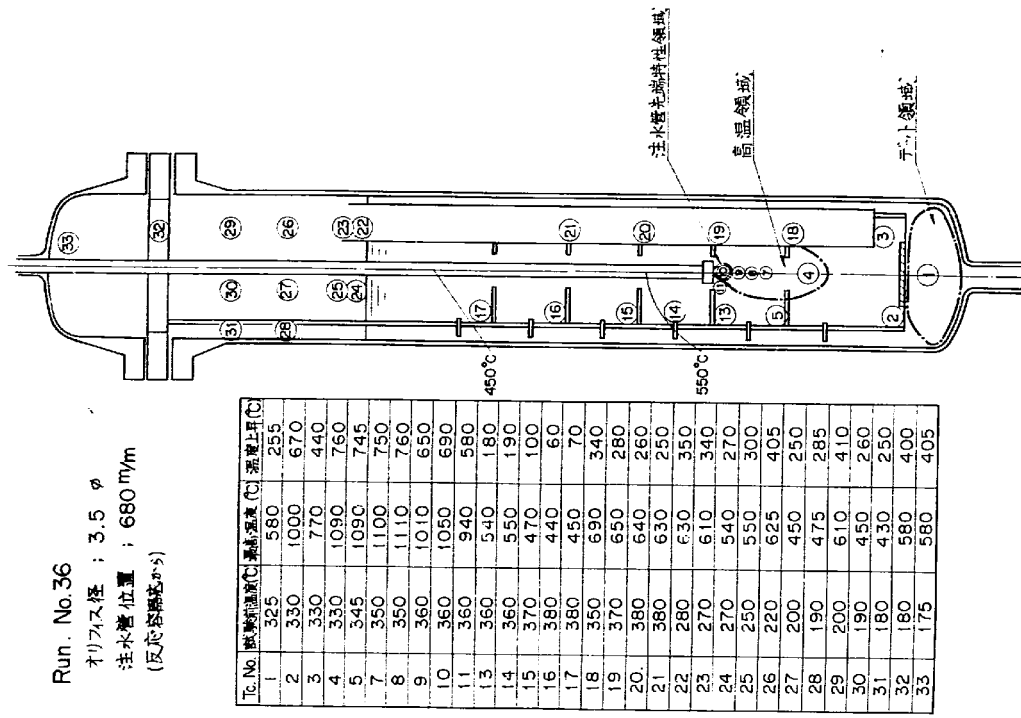
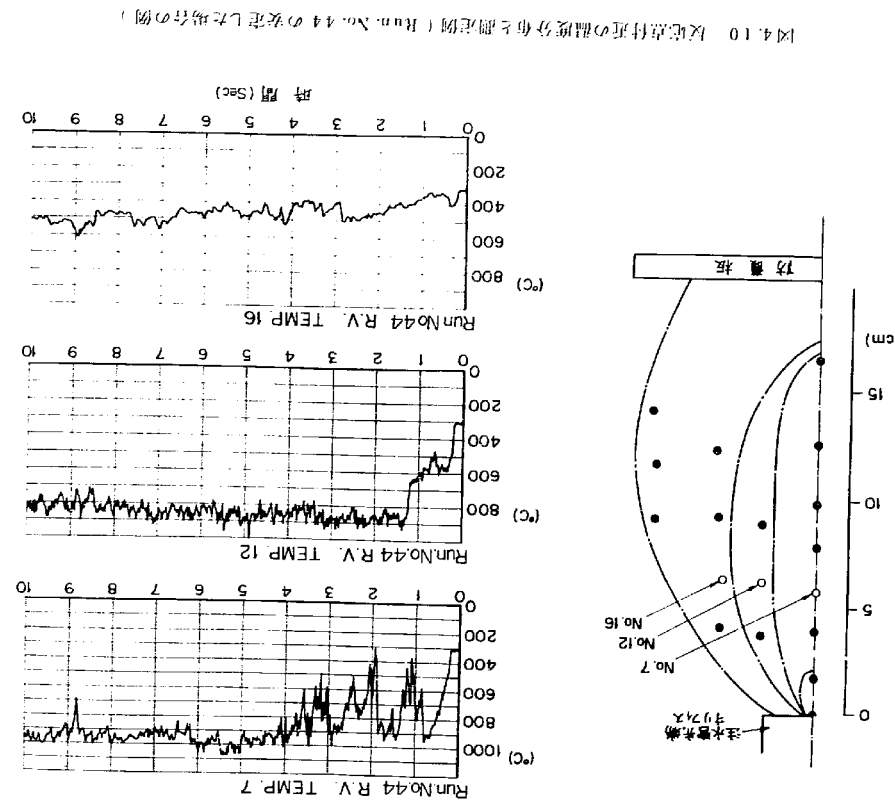


図4.10 放電直付直火器噴霧分布と測定結果 (Run. No. 44 の実験データ引物)



Run. No. 37
オリフィス径 : 5.0 φ
注水管位置 : 630 η/m
(反応容器底部)

Tc. No.	試験開始時最高温度(℃)	最高温度(℃)	試験終了時最高温度(℃)
1	300	560	260
2	300	580	280
3	300	1050	750
4	310	890	580
5	300	1100	800
6	310	1120	810
7	315	1050	735
8	320	1200	880
9	320	1100	780
10	325	1020	695
11	325	1050	725
12	330	495	165
13	320	560	240
14	325	500	175
15	340	425	85
16	350	415	65
17	320	690	370
18	330	680	350
19	350	660	310
20	350	640	290
21	350	625	275
22	265	580	315
23	260	570	310
24	225	490	265
25	235	490	255
26	215	615	400
27	210	430	220
28	190	430	240
29	200	620	420
30	180	460	280
31	180	480	300
32	150	600	410
33	170	590	420

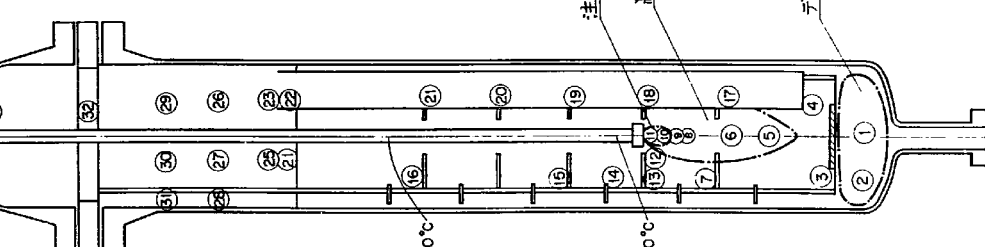


図 4.12 内部構造物タイプIIIを入れ注水管を上げた場合の温度分布そのII
(Run. No. 37 の場合)

Run. No. 38
オリフィス径 : 5.0 φ
注水管位置 : 880 η/m
(反応容器底部)

Tc. No.	試験開始時最高温度(℃)	最高温度(℃)	試験終了時最高温度(℃)
1	295	490	195
2	295	490	195
3	295	500	205
4	295	555	260
5	300	1100	800
6	300	580	280
7	310	1120	810
8	310	650	340
9	320	940	620
10	320	1150	830
11	320	930	610
12	330	1150	820
13	330	1150	820
14	340	1050	690
15	340	1210	870
16	340	910	570
17	340	860	520
18	350	920	570
19	360	830	470
20	360	525	165
21	310	450	140
22	350	480	130
23	360	420	60
24	250	390	140
25	250	400	150
26	270	420	150
27	230	410	180
28	190	410	220
29	190	375	185
30	180	375	195
31	180	290	110
32	160	240	80
33	160	240	80

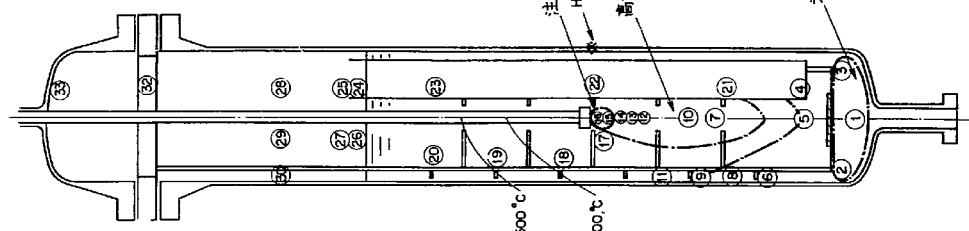


図 4.13 内部構造物タイプIIIを入れ注水管を上げた場合の温度分布そのIII
(Run. No. 38 の場合)

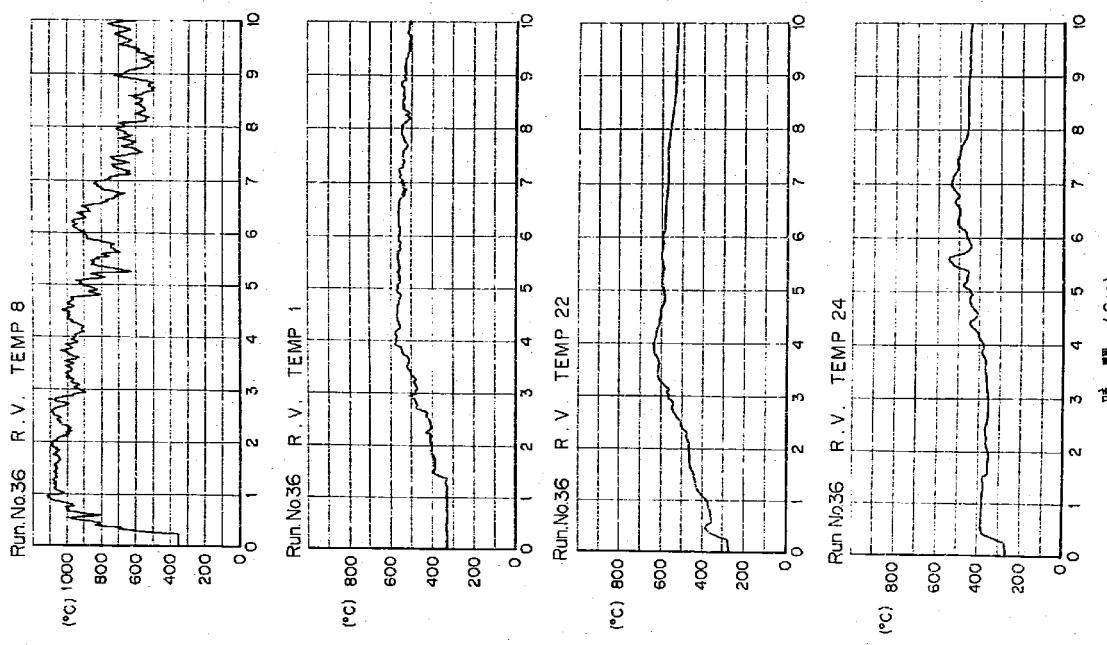


図 4.14 内部構造物ダイブルを入れ注水管位置を上げた場合の温度測定例その 1

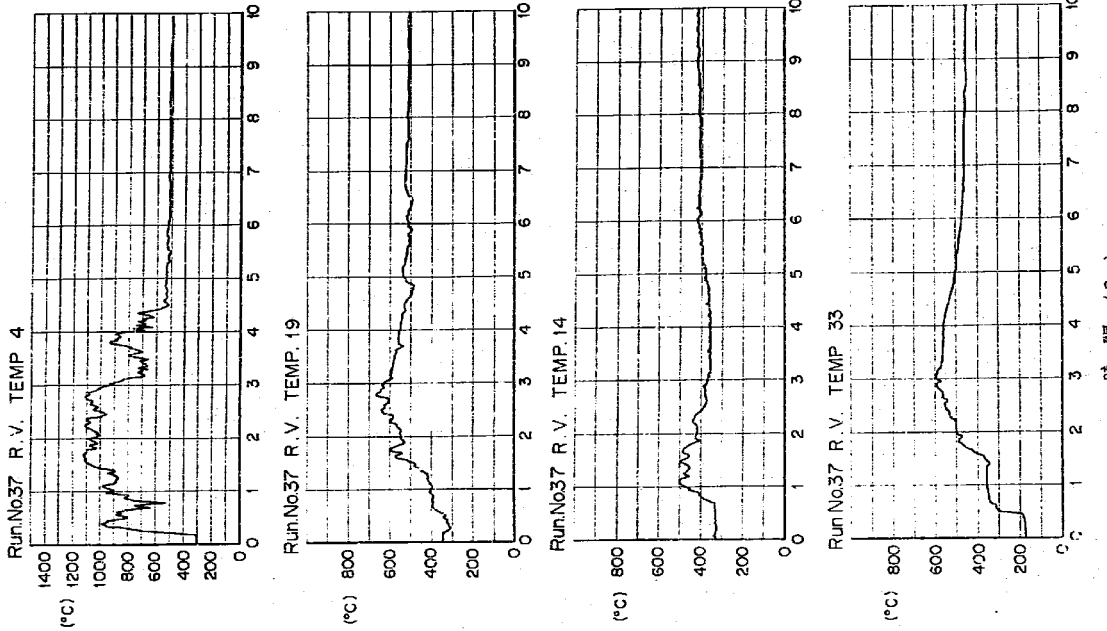


図 4.15 内部構造物ダイブルを入れ注水管位置を上げた場合の温度測定例その 2

PNC TN941 74-46

PNC TN941 74-46

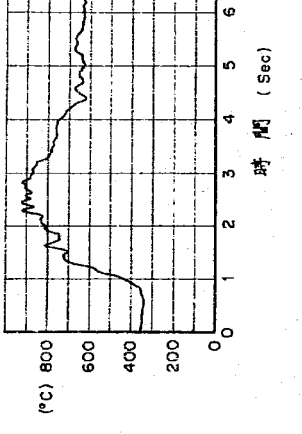
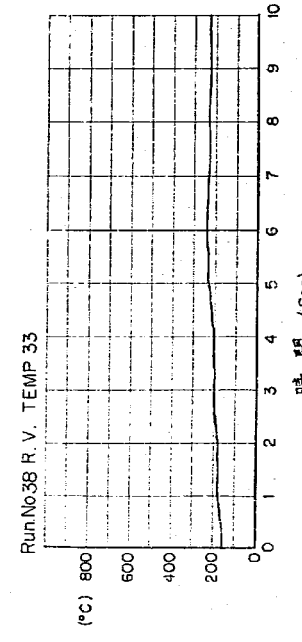
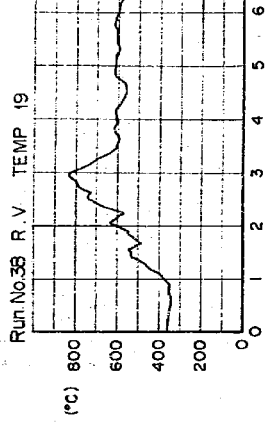
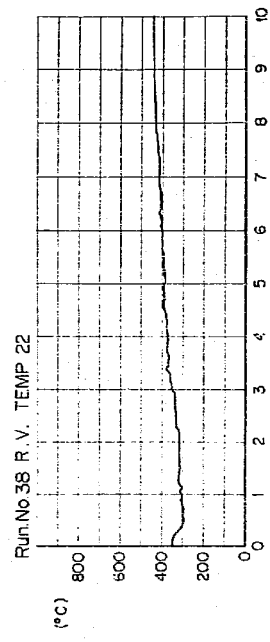
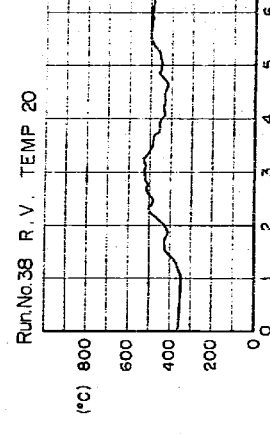
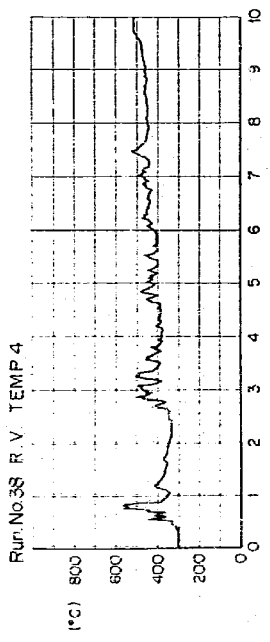


図 4.16 内部構造物タブⅢを入れ注水管位置を上げた場合の温度測定例そのⅢ

図 4.17 内部構造物タブⅣを入れ注水管位置を上げた場合の温度測定例そのⅣ

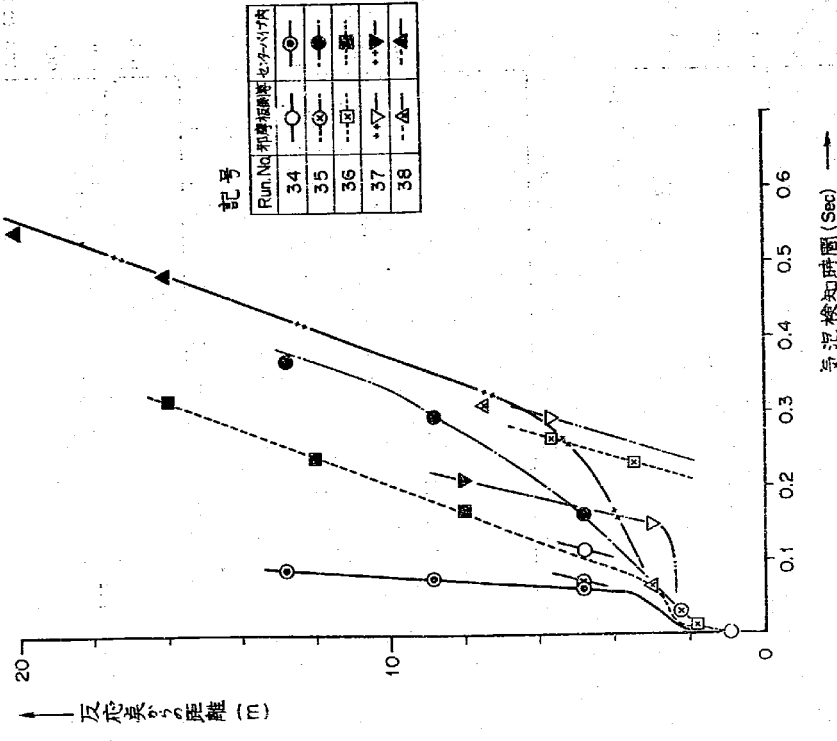


図 4.18 内部構造物タイプⅢ挿入時の反応器内の反応点からの距離と反応生成ガス検知時間の関係

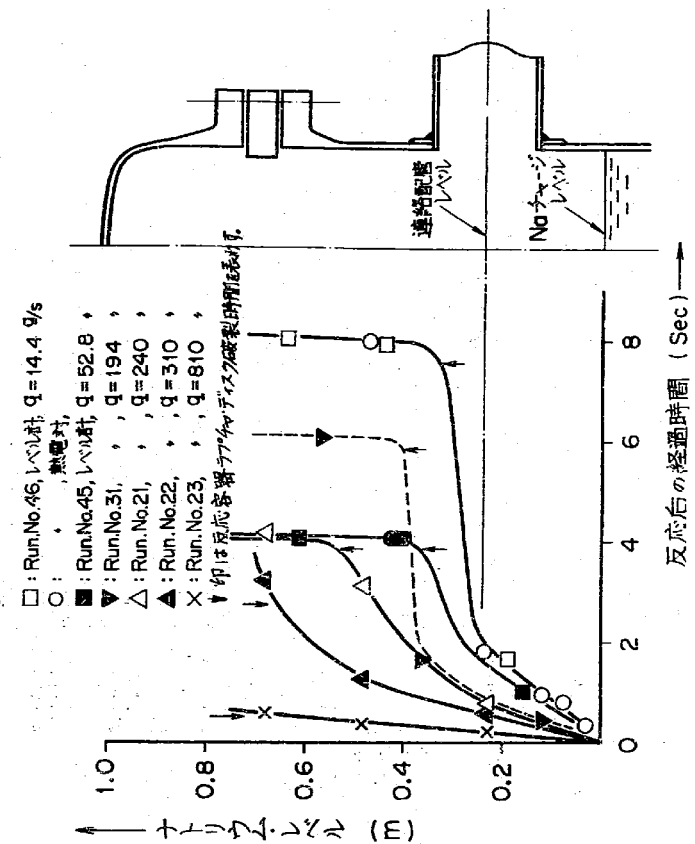


図 4.19 注水水をえた場合のナトリウム・レベルの動き

表 4.1 内部構造物を入れた実験 3 X シリーズの試験条件

試験番号	注水管 オフィス径 (φ)	沸騰内部 構造のタ イプ	注水方式(給水位置 (反応器深さからmm数))	流動様相、温度分布 に対する主な試験 目的
31	2.5	I	237	チャンネル状(上升 する蒸気ガスの上昇 速度等)
32	3.5	II	246	千鳥格子配列の内部 構造物を入れ注水第 をえた場合の流動、 温度換相
33	5.0		296	実機燃焼発生器流路 をマクロに模擬し、 流れを非対称にして注 水管、注水管先端位 置を変えた場合の流 動、温度換相
34	5.0			
35	3.5			
36	3.5	III	680	
37	5.0			
38	5.0		880	

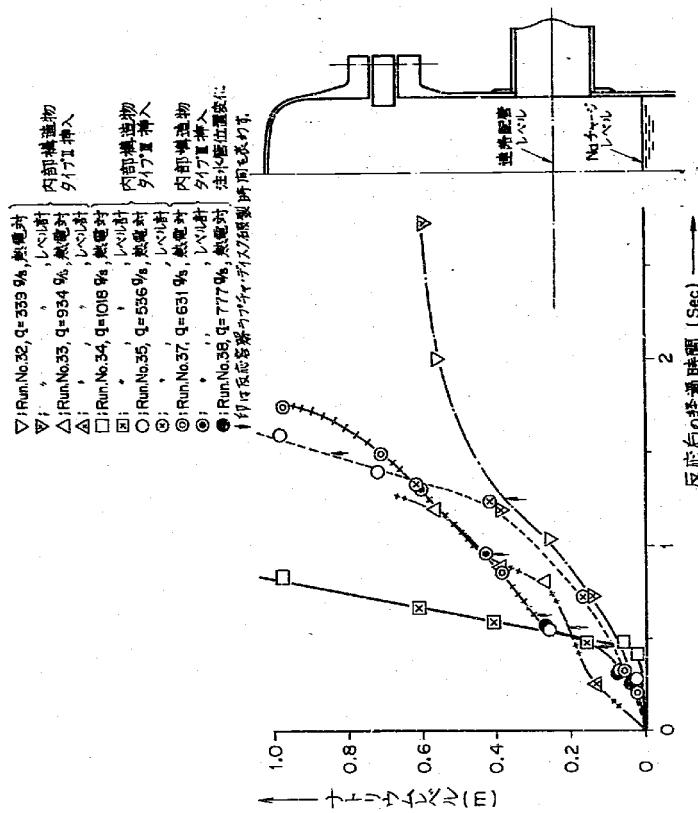


図 4.20 内部構造物タイプⅢおよびⅣ注入時のナトリウム・レベルの動き

表 4.2 注水管位置を変えた場合の温度特性
(内部構造物タイプⅢ挿入、試番 3.6, 3.7, 3.8)

試験及び 測定条件	RUN. No. 36 ($L=680\text{m}/\text{min}$, $D=3.5\phi$)	RUN. No. 37 ($L=650\text{m}/\text{min}$, $D=5.0\phi$)	RUN. No. 38 ($L=810\text{m}/\text{min}$, $D=5.0\phi$)
センター・パイプ 下端	反応 0.36 秒後に温度上昇を示し、以後 700°C 位の温度を維持する。(測定点: 図 4.11 の ③)	反応 0.12 秒後に温度上昇を示し、以後 1100°C 位の温度を維持する。(測定点: 図 4.12 の ①, ④(に接続))	反応 0.5 秒後に温度上昇を示し、以後 1100°C 位の温度を維持する。(測定点: 図 4.13 の ④)
センター・パイプ 内(センターパイプ下端より 62 cm 上方)	反応 2.5 秒後にセンターパイプ下端温度より 640 °C を記録する。(測定点: 図 4.11 の ②)	反応 2.8 秒後にセンターパイプ下端温度より 660 °C を記録する。(測定点: 図 4.12 の ⑨, ⑩) (測定例: 図 4.15 の 19(に接続))	反応後、容器内ナトリウムの温度勾配のため、一日毎に温度下降し、以後緩慢に温度上升する(測定例: 図 4.13 の ②, 測定例: 図 4.16 の 22 (に接続))
拘束板側 容器底より 98.5 cm	反応 1.8 秒後に温度上昇 2.6 反応 1.4 秒後に温度上昇を示す。反応 1.4 秒後に最高温度 383.0 °C を記録する。(測定点: 図 4.11 の ⑤)	反応 1.2 秒後に温度上昇を示す。(測定点: 図 4.12 の ⑩, 測定例: 図 4.16 の 19(に接続))	反応 1.2 秒後に最高温度 380 °C を記録する。(測定点: 図 4.13 の ⑨, 測定例: 図 4.16 の 19(に接続))
ガス・レベ ル上 (cm) センターパイプ側 拘束板側	反応 0.26~0.27 秒後にナトリウムにガスが漏洩した。以後 1.1 秒後にナトリウムにガスが漏洩した。以後 1.1 秒後にナトリウムにガスが漏洩した。(測定点: 図 4.11 の ⑥, ⑦ 及び ⑧, 測定例: 図 4.14 の 22 及び 24(に接続))	反応 0.63 秒後にナトリウムの漏洩を記録する。(測定点: 図 4.13 の ⑩, 測定例: 図 4.15 の 33(に接続))	反応 0.88 秒後にナトリウム漏洩を記録する。(測定点: 図 4.13 の ⑩, 測定例: 図 4.16 の 33(に接続))
ガス上部 ガス・レベル 上り 99 cm 上方	ガス上部ガス・レベル上り 99 cm 上方)を記録する。(測定点: 図 4.11 の ⑨)	ガス上部ガス・レベル上り 99 cm 上方)を記録する。(測定点: 図 4.11 の ⑨)	ガス上部ガス・レベル上り 99 cm 上方)を記録する。(測定点: 図 4.11 の ⑨)

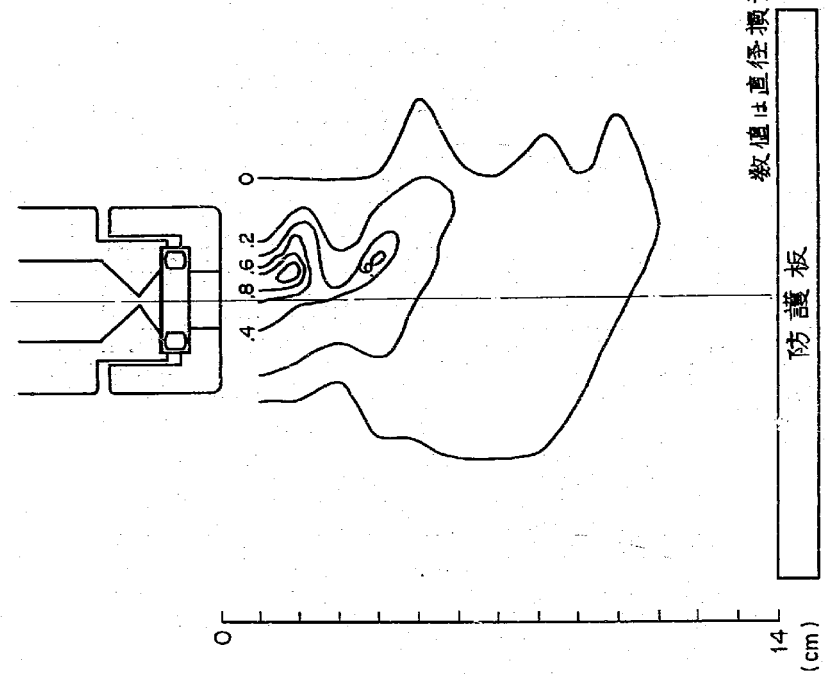


図 5.1.1 オリフィス径 2.5 φ (0.132 kg/sec) の場合のウェスティシャット

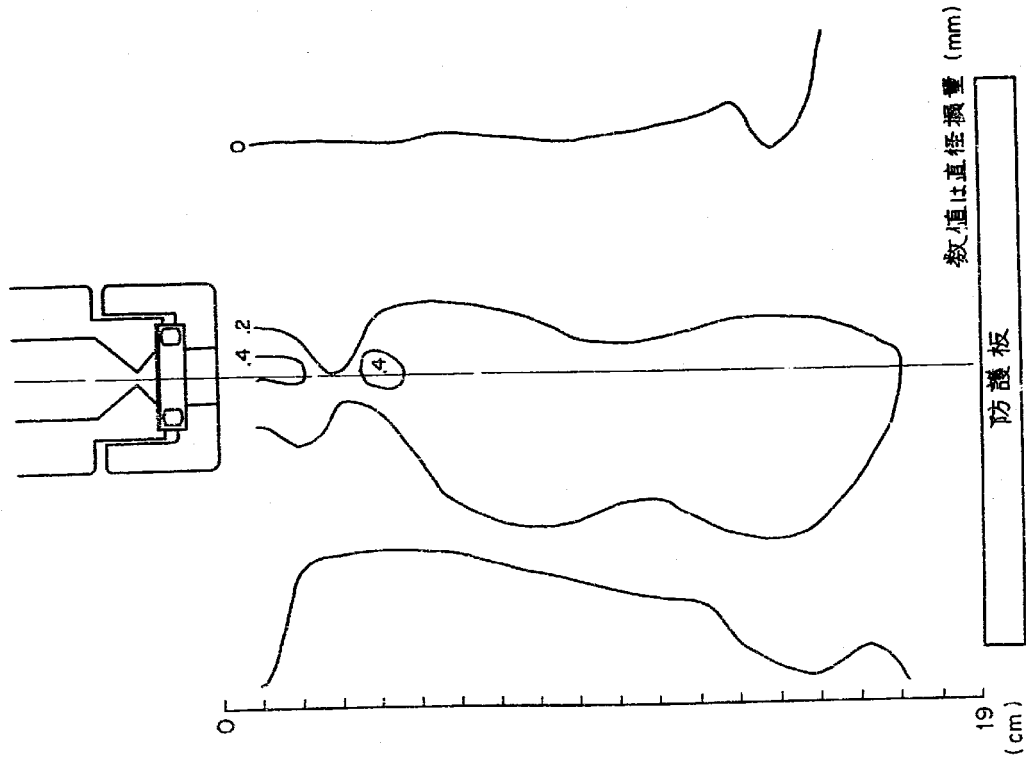


図 5.1.2 オリフィス径 3.5ϕ (0.337 kg/sec) の場合のウェスティジャップ

-58-

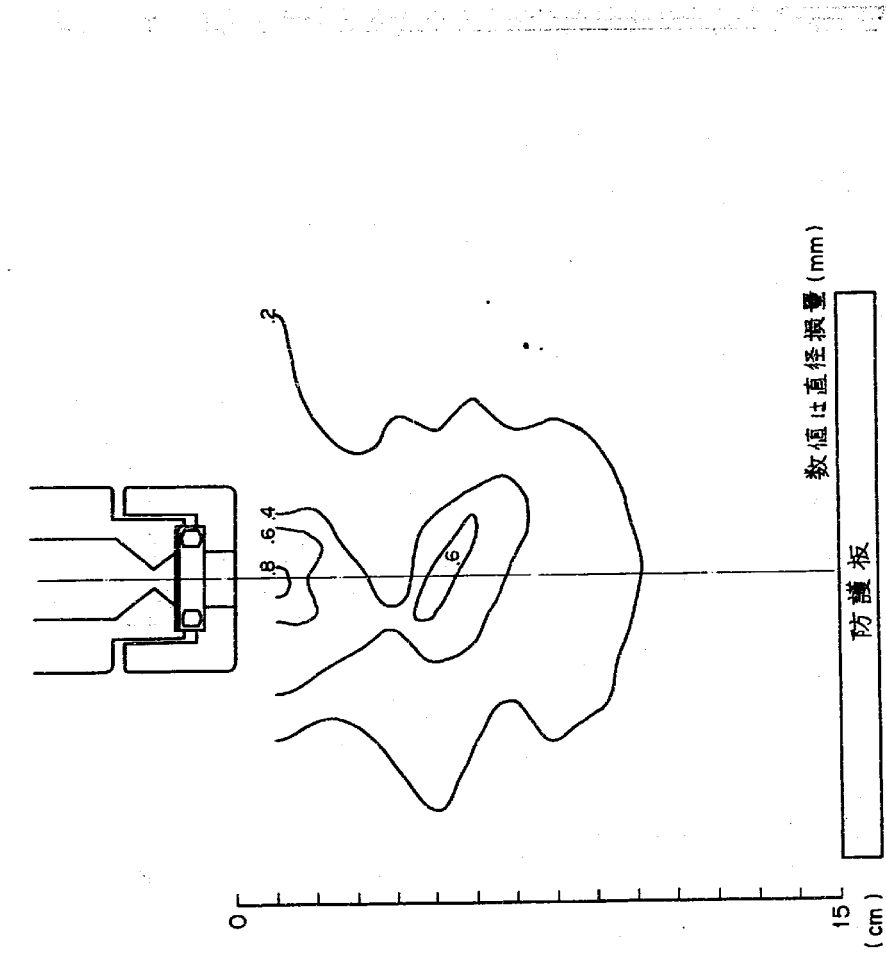


図 5.1.3 オリフィス径 5.0ϕ (0.773 kg/sec) の場合のウェスティジャップ

-59-

図 5.1.5 洪水管先端水位の距離と最大二点差

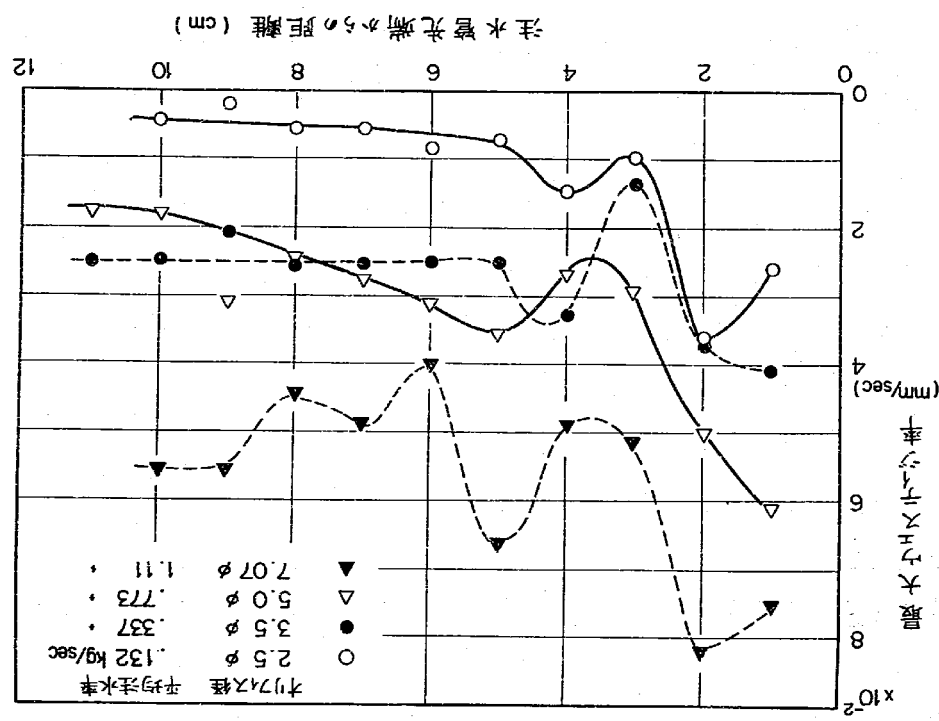
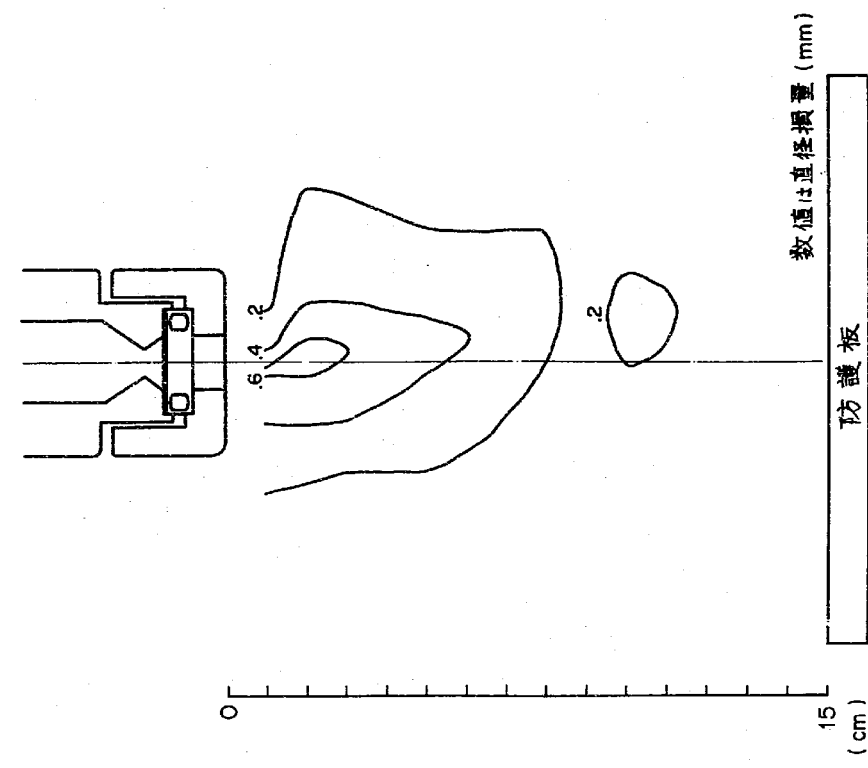


図 5.1.4 オリフィス径 7.07 ϕ (1.11kg/sec) の場合のウェスティジャップ



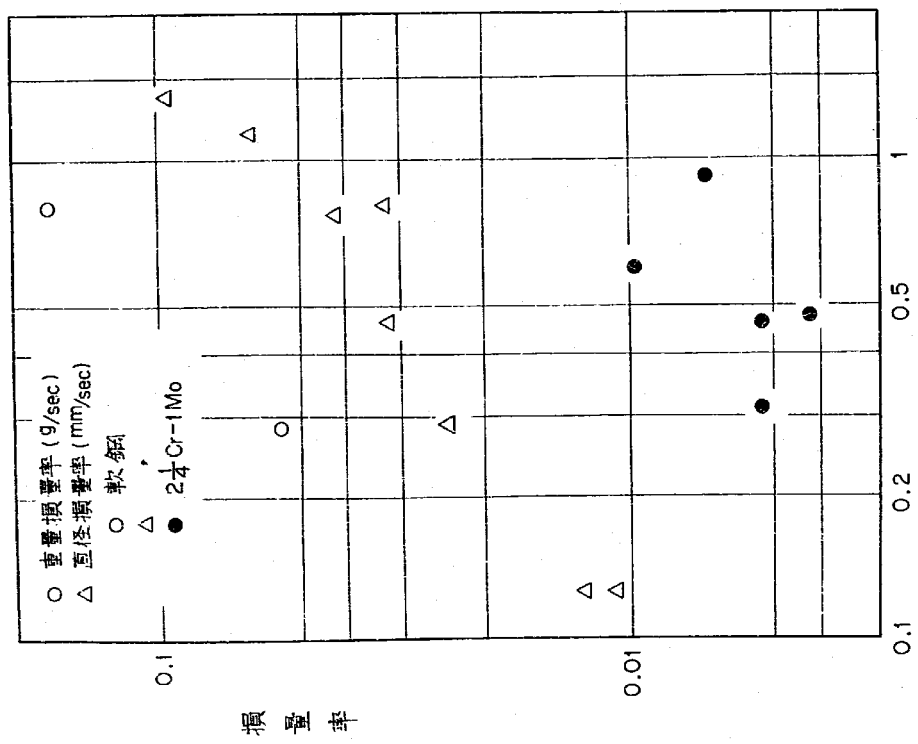
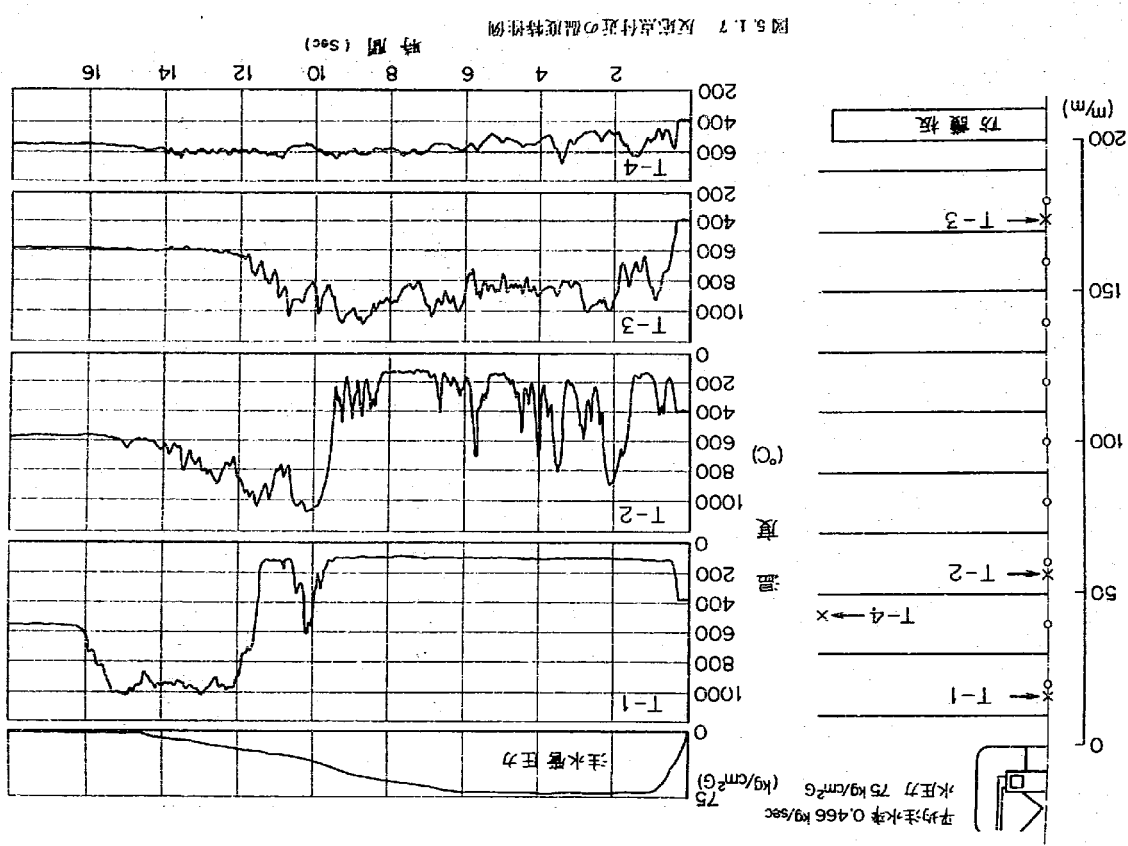


図 5.1.6 平均注水率と損量率



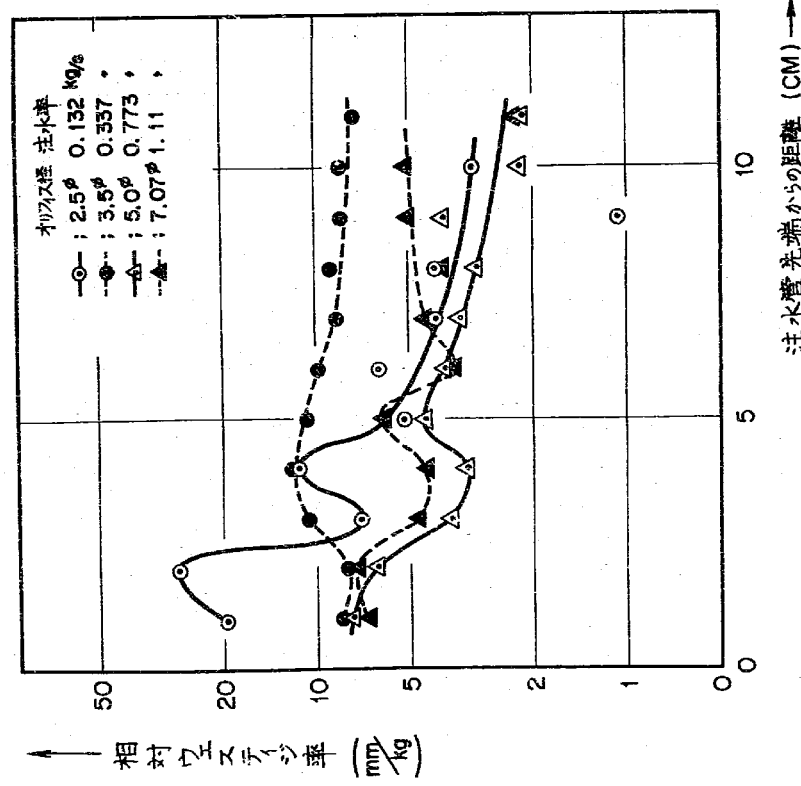


図5.1.8 注水管先端からの距離と相対ウェスティシ率の関係

管状ターゲット寸法

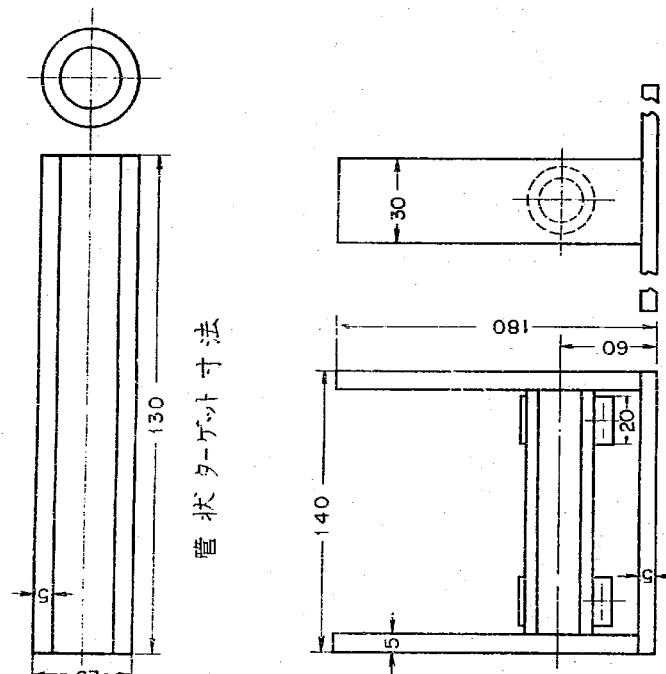


図5.2.1 1試験1の管状ターゲットアセンブリ

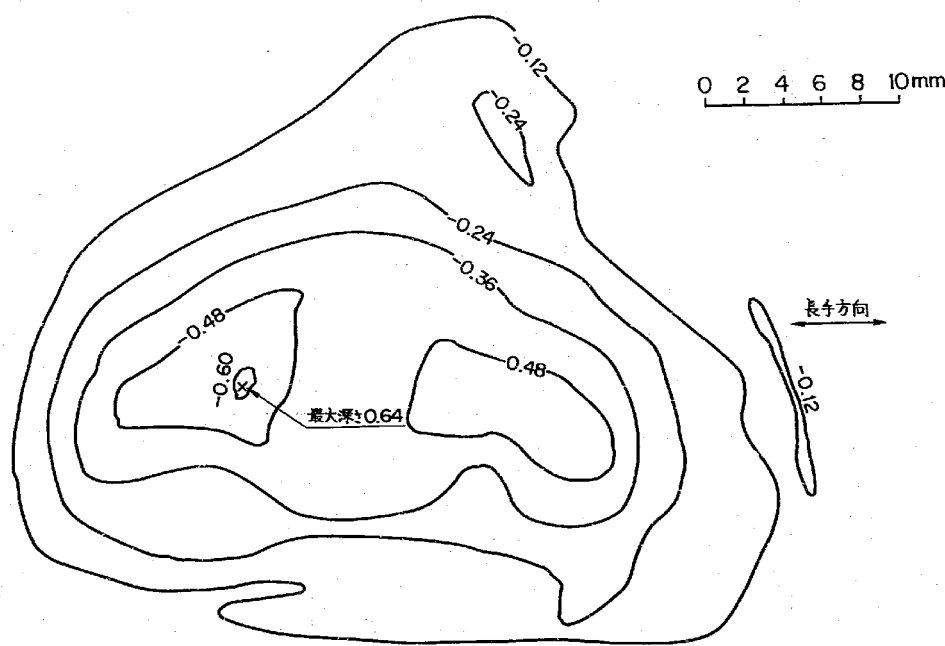


図 5.2.2 Run. No. 02 の損耗状況

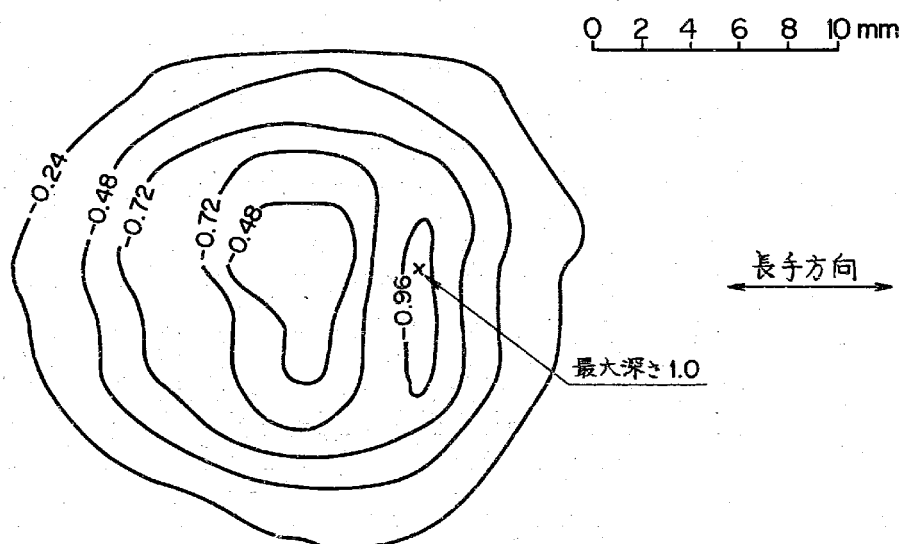


図 5.2.3 Run. No. 03 の損耗状況

SN941 7-4-46

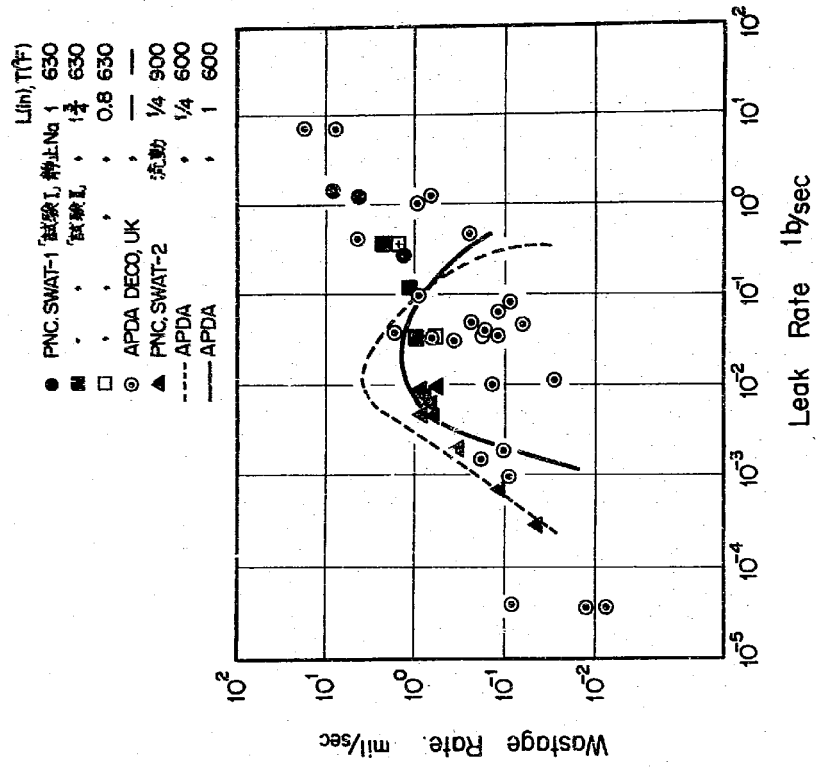


図 5.2.5 他の測定データと比較した SWAT-1 のウェスティージ率とリーケ率の関係

SN941 7-4-46

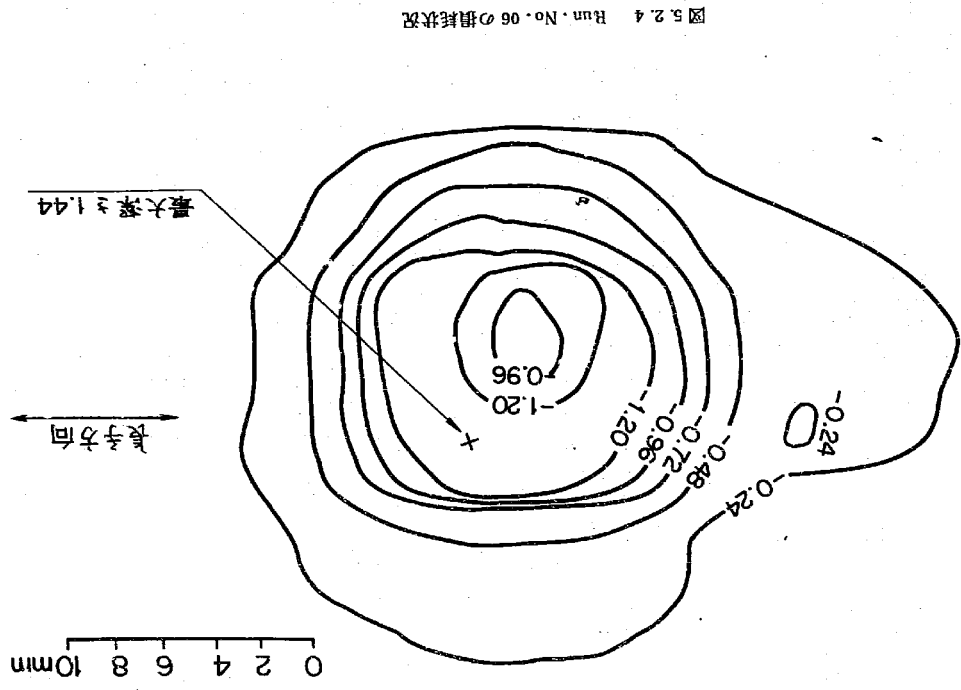


図 5.2.4 Hurn. No. 06 の風速分布

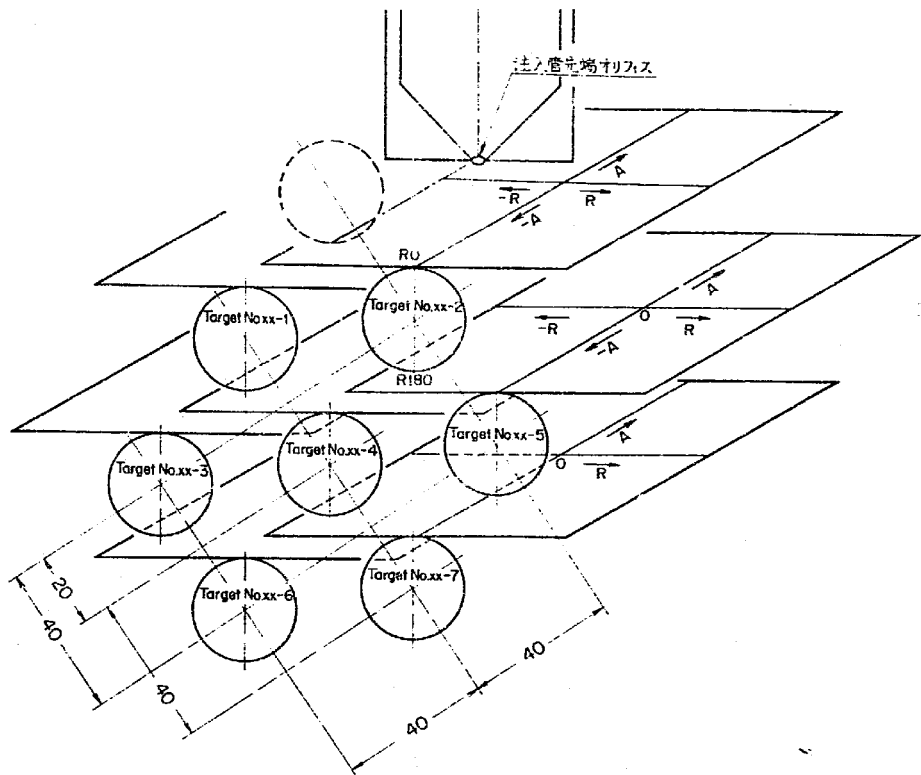


図 5.2.6 ターゲット配図およびウェスティジマップ展開説明図

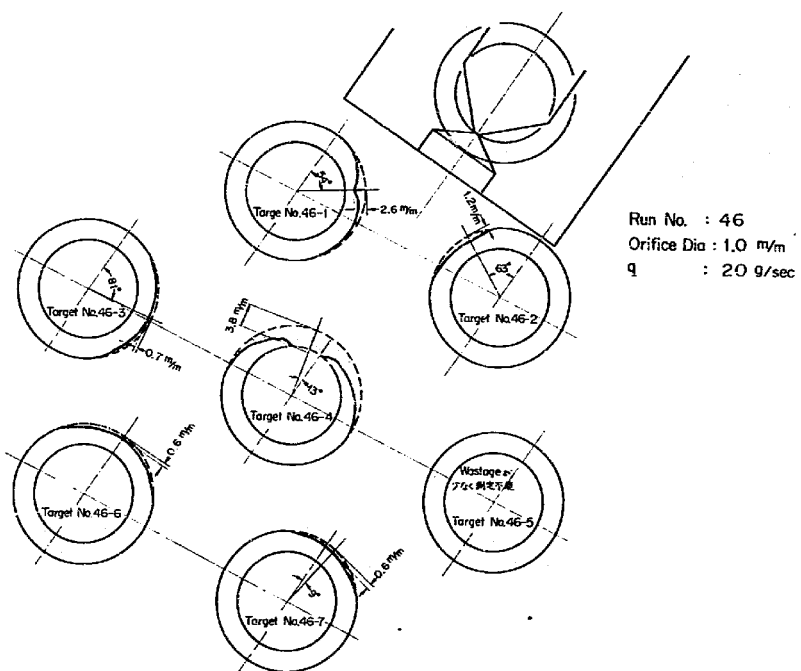


図 5.2.7 オリフィス径 1.0^{ϕ} の時の伝熱管損傷状況

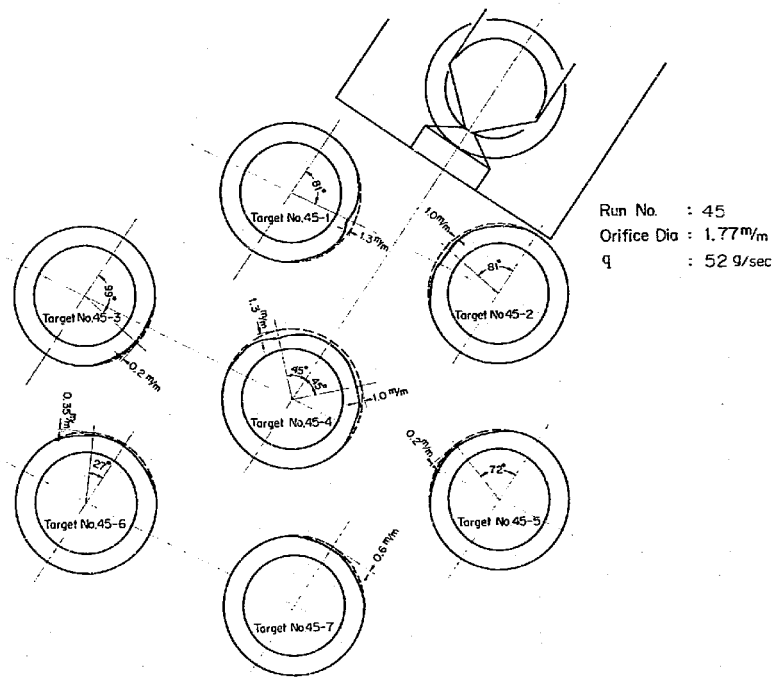


図 5.2.8 オリフィス径 1.77 φ の時の伝熱管損傷状況

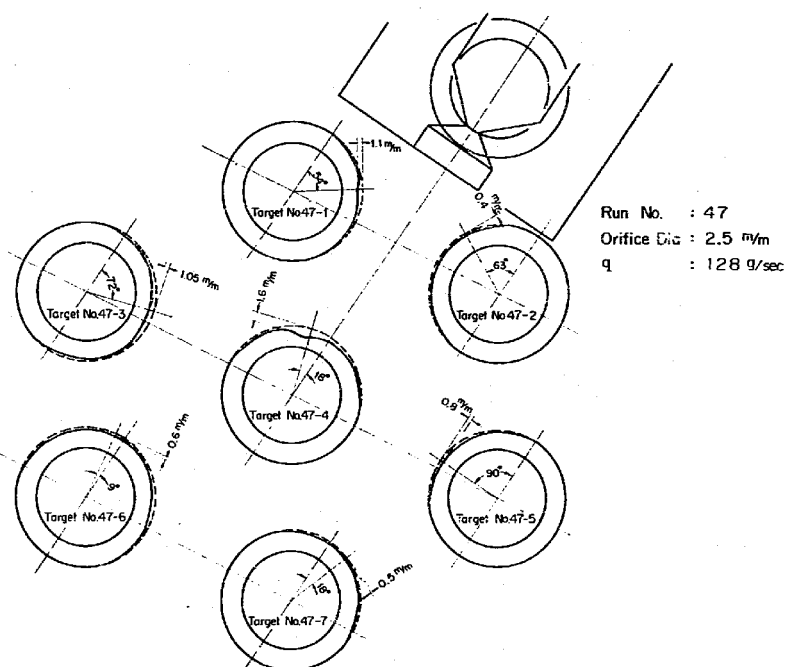


図 5.2.9 オリフィス径 2.5 φ の時の伝熱管損傷状況

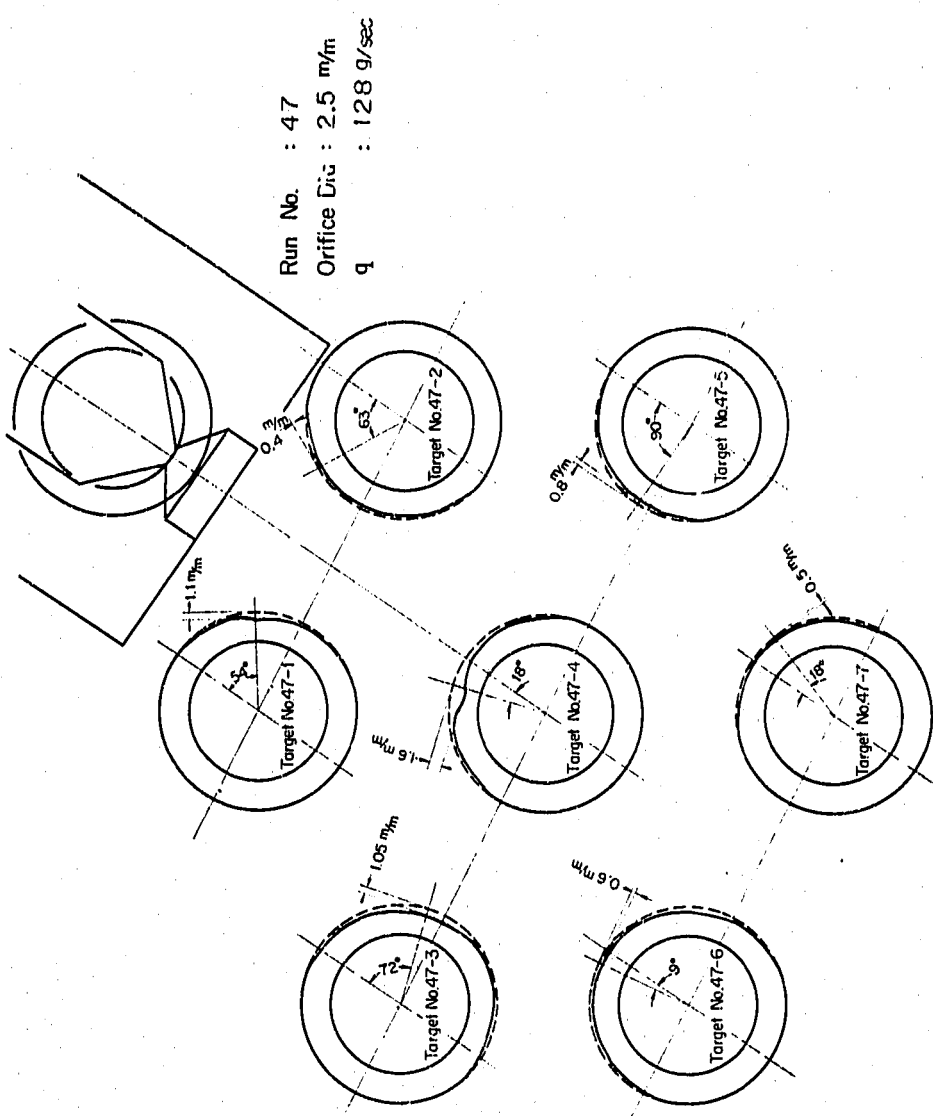


図 5.2.9 オリフィス径 2.5 φ の時の[逆]熱管損傷状況

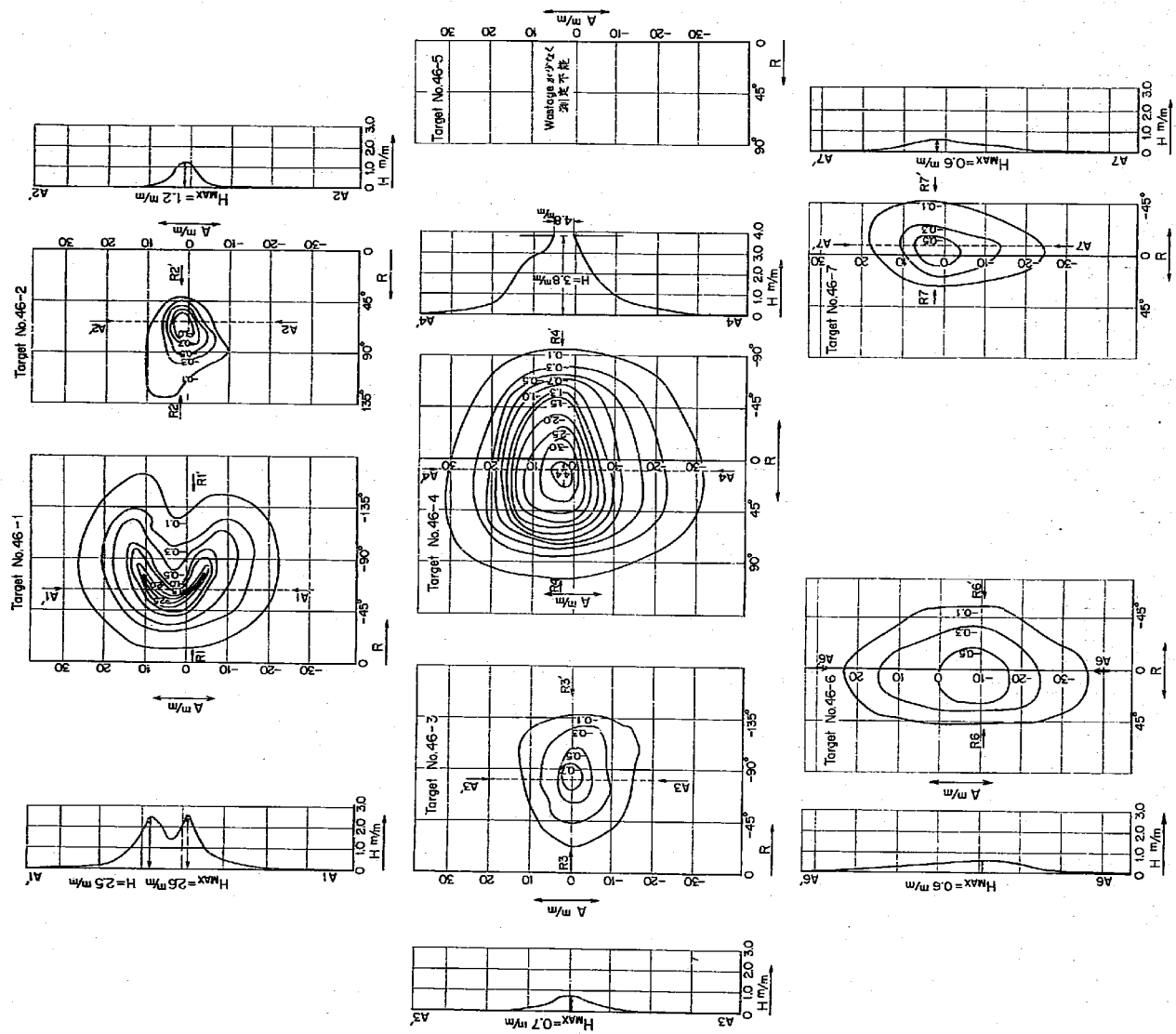


図 5.2.10 オリフィス径 1.0 の時の各伝熱管のウエスティマップ

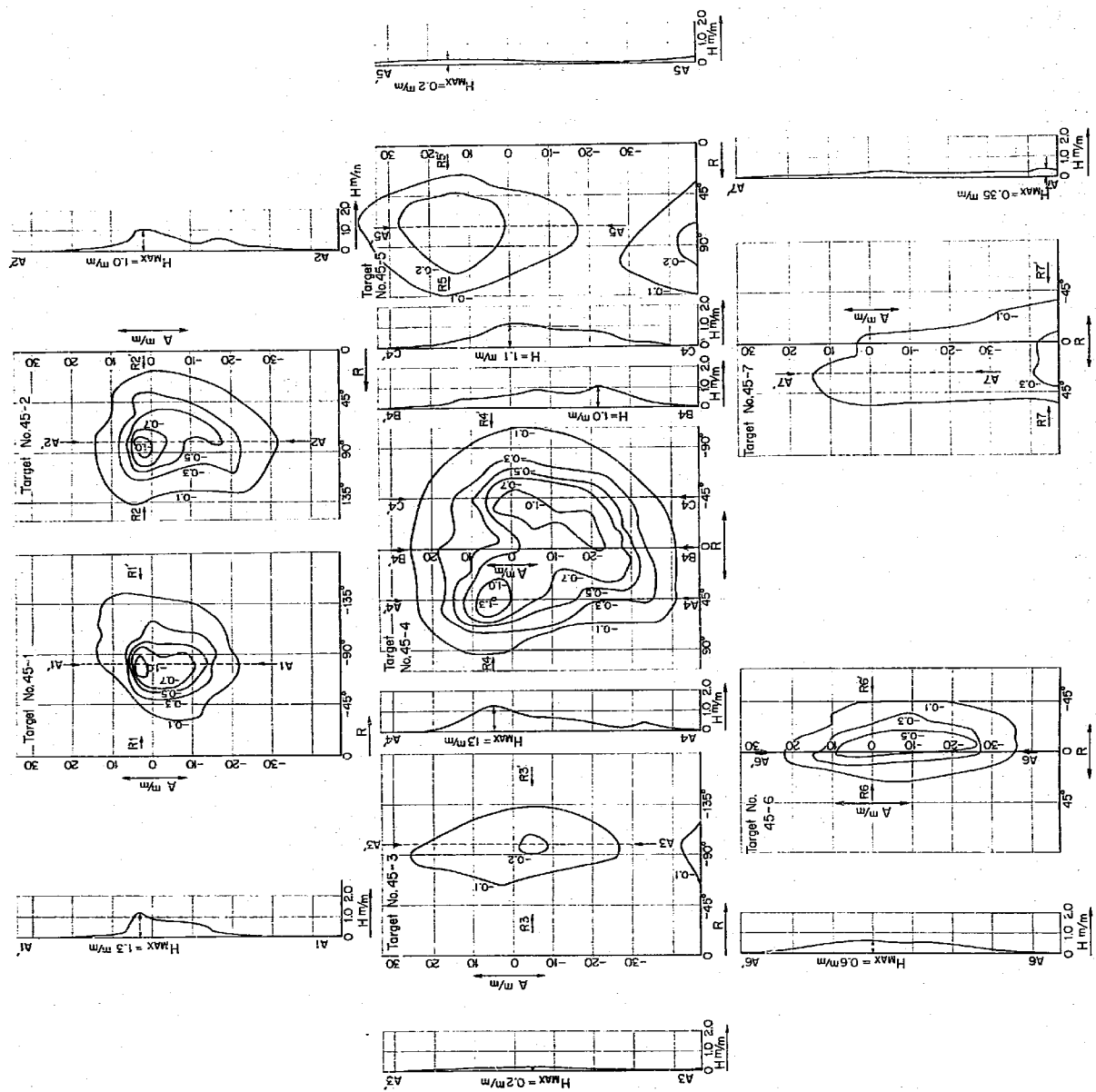


図 5.2.11 オリフィス径 1.77 φ の時の各伝熱管のウェスティマップ

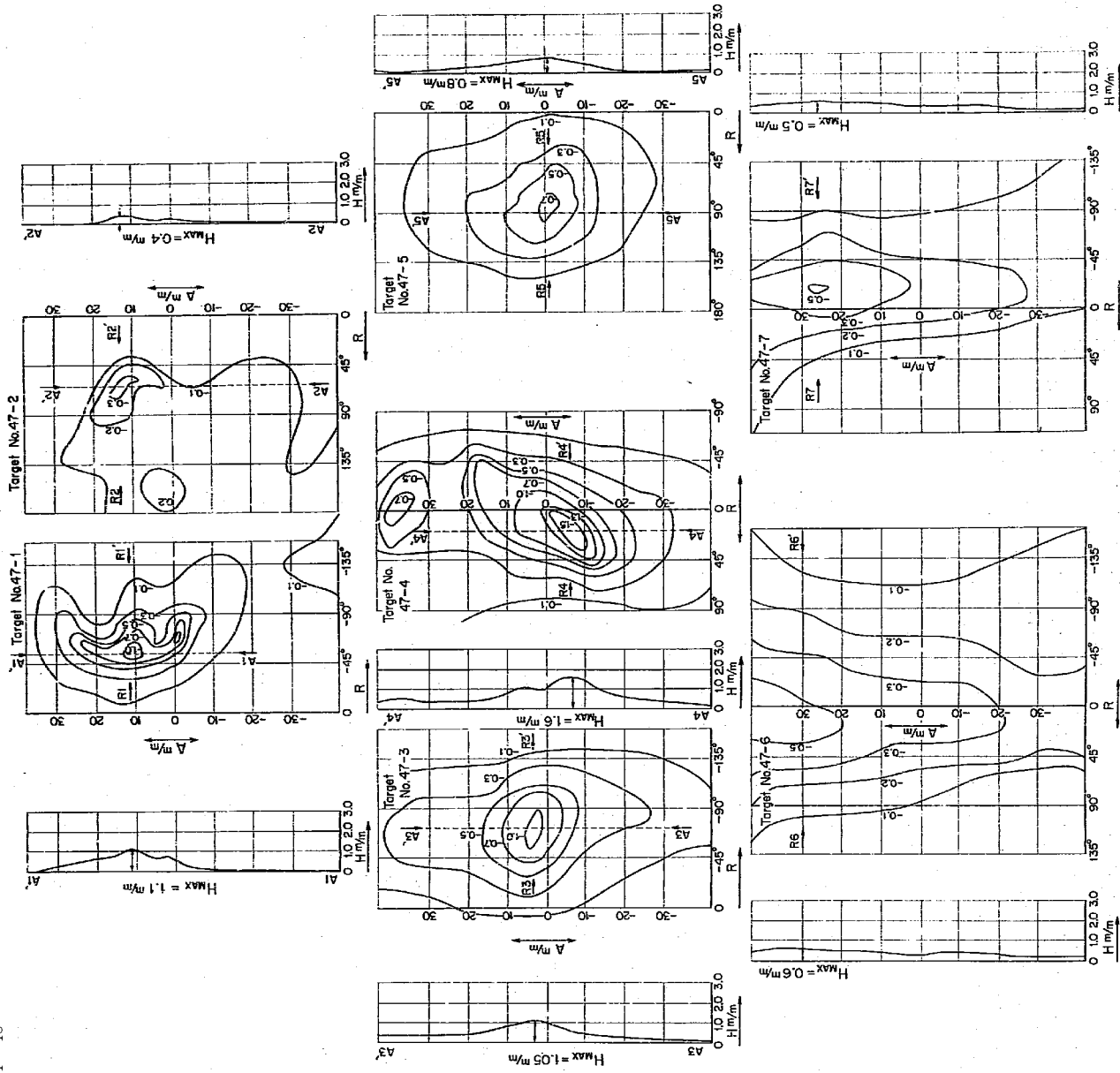


図 5.2.12 オリフィス径 2.5 φ の時の各伝熱管のウェスティマップ

-79-

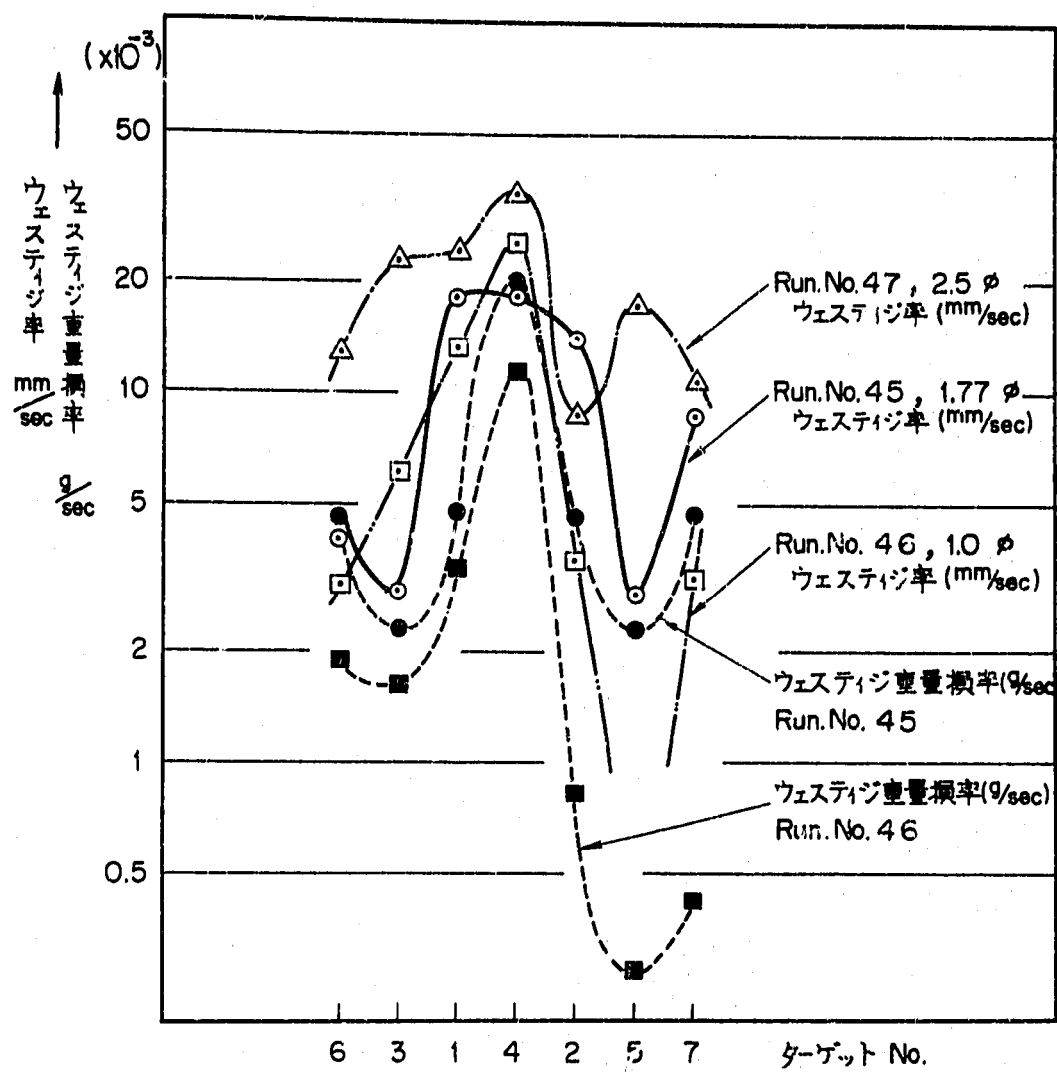


図 5.2.1.3 各伝熱管の損耗率

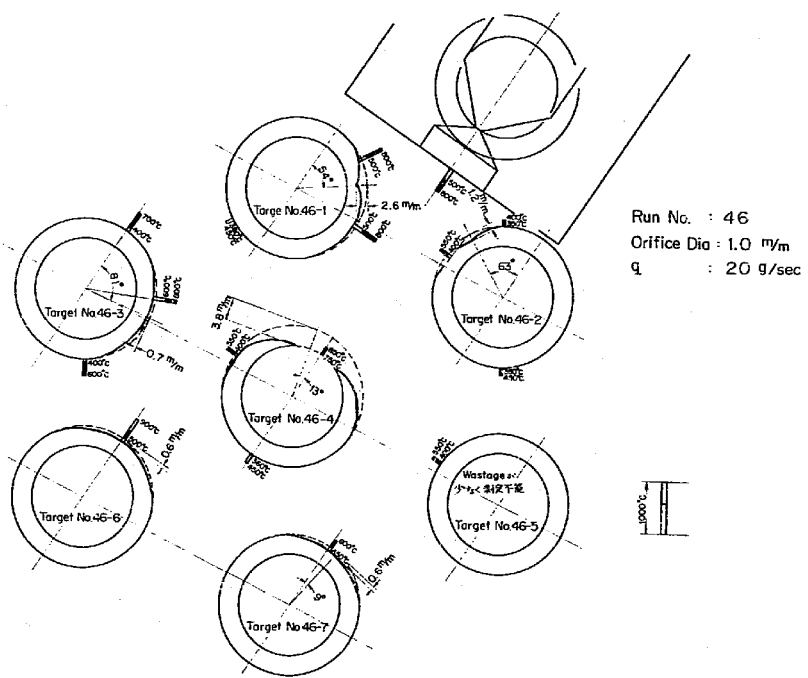


図 5.2.14 オリフィス径 1.0 φ の時の伝熱管の温度分布

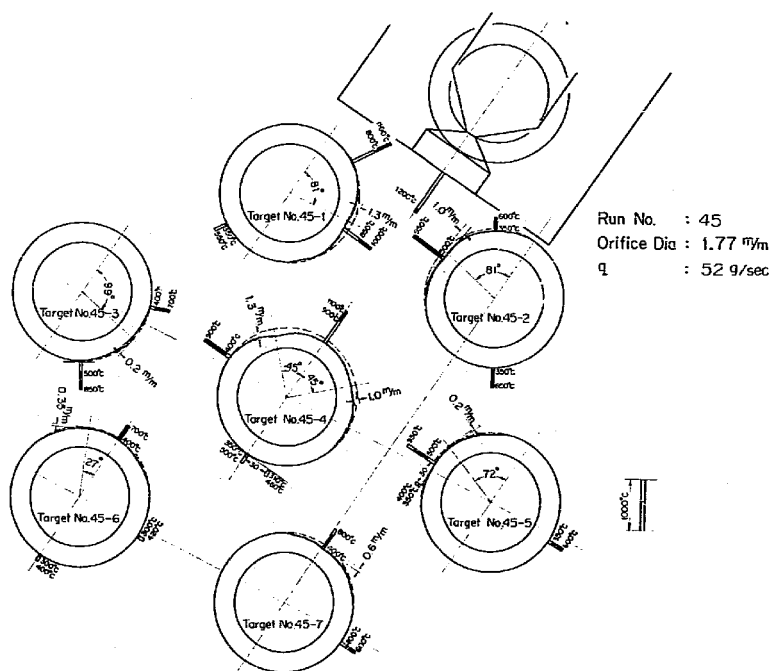


図 5.2.15 オリフィス径 1.77 φ の時の伝熱管の温度分布

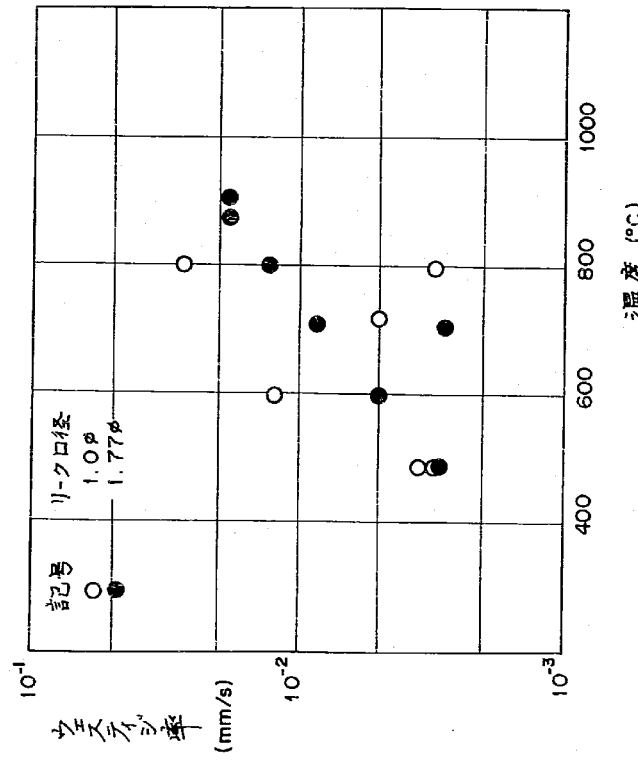


図 5.2.16 管表面温度とウェスティージ率

表 5.1.1 中リーグ時のウェスティージ状況把握試験、試験条件表

共通	ナトリウム	330°C	静 止
ラブチ・熱定圧	125Kgf/cm²	325°C	
条件	R=0.4 R=0.6	100Kgf/cm²	

ウェスティージタ グネット材	軟 潤	3.2 φ × 175 L
-------------------	-----	---------------

試験番号	オリフィス 径 mmφ	T ₀ sec	T ₁ sec	Q kg	q kg/sec
21	2.5	7.6	1.86	2.15	0.132
44	3.5	5.5	1.22	4.11	0.337
23	5.0	5.5	7.5	5.80	0.773
24	7.07	3.5	4.5	5.00	1.11

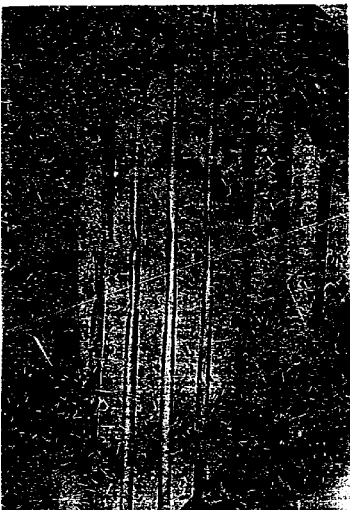
T₀ : リガード時間
T₁ : 泡沫耐力半減時間
Q : 全泡水量
q : 平均生水率

表5.2.1 災機伝熱管ウェスティシ試験、試験条件表

試験条件	試験番号	試験I			試験II		
		0.2	0.3	0.6	4.5	4.6	4.7
水加熱器圧力 (kg/cm ²)		7.5			12.5		
水加熱器温度 (°C)		290		325			
オリフィス口径 (mm)		2.5	2.5	3.5	1.77	1.0	2.5
注水時間 (sec)*		20	10	6	71.5	203	45.7
平均注水率 (kg/sec)**		0.12	0.51	0.64	0.052	0.020	0.128
ナトリウム温度 (°C)		320		330			
スチール材料		2% Cr-1Mo		2% Cr-1Mo			
ターナー形状		管状一本		管状7本・バンドル			
オリフィス・ターナー寸法 (mm/m)		2.5	2.5	2.7	5.15		
ターナー外温度 (°C)		-	92.0	81.0			

* 試験I の注水用開栓弁開閉用、試験II の注水用開栓弁弁開閉用。

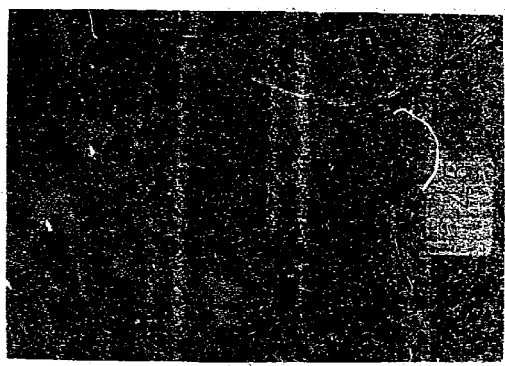
** 試験I の平均注水率は初期開栓時の注水率、弁開閉用、試験II の平均注水率は全注水量/注水満止り半周期で計算した。



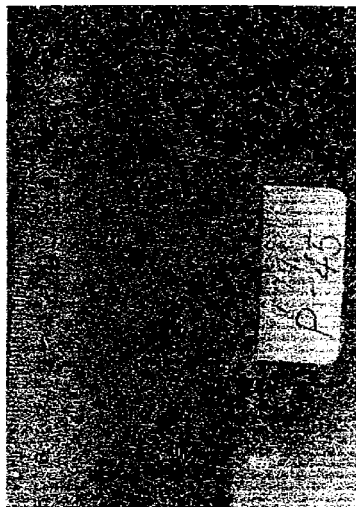
(a) ターゲット外観

(b) ターゲット損傷状況

写5.1.1 ヴェスティシ状況把幅試験ターゲット外観と
試験後のターゲット損傷状況

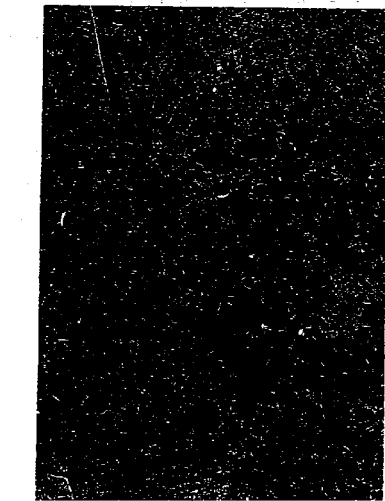


(a) 管束全体の損傷状況

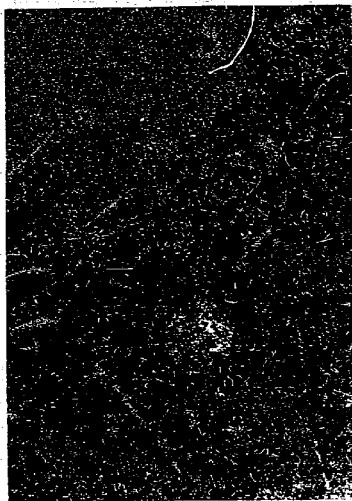


(b) № 4 ターゲットの損傷状況

写5.2.1 $2\frac{1}{4}$ Cr-1Mo材伝熱管束を入れた場合の損傷状況
(オリフィス径1.77φ, リーク率52g/secの場合)

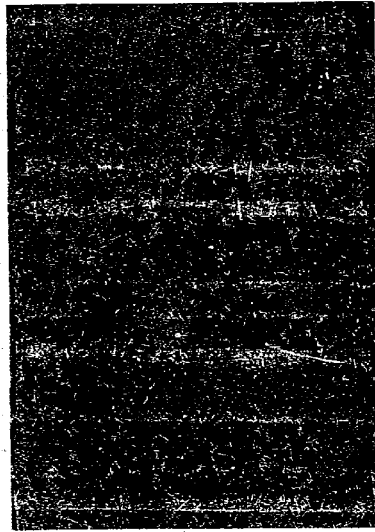


(c) № 1 ターゲットの損傷状況



(d) № 2 ターゲットの損傷状況

写5.2.1 $2\frac{1}{4}$ Cr-1Mo材伝熱管束を入れた場合の損傷状況
(オリフィス径1.77φ, リーク率52g/secの場合)

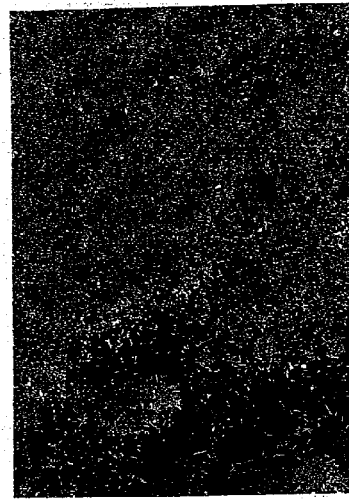


(a) 管束全体の損傷状況

写5.2.2 $2\frac{1}{4}$ Cr-1Mo材伝熱管束を入れた場合の損傷状況 PNC TN941 74-46
(オリフィス径 1.0φ, リーク率 20 g/sec の場合)



(b) 第一管束の損傷状況—上No.2, 下No.1ターデット

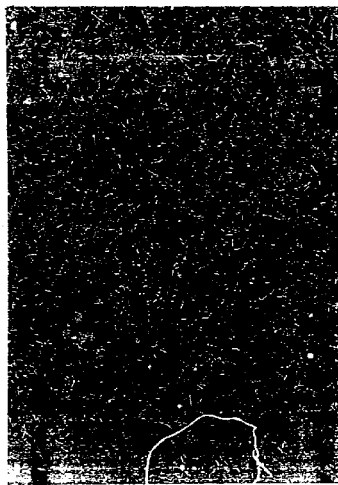


(c) No.1ターデットの損傷状況—正面から見た場合

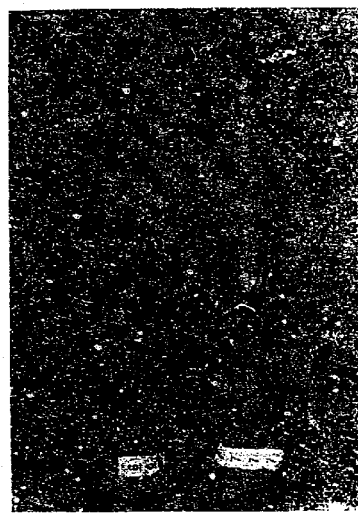
写5.2.2 $2\frac{1}{4}$ Cr-1Mo材伝熱管束を入れた場合の損傷状況
(オリフィス径 1.0φ, リーク率 20 g/sec の場合)



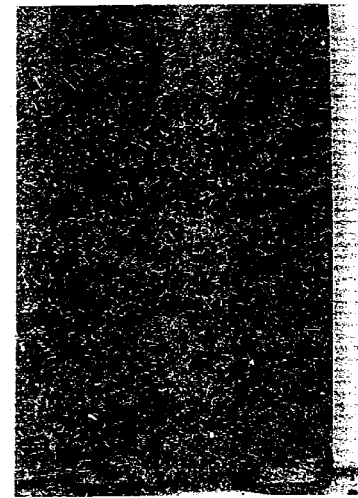
(d) 第二管束の損傷状況—上からNo.3, No.4, No.5ターベット



(a) 管束全体の損傷状況



(e) 第三管束の損傷状況—上:No.6, 下:No.7ターベット



(b) 第1管束の損傷状況

図5.2.2 $2\frac{1}{4}$ Cr-1Mo材伝燃管束を入れた場合の損傷状況
(オリフィス径1.0φ, リーク率20.9/secの場合)

図5.2.3 $2\frac{1}{4}$ Cr-1Mo材伝燃管束を入れた場合の損傷状況
(オリフィス径2.5φ, リーク率128.9/secの場合)

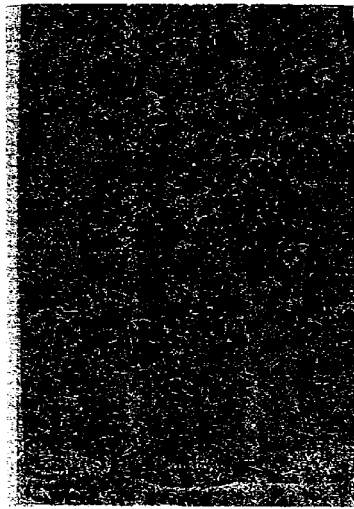
Appendix I

初期スパイク圧最大波高値およびスパイク圧巾一覧表

数値上段：スパイク圧最大波高値 ($\frac{kg}{cm^2}$)
下段：スパイク圧巾 (msuc)

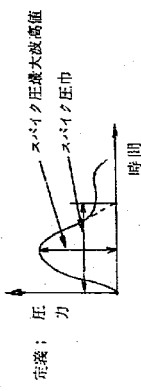
試験起点 番号	l-11	l-12	l-13	P-21	P-22	P-23	P-3	P-4
31	12.0	16.4	22.2	14.5	13.9	15.9	11.0	8.2
	1.23	1.28	0.79	0.75	0.90	0.91	0.42	
32	10.1	10.0	11.5	13.1	7.0	16.4	—	—
	0.69	1.62	0.91	0.86	1.03	0.98	—	—
33	4.5	5.0	5.5	4.5	—	3.9	3.8	3.0
	1.05	1.12	1.38	1.36	—	1.32	1.40	0.72
34	25.5	19.9	17.0	16.6	15.0	—	6.7	4.1
	0.59	0.81	0.88	0.84	0.91	—	0.38	0.63
35	5.6	6.0	6.2	5.2	—	—	—	2.8
	1.75	1.0	1.47	0.92	—	—	—	0.96
36	16.1	10.4	10.0	15.8	11.6	9.1	8.2	—
	1.23	1.38	1.59	1.65	—	2.09	—	—
37	7.7	11.3	8.0	23.4	15.7	13.6	7.3	4.1
	1.34	1.16	0.53	0.63	0.26	1.16	0.53	0.50
38	5.8	6.1	5.8	13.4	11.7	7.3	5.6	4.7
	1.50	1.31	1.35	0.56	0.77	0.72	2.03	0.86
41	18.1	14.1	13.7	25.5	16.5	18.2	3.4	4.0
	0.75	1.16	1.26	0.47	0.75	0.75	0.53	0.50
42	20.7	15.7	18.4	13.0	13.0	12.1	12.8	6.5
	0.59	0.75	0.75	0.78	0.75	0.66	0.47	0.50
43	19.0	14.0	11.2	15.5	8.0	7.1	7.6	4.1
	0.50	0.68	0.84	0.47	0.81	0.81	1.00	0.55
44	23.5	23.2	23.9	21.8	24.9	—	12.0	10.0
	0.69	0.65	0.94	0.72	0.94	—	0.91	0.38
45	11.4	10.0	11.3	11.3	13.7	10.5	3.2	2.4
	0.86	0.91	1.00	0.84	0.84	1.06	1.06	—
46	10.4	13.1	12.0	15.2	7.6	9.4	2.8	1.9
	0.94	0.69	0.75	0.75	0.86	0.84	0.94	0.38
47	—	—	—	13.4	13.0	9.4	—	—
	—	—	—	0.88	0.69	—	—	—

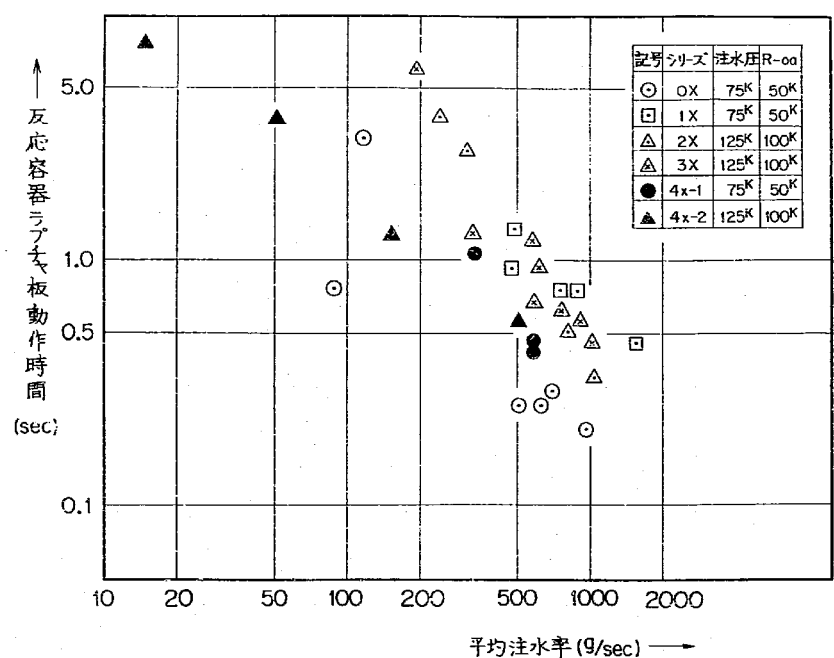
(c) 第二管束の損傷状況



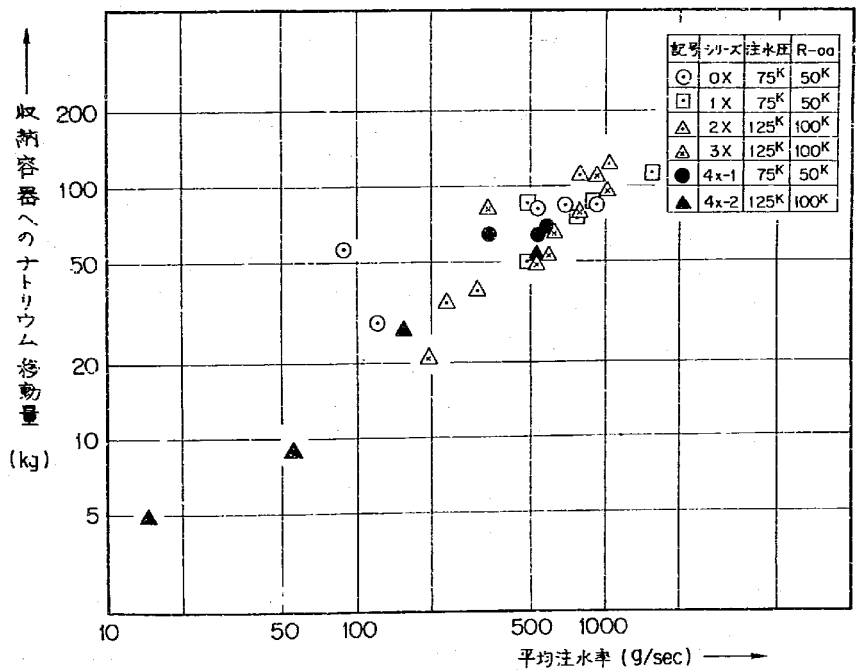
(d) 第三管束の損傷状況

γ_f 5.2.3 $\frac{1}{2}Cr-1Mo$ 材伝燃管束を入れた場合の損傷状況
(オリフィス径 2.5φ, リーク率 1.28 φ/sec の場合)





図A. 1 平均注水率と反応容器ラブチャ板動作時間の関係



図A. 2 平均注水率と収納容器へのナトリウム移動量の関係

Appendix III

容器壁歪

表 A・1 に第 16 回目 (Run No. 31) から第 30 回目 (Run No. 47) まで計 15 回の試験時に実測された反応容器外壁の垂直測定値を載せた。歪メッシュはマイクロ・ドット社の高温歪ゲージを使用し、測定点は図 3.1.4 に示した反応容器底から 350 および 750 m/m 上方の点の円周および軸方向である。

図 A・4 は反応容器に取り付けた長さ 220 m/m の導圧管を介して測定された圧力上昇値の最大値と容器壁の歪変化の最大値の関係をプロットしたもので、同図中に導圧円筒の内側加圧時の内圧と歪の関係を実線で示しており、各試験前に加圧し、較正した時はほぼこの実線上の歪を示していた。

試験結果は歪に対して約 2 倍の圧力が示されており、導圧管を介して測定された圧力を容器壁圧力に換算すると約 10 ~ 15 % 圧力波高値の最大値は減少するが、まだ圧力の方が高い。Run. No. 41 および 43 の圧力および歪波形について調べてみると、容器壁歪の立ち上り時刻から圧力変化の立ち上り時刻までの時間が長い程圧力変化の最大値が大きくなる。図 A・4 の印 1 例として Run. No. 43 について図示すると図 A・5 の如く時間遅れが 0.3 msec のものは圧力変化が高く歪の波形と大きく異なる。

図 A・6・および図 A・7・に平均注水率と容器壁歪および容器壁全から試験前に行った較正曲線より換算した圧力の関係を図示した。これらの図からほど、注水率に比例して、これらの値が増加している。

図 A・3 放出系配管内水と注入速度と注水率の関係

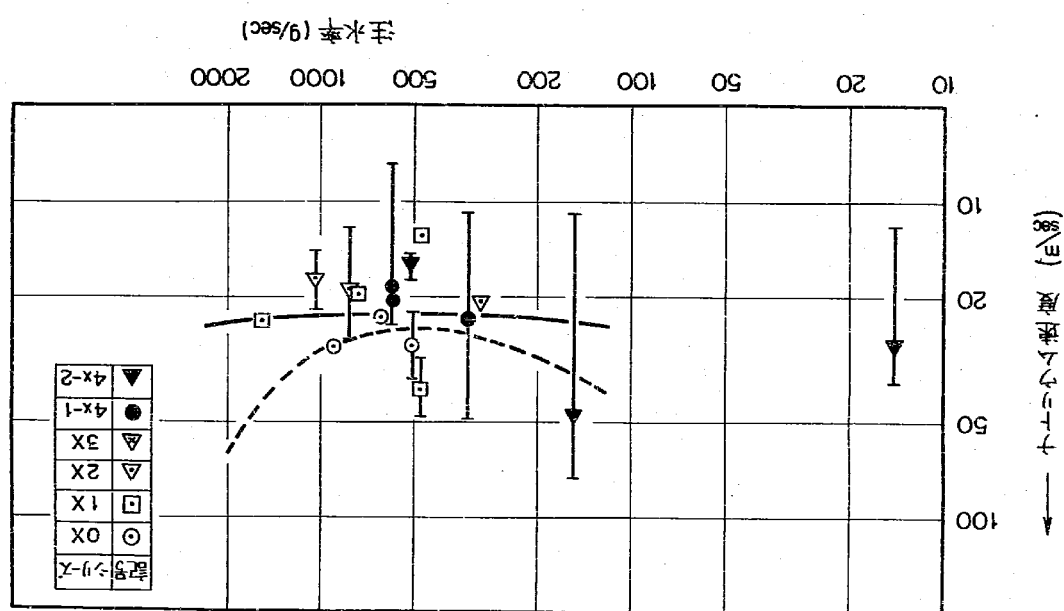


表 A. 1 等温弹性系数測定結果一覧表

測定点 試番	S - 1	S - 2	S - 3	S - 4	S - 5
31	*	48.3		41.3	
32	21.9	19.4			59.0
33	11.0	9.6	23.7		18.7
34	25.3	82.1	32.9	87.1	
35	19.0	63.9	22.2	60.4	
36	16.4	72.5	29.7	46.8	
37	29.2	77.3	33.4	68.7	
38		20.5	12.2	22.0	
41		69.6	32.3	51.3	
42		65.9	25.6	50.0	
43	14.1	42.3	12.8	33.7	
44		31.0	73.4	25.8	63.9
45		5.6	16.5	*	16.5
46		10.8	39.5	14.5	26.3
47	17.9	37.6	13.2	*	

数値の単位 $\times 10^{-8}$ strain

記号
 × ; 判定せず。
 / ; 判定出来ず。
 * ; データとして使用出来ず。

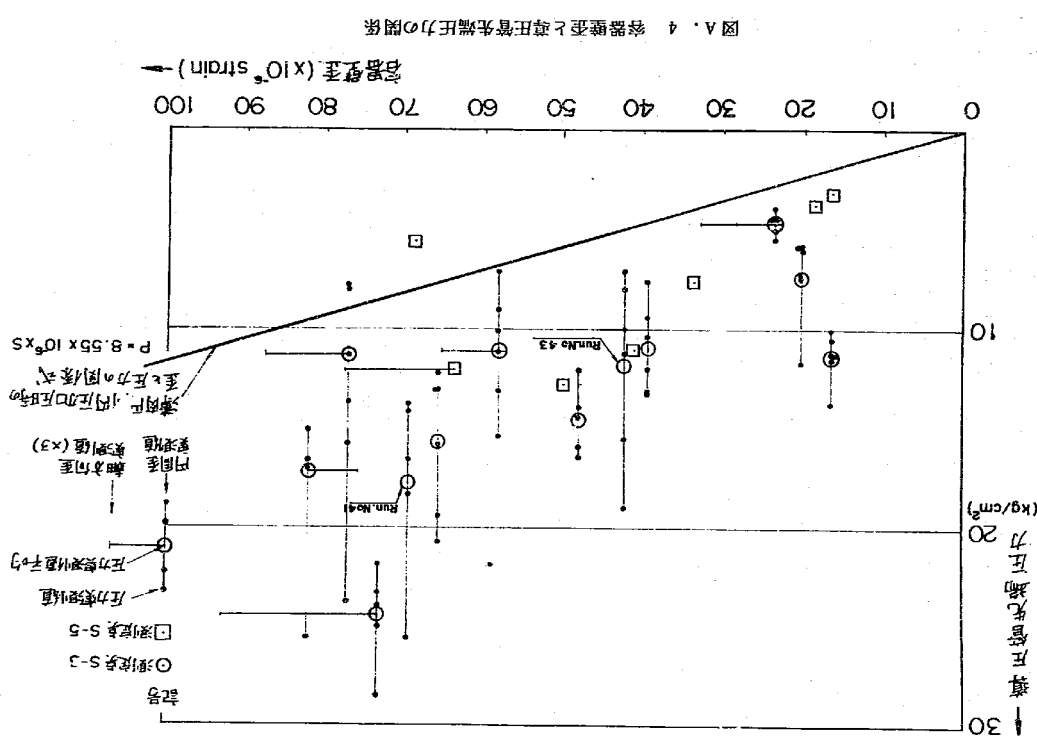


図 A. 4 装置重量と算正等温弹性系数の関係

Run. No. 43

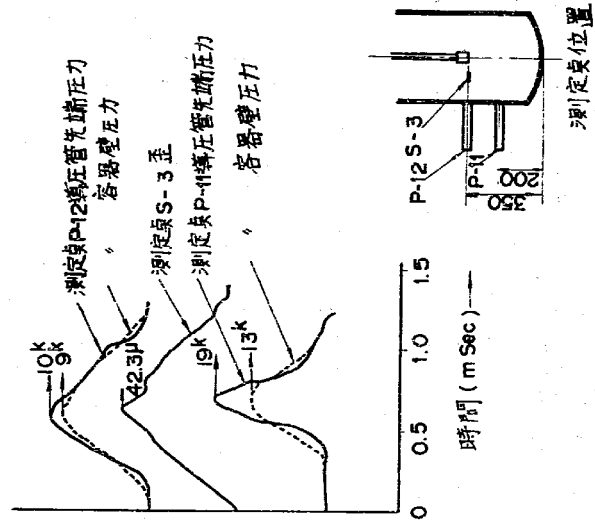


図 A・5 Run. No. 43 の圧力および检测时例

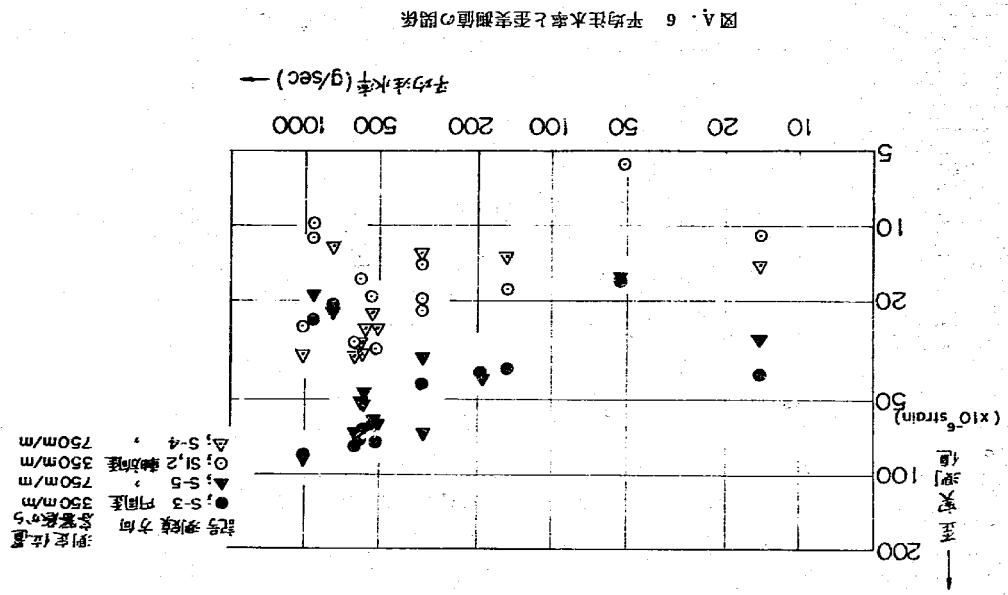


図 A・6 平均洪水率と水頭変動の関係

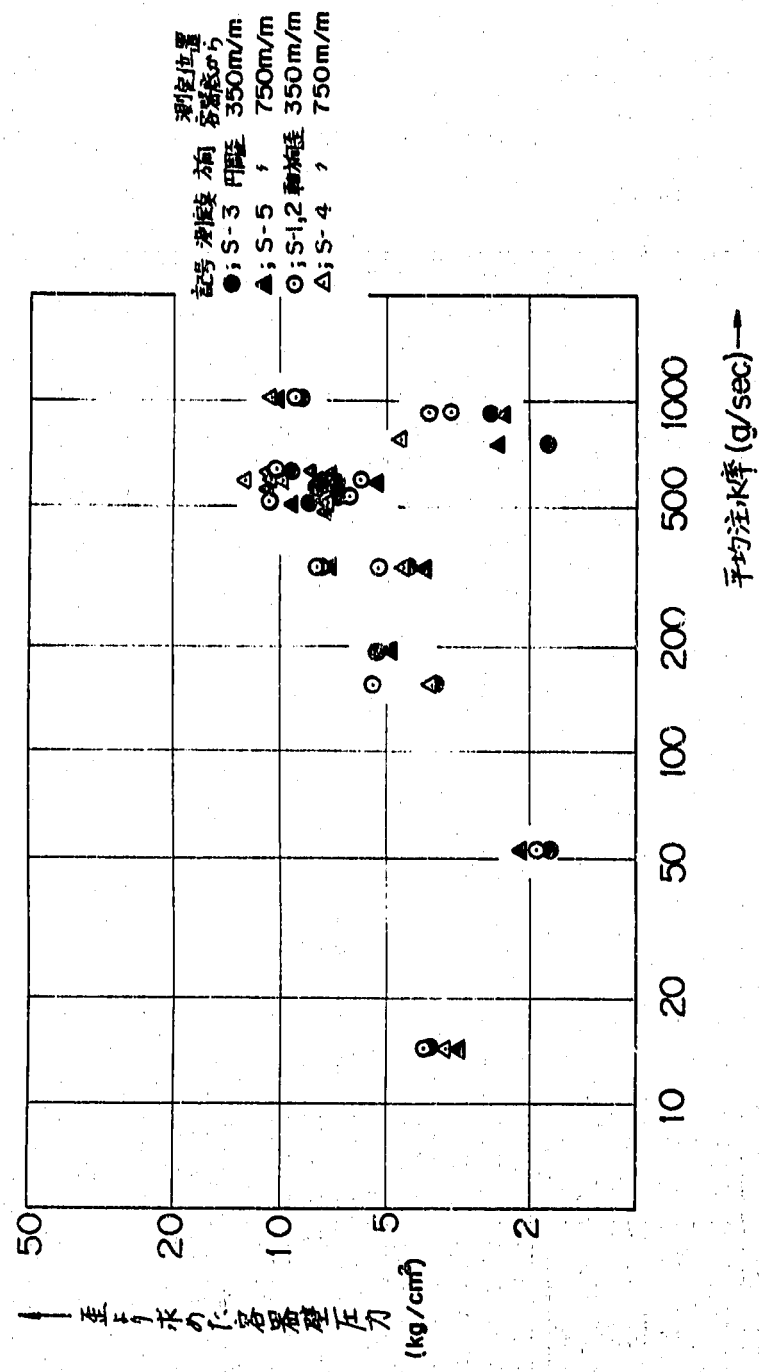


図 A. 7 平均注水率と査より求めた容器壁圧力の関係